

## Géométrie complexe globale et infinitésimale de l'espace des twisteurs d'une variété hyperkählérienne

Basile Pillet

#### ▶ To cite this version:

Basile Pillet. Géométrie complexe globale et infinitésimale de l'espace des twisteurs d'une variété hyperkählérienne. Géométrie symplectique [math.SG]. Université de Rennes, 2017. Français. NNT: 2017REN1S021. tel-01624829

## HAL Id: tel-01624829 https://theses.hal.science/tel-01624829

Submitted on 26 Oct 2017

**HAL** is a multi-disciplinary open access archive for the deposit and dissemination of scientific research documents, whether they are published or not. The documents may come from teaching and research institutions in France or abroad, or from public or private research centers.

L'archive ouverte pluridisciplinaire **HAL**, est destinée au dépôt et à la diffusion de documents scientifiques de niveau recherche, publiés ou non, émanant des établissements d'enseignement et de recherche français ou étrangers, des laboratoires publics ou privés.





## THÈSE / UNIVERSITÉ DE RENNES 1

sous le sceau de l'Université Bretagne Loire

pour le grade de

### DOCTEUR DE L'UNIVERSITÉ DE RENNES 1

Mention: Mathématiques et Applications

Ecole doctorale Matisse

présentée par

## Basile PILLET

préparée à l'unité de recherche IRMAR – UMR CNRS 6625 Institut de recherche mathématique de Rennes UFR de mathématiques

Géométrie complexe globale et infinitésimale des espaces de twisteurs de variétés hyperkählériennes

# Thèse soutenue à Rennes le 13 juin 2017

devant le jury composé de :

#### Nicholas BUCHDAHL

Professeur à l'université d'Adelaïde / rapporteur

#### Misha VERBITSKY

Professeur à l'université de Moscou (HSE) / rapporteur

#### Ekatarina AMERIK

Professeur à l'université de Paris-Sud / examinateur

#### Guillaume DESCHAMPS

Maître de conférences à l'université de Bretagne Occidentale / examinateur

#### Frank LORAY

Professeur à l'université de Rennes 1 / examinateur

#### Dimitri MARKOUCHEVITCH

Professeur à l'université de Lille 1 / examinateur

### Christophe MOUROUGANE

Professeur à l'université de Rennes 1 / directeur de thèse

# Table des matières

Remerciements							
1	Préliminaires 13						
_	1.1	Topologie					
	1.1	1.1.1 Image inverse (topologique)					
		1.1.2 Image directe					
		1.1.3 Tige					
		1.1.4 Faisceaux constants et localement constants					
	1.2	Géométrie					
		1.2.1 Image inverse géométrique					
		1.2.2 Les fibrés vectoriels					
		1.2.3 Formule de projection et changement de base en cohomologie					
	1.3	Géométrie infinitésimale					
	1.0	1.3.1 Connexions sur un fibré vectoriel					
		1.3.2 Théorie des épaississements					
2	Var	iété hyperkählérienne et espace des twisteurs 25					
	2.1	Définition					
	2.2	Structures kählériennes					
	2.3	Structures symplectiques holomorphes					
	2.4	Espace des twisteurs					
		2.4.1 Le fibré tangent horizontal					
		2.4.2 Les droites twistorielles					
		2.4.3 Les droites					
		2.4.4 Déformations et obstructions					
3	_	Espace des cycles et famille universelle  30					
	3.1	Espace des cycles					
		3.1.1 Section normale					
	3.2	Famille universelle et correspondance twistorielle					
		3.2.1 Correspondance twistorielle					
		3.2.2 Notations					
		3.2.3 Structure produit					
		3.2.4 Retour sur les déformations et obstuctions					
	3.3	Étude de l'application d'évaluation $\mu$					
		3.3.1 Conséquence fondamentale de la structure produit					
		3.3.2 Intégration des formes relatives le long des droites					
		3.3.3 Le tangent à $C$					
	3.4	Topologie des fibres de $\mu$					
		3.4.1 Hypothèse de trivialité cohomologique des fibres					
		3.4.2 Corollaire					

4	neurs 38						
	4.1	Les fibrés $V_+$ et $V$					
		4.1.1 Quotients de rang 1 de $V_+$					
	4.2	Interprétation spinorielle					
	4.3	Suite exacte d'Euler					
		4.3.1 Lien avec la différentielle de $\mu$					
		4.3.2 Remarque sur la naturalité					
	4.4	Forme symplectique relative et métrique					
		4.4.1 La forme symplectique relative					
		4.4.2 Quelques notes sur la métrique					
	4.5	Structures quaternioniques et structure réelle sur l'espace des sections 42					
		4.5.1 Structure quaternionique sur $V_+$					
		4.5.2 Structure quaternionique sur $V_{-}$					
		4.5.3 Vecteurs réels					
		4.5.4 Les vecteurs provenant de $M$ sont réels					
5	Transport topologique et analytique de faisceaux 45						
	5.1	Foncteurs de transport					
		5.1.1 Extension des ouverts de $M$					
		5.1.2 Définitions					
		5.1.3 Isomorphisme $\pi_* \simeq \pi_{\diamond}$					
		5.1.4 Injection $\pi_{\diamond} \hookrightarrow \pi_{@}$					
	5.2	Application à $\mathcal{O}_Z$					
		5.2.1 Le cas de l'image directe $\pi_* \mathcal{O}_Z$					
		5.2.2 Comparaison avec l'espace projectif de dimension 3 : 50					
		5.2.3 Le cas de $\pi_{@} \mathcal{O}_{Z}$					
	5.3	Images directes des faisceaux de <i>p</i> -formes					
		5.3.1 Calcul des $\mathcal{R}^k_{,} \nu_* \mu^* \Omega_f^p$ :					
		5.3.2 Calcul des $\mathcal{R}^k \nu_* \Omega^p_\mu$ :					
		5.3.3 Calcul des $\mathcal{R}^k \pi_{\mathbb{Q}} \Omega_Z^p$					
		5.3.4 Bilan					
6	Éan	tivalence de Buchdahl 56					
•	6.1	Définitions du fibré associé					
	6.2	Le cas du fibré trivial					
	0.2	6.2.1 Complexes de De Rham relatifs					
		6.2.2 Image directe par $\nu$ du complexe de De Rham $\mu$ -relatif 60					
		6.2.3 Corollaire et application					
	6.3	Le cas d'un fibré <i>L</i> -trivial					
	6.4	Fonctorialité					
		6.4.1 Produit tensoriel					
		6.4.2 Dualité					
		6.4.3 Fonctorialité					
	6.5	Équivalence de catégories					
		6.5.1 Restriction sur la courbure					
		6.5.2 Réciproque					
	6.6	Retour sur la métrique sur l'espace des cycles					
		6.6.1 Calcul à l'aide de $d_{\mu}$					
7	Tra	nsport de cohomologie 69					
	7.1	Résolution relative et acyclicité					
		7.1.1 Résolution de Buchdahl					
		7.1.2 Acyclicité des faisceaux sur W					
		7.1.3 Cohomologie sur W					
		7.1.4 Conséquences					
	7.2	Étude des opérateurs différentiels					
		7.2.1 Préliminaire : les dérivées relatives à $q$ et $\nu$ sur $W$					

		7.2.2	Preuve du lemme principal					
		7.2.3	En degré supérieur					
	7.3	Applio	eations					
		7.3.1	Restriction des formes différentielles aux fibres de $\mu$					
		7.3.2	Le cas du fibré trivial					
		7.3.3	Le cas trivial sur les droites					
	7.4	Le cas	s des fibrés $L$ -négatifs					
		7.4.1	Les cas généraux					
		7.4.2	Les cas critiques					
		7.4.3	Calculs de A					
		7.4.4	Calcul de B					
		7.4.5	Conséquence					
		7.4.6	Application					
8	8 Épaississements 85							
0								
	8.1	_	sissements de $W$					
	8.2		e de Buchdahl					
		8.2.1	Notations					
		8.2.2	Extension à l'ordre 1 dans le voisinage de l'espace tautologique					
		8.2.3	Fibrés à connexion sur le voisinage à l'ordre 1 de l'espace tautologique 89					
	0.0	8.2.4	Extension $D'$ et extensions des fibrés à l'ordre $2 \dots 90$					
	8.3		sions de fibrés sur le voisinage d'une droite et dans $W$					
		8.3.1	Extension triviale					
		8.3.2	Restriction aux voisinage de toutes les droites					
		8.3.3	Bilan					
	8.4		usion et correspondance de Riemann-Hilbert					
		8.4.1	Rétraction sur la variété					
		8.4.2	Trivialité globale des fibrés triviaux à l'ordre 2					
		8.4.3	Bilan					

## Remerciements

Je voudrais tout d'abord remercier sincèrement Nicholas Buchdahl et Misha Verbitsky d'avoir accepté d'être les rapporteurs de ce texte et tout particulièrement d'avoir accepté de le lire en français. Leurs travaux ont été pour moi une immense source d'inspiration. Je remercie Katia Amerik, Dimitri Markouchevitch, Frank Loray et Guillaume Deschamps de me faire l'honneur d'être membre de mon jury et spécialement Frank et Guillaume pour leur soutien. Je suis profondément redevable à Frédéric Campana pour ses travaux (qui ont motivé mon sujet de thèse), ses conseils, ses idées et son enthousiasme.

Christophe a été progressivement pour moi : un professeur, un directeur de thèse, un confident culinaire, un guide touristique, un coach sportif et un ami. Ses contributions à ce manuscrit sont aussi profondes que nombreuses et il a su répondre présent à chaque difficulté même en étant à plus de 10000 km. Il a également joué un rôle plus métaphysique : une allégorie de la bienveillance, de l'honnêteté et de l'humilité; une sorte de boussole morale qui m'a indiqué le chemin pour de nombreuses années à venir.

Tout au long de ma scolarité (au moins depuis le CE2), j'ai été disciple d'enseignants merveilleux auxquels je dois beaucoup, pas seulement en mathématiques. Parmi eux, mes professeurs de prépas (Odile Joly et Marie-Claude Mondini, Gérald Aufranc et Jean-Pierre Duval) occupent une place particulière. De mes études à l'ENS et à l'université de Rennes, trois images me reviennent à l'instant : le sourire de Michel Pierre, Laurent Moret-Bailly énumérant les propriétés de l'anneau nul et Dominique Cerveau recollant des barres de Toblerone. Le temps de les écrire, elles se noient déjà dans une multitude de souvenirs, je remercie ici tous ces enseignants qui m'ont fait partager leur plaisir de faire des mathématiques.

Au cours de ces années à Rennes, j'ai eu la chance de rencontrer des gens qui sont devenus des camarades et des amis et qui ont modelé celui que je suis aujourd'hui. Il me paraît juste de les dénoncer pour qu'ils assument leur terrible responsabilité : Il convient de placer Arnaud, le petit père des doctorants avec la grande timonière Ophélie en premier. Blandine pour sa merveilleuse pièce montée! Richard pour ses bons plans new-yorkais et sa science des subtilités de l'éducation nationale, Hélène et son soutien pédagogique, Tristan pour ses conseils vélo, Jean-Phi pour les parties de perudo, Julie et son Fat-Day, le cactus et son LN, Damien et Charles pour avoir fait durer le plaisir des repas du RU, Adrien et Marine qui m'ont fait partager leur bonheur et converti à leurs passions.

Viennent ensuite les collègues de géométrie. Le bureau des faiseurs de *meme* : Tomthom, Alexandre et Axel (que je remercie aussi pour le Back de réconfort), Vincent, Yvan, Youenn pour leurs bureaux et esprits orientés vers l'IHES, Federico, Christian, Néstor, Cyril, Andrew, Türkü, et tous les autres assidus du séminaire Pampers avec qui, on discute en agitant les bras, que ce soit de mathématiques ou d'autre chose.

Des anciens de l'ENS, je veux remercier Aurélien pour la pureté de sa passion mathématique et Kévin pour sa rigueur psychotique et ses bananes. Sans oublier Arthur, Ludo, Marie, Charlotte, Maxime, Gauthier, Geoffrey et les autres de ma promo. Greg, JJ, Julie, Tristan et Pauline pour les soirées « promo 2011 ».

Un merci particulier est réservé aux habitants du bureau 620/621 qui se sont succédés depuis mon arrivée et qui ont chacun contribué à créer une ambiance studieuse et joyeuse. Dans les anciens : Jerem, Cécile, Tristan et Gabriel pour leurs discussions où l'Absurde touche au Zen : « T'aimerais, toi, être un revêtement universel? », Gwezenheg qui j'espère, perdra en lisant ces lignes et Mouton dont la qualité de la présence compense la quantité. . . Mais après 4 années passées dans ce bureau, je suis, à mon tour, devenu le dinosaure, j'ai eu la chance d'accueillir

Andrés, Yulian et mon *petit frère* Jie. Je dois ajouter tous les gens de passage qui ont contribué à l'ambiance. Et tous ceux que j'oublie...

Depuis que je fréquente la tour de math, je suis dans un cocon de bienveillance de la part du personnel de la bibliothèque, des collègues chercheurs (spécialement Florian, Bernard, Serge, Fred et Xavier), des collègues enseignants (Delphine, Matthieu, Guy, Goulwen et Ludo) et du personnel administratif et d'entretien. En particulier, je tiens à remercier du fond du cœur Marie-Aude, Jean-Marie et Chantal pour leur aide dans toutes les galères administratives où j'ai réussi à me mettre.

Enfin d'autres Rennais ont rejoint mon groupe d'amis : Thomy et Diane, nos délicieux concurrents *Top chef* et bien sûr Ervan, le grand sage de la culture Geek.

Je tiens à remercier mes parents, pour des raisons évidentes que je n'ai pas la place d'énumérer ici mais aussi, parce que la curiosité est une qualité (ou un vilain défaut) qui s'apprend et qu'ils m'ont apprise. Aussi tautologique que cela paraisse, je ne serais pas là sans eux.

Grimaud, il faudrait que je dise quelque chose à ton sujet; voila qui est fait.

Je n'aurais pas pu passer ces années sans mes meilleurs amis. Aujourd'hui ils sont loin (bientôt plus loin encore), vivent leurs vies. Nos relations sont peut-être empoussiérées, mais rien qu'un ti'punch ne saurait nettoyer : Cricri et Paul, Florian et Élodie, je vous remercie.

Coralie, cette thèse ne te doit pas grand chose, mais son auteur te doit tout. Tu m'as supporté et soutenu dans les passages difficiles, tu m'as donné un deuxième souffle, tu m'as évité la fatigue et les crampes. Tu me tenais la main dans la dernière ligne droite.

Tu es présente à chaque page...

# Introduction

C'est véritablement utile puisque c'est joli.

— Le petit prince, Antoine de Saint Exupéry

## Géométrie riemannienne et géométrie complexe

Une variété riemannienne est une variété lisse (variété différentielle de classe  $\mathcal{C}^{\infty}$ ) munie d'une métrique permettant de mesurer des vecteurs tangents en chaque point. L'étude des variétés riemanniennes gagne un cran en complexité vis-à-vis de l'étude des variétés lisses : dans le cas lisse, les petits voisinages d'un point sont caractérisés par la dimension de la variété tandis que, dans le cas riemannien, ils sont de plus différenciés par la courbure de la métrique en ce point. Les voisinages riemanniens d'un point de la sphère ne ressemblent pas aux voisinages riemanniens d'un point du plan.

Une métrique est dite *Ricci-plate* si la trace de son tenseur de courbure est identiquement nulle. En physique, l'espace-temps est souvent étudié comme une variété (pseudo-)riemannienne de dimension 4. Selon les équations d'Einstein, la matière courbe l'espace-temps et le caractère Ricci-plat correspond à l'absence de masse.

Une autre richesse des variétés riemanniennes provient de propriétés plus globales de la métrique : l'holonomie et le transport parallèle. Le groupe d'holonomie mesure l'obstruction à ce qu'un tenseur (par exemple un vecteur tangent) s'étende sur toute la variété en un champ préservant la métrique.

Holonomie et courbure sont liées. En effet une variété d'holonomie SU(n), appelée variété de Calabi-Yau, a une métrique Ricci-plate. Elle possède de plus une structure complexe parallèle pour cette métrique, c'est donc une variété  $k\ddot{a}hl\acute{e}rienne$ .

Restreindre le groupe d'holonomie augmente la structure. Ainsi parmi les variétés riemanniennes, il y a les variétés kählériennes (holonomie U(n)), de Calabi-Yau, et enfin les variétés hyperkählériennes d'holonomie  $Sp(n) \subseteq SU(2n) \subseteq U(2n)$ .

Une variété hyperkählérienne possède une multitude de structures complexes parallèles et donc kählériennes. L'espace des twisteurs ou famille de Calabi d'une telle variété est une variété complexe qui unifie un pinceau de telles structures complexes.

À chaque point de la variété hyperkählérienne correspond une droite projective complexe appelée droite twistorielle dans l'espace des twisteurs. En dimension 4, on a une interprétation physique : cette correspondance associe à un point de l'espace-temps la sphère (droite projective complexe) de tous les rayons lumineux passant par ce point à cet instant.

## Résumé et contexte historique

Ce document présente la construction d'objets géométriques sur l'espace des courbes rationnelles de l'espace des twisteurs d'une variété hyperkählérienne. On établira une correspondance entre la géométrie complexe de l'espace des twisteurs et des propriétés différentielles (courbure, opérateurs différentiels, ...) sur cet espace des courbes rationnelles.

La géométrie complexe de l'espace des twisteurs est déjà naturellement liée à la métrique de la variété hyperkählérienne [HKLR87] et une telle correspondance a déjà été obtenue pour les espaces de twisteurs de variétés riemanniennes de dimension 4, en termes d'équations différentielles par Salamon [Sal83]; en termes de classifications d'épaississements de fibrés par Buchdahl [Buc85] ou d'épaississements de sous-variétés par Eastwood et LeBrun [EL92].

Cette étude a été initiée par un article de Penrose en 1967 [Pen67] comme possible approche de la gravitation quantique. Elle a été généralisé par Ward [War77] en 1977 et Atiyah [AW77]. Atiyah utilise la théorie pour classifier les instantons sur la sphère  $\mathbb{S}^4$ ; travail qui culmine avec le théorème d'Atiyah-Hitchin-Singer [AHS78]. Les connexions avec la physique mathématique et la théorie de Yang-Mills font de la théorie des twisteurs un domaine très vaste et bien étudié.

## Les variétés hyperkählériennes et leurs espaces des twisteurs

Les surfaces de Riemann sont des variétés réelles orientées de dimension 2 munies d'une métrique riemannienne. Elles ont naturellement une structure presque-complexe (quart de tour vers la gauche) intégrable, compatible avec la métrique qui en font des courbes kählériennes. En particulier ce sont des variétés symplectiques réelles.

L'analogue complexe des surfaces de Riemann sont les surfaces K3, elles possèdent alors une structure quaternionique compatible qui en font des "courbes" hyperkählériennes. En particulier ce sont des variétés symplectiques holomorphes.

Ainsi les variétés hyperkählériennes dans toute leur généralité sont à l'intersection de la géométrie riemannienne, complexe, symplectique et quaternionique. De plus, les variétés hyperkählériennes compactes ont de nombreuses similitudes avec les surfaces complexes. Par exemple, la forme de Beauville-Bogomolov [Bea83] joue le rôle de la forme d'intersection sur l'espace  $H^2$ . D'autres avatars de cette analogie seront présentés au chapitre 4.

Les intérêts de l'étude des variétés hyperkählériennes sont variés.

- Du point de vue de la géométrie riemannienne, le théorème de Calabi-Yau donne l'existence dans chaque classe de Kähler d'une unique métrique hyperkählérienne (Ricci-plate) sur toute variété symplectique holomorphe compacte. Cependant on ne sait déterminer cette métrique que dans des cas non compacts [Cal79]. La recherche de métriques hyperkählériennes a de nombreux intérêts en physique; en particulier comme elles sont Ricci-plates, ce sont des solutions des équations d'Einstein dans le vide [EH79].
- Du point de vue de la géométrie complexe, elles forment avec les autres variétés de Calabi-Yau et les tores complexes la classe des variétés de canonique trivial. Ces variétés sont ressenties comme le cas critique dans de nombreuses théories (programme du modèle minimal, travaux en direction de la conjecture de Kobayashi sur l'hyperbolicité [Cam92, Ver13], ···).
- Les exemples de variétés hyperkählériennes ont un double intérêt : Certains apparaissent comme espaces de modules de solutions de théories de jauge [Hit87] mais les exemples compacts sont particulièrement rares. Bogomolov a conjecturé qu'en dimension plus grande que 2, de telles variétés n'existaient pas jusqu'à ce que Fujiki (1983) construise le premier exemple comme schéma de Hilbert des paires de points sur une surface K3 [Fuj83]. Beauville (1983) [Bea83] généralise cette construction en ajoutant également une autre classe : les variétés de Kummer généralisées. Enfin O'Grady [O'G99, O'G03] construit deux nouvelles variétés hyperkählériennes sporadiques. Ce sont à ce jour les seules classes connues de variétés symplectique holomorphes compactes à déformation près.
- La dynamique holomorphe sur les variétés hyperkählériennes est également un cas critique, à la fois proche de celle d'une surface K3 ou d'une surface rationnelle [Ogu09] mais possédant également des automorphismes d'entropie topologique positive [AV16].
- De nombreuses autres motivations viennent de la géométrie symplectique, la symétrie miroir [Voi99] et de la géométrie birationnelle [Huy97].

Sur une variété hyperkählérienne (M,g), on peut se donner un pinceau de structures complexes g-orthogonales et positives, chacune correspondant à un quaternion unitaire pur. L'espace des twisteurs est une variété complexe Z de dimension impaire qui met en famille tout ce pinceau de structures sur M. L'intégrabilité de la structure presque-complexe tautologique sur Z est conséquence de l'intégrabilité de chacune des structures presque-complexes du pinceau et découle du théorème de Newlander-Nirenberg.

Cet espace est difféomorphe à  $M \times \mathbb{S}^2$  mais seule la projection sur  $\mathbb{P}^1 \simeq \mathbb{S}^2$  est holomorphe. L'étude des sections de la fibration  $Z \to \mathbb{P}^1$  (donc de certaines courbe rationnelles de Z) est très riche et centrale dans de nombreux travaux notament sur l'hyperbolicité [Cam92, Ver13]. L'article de Campana [Cam92] utilise les déformations de droites twistorielles pour obtenir à la limite une courbe entière dans une des variétés kählériennes de la famille de Calabi.

Une première approche pour améliorer ce résultat consiste à expliciter l'intégrabilité de la structure presque-complexe sur l'espace des twisteurs Z au voisinage d'une droite twistorielle. Une méthode itérative [Dem02, 11. Integrability of Almost Complex Structures] aurait dû permettre d'exprimer ces coordonnées à tout ordre. Cependant la courbure de la variété hyperkählérienne fait obstruction à ce que ces coordonnées préservent la fibration twistorielle  $Z \to \mathbb{P}^1$ . Ce problème a motivé l'étude de la correspondance courbure-épaississement du chapitre 8.

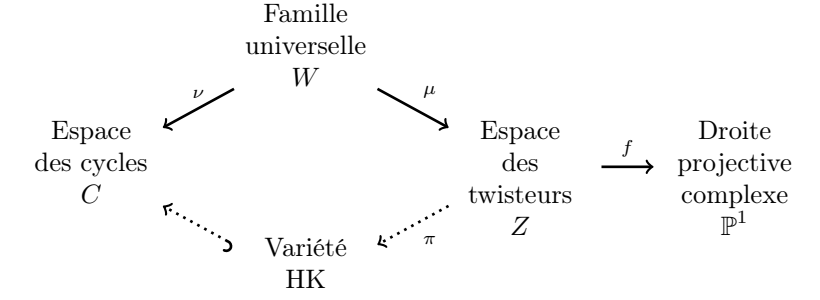
## Organisation des chapitres

La première partie introduit des notations et quelques outils de géométrie analytique complexe en suivant principalement [Del70, Buc85, Har97]. La majorité des résultats des deux premières

sections (1.1, 1.2) sont classiques hormis peut-être la proposition 1.2.1 sur la cohomologie de l'image inverse topologique d'un fibré. La troisième section (1.3) énonce des outils plus techniques pour l'étude infinitésimale des variétés complexes : Les fibrés à connexions et la théorie des épaississements de sous-variétés et de fibrés. Ces outils permettrons de linéariser l'étude de la structure complexe sur l'espace des twisteurs.

#### Théorie et spineurs.

Dans le chapitre 2, on rappelle la théorie usuelle des espaces de twisteurs de variétés hyperkählériennes en suivant principalement [HKLR87]. Puis, le chapitre 3 énumère les propriétés de l'espace tautologique de la correspondance entre l'espace des twisteurs et son espace des 1-cycles



On peut alors remarquer la chose suivante. Quitte à restreindre l'espace des 1-cycles de Z à un ouvert connexe C paramétrant uniquement les droites projectives complexes suffisamment verticales, on a une décomposition de l'espace total W de la famille universelle au dessus de C sous forme de produit de variétés complexes lisses (cf. proposition 3.2.1)

$$W \simeq C \times \mathbb{P}^1. \tag{*}$$

#### Proposition A (proposition 3.3.3)

Soit  $\Omega_C$  le faisceau des 1-formes holomorphes sur C et  $\Omega_\mu$  celui des 1-formes holomorphes relatives sur W à  $\mu: W \to Z$ . Et soit  $\nu: W \to C$  la projection.

Si on suppose que C paramètre des sections suffisamment verticales, alors

$$\nu_*\Omega_\mu\simeq\Omega_C.$$

Dans le chapitre 4, on dérive de  $(\star)$  une décomposition du fibré tangent et du fibré des 2-formes holomorphes sur l'espace des cycles.

#### Proposition B (section 4.2)

Il existe deux fibrés vectoriels holomorphes  $V_+$  et  $V_-$  sur C de rang respectifs 2 et 2n satisfaisant

$$T_C \simeq V_+ \otimes V_-$$

et

$$\Omega_C^2 \simeq \Omega_\perp^2 \oplus \Omega_\perp^2$$

οù

$$\begin{split} \Omega_{+}^{2} &= \mathcal{O}_{C} \left( \Lambda^{2} V_{+} \otimes \odot^{2} V_{-} \right) \\ \nu_{*} \Omega_{\mu}^{2} &\simeq \Omega_{-}^{2} &= \mathcal{O}_{C} \left( \odot^{2} V_{+} \otimes \Lambda^{2} V_{-} \right) \end{split}$$

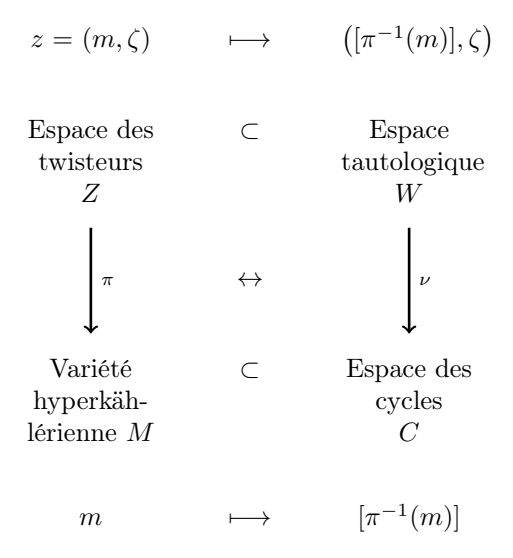
et où les symboles  $\odot$  et  $\Lambda$  désignent respectivement les puissances symétriques et extérieures d'un fibré.

Ces deux fibrés  $V_+$  et  $V_-$  satisfont en fait les propriétés des fibrés spinoriels sur les variétés spin de dimension 4:

$$T_M \otimes \mathbb{C} \simeq V_+ \otimes V_-$$

C'est une autre incarnation de la philosophie qui veut que les variétés hyperkählériennes de toute dimension se comportent comme les surfaces kählériennes (variétés riemanniennes de dimension 4). En dimension 4 les fibrés  $V_+$  et  $V_-$  sont interchangeables de dimension 2; en conséquence les fibrés  $\Lambda^2 V_+$  et  $\Lambda^2 V_-$  sont des fibrés en droite. Ici seul  $\Lambda^2 V_+$  est un fibré en droite (trivial), mais on peut extraire de la structure hyperkählérienne de M une forme symplectique sur les fibres de  $Z \to \mathbb{P}^1$  qui donne une "trace"  $\Lambda^2 V_- \to \mathbb{C}$  permettant de pousser encore plus loin l'analogie avec le cas classique de dimension 4.

Dès lors plusieurs résultats motivent l'interprétation du diagramme suivant comme un diagramme de "complexification"



Les deux fibrations ont pour fibres des droites projectives complexes, mais, alors que l'espace des twisteurs Z n'est pas un produit en tant que variété complexe, l'espace tautologique W l'est. En un sens, les espaces de droites jouent un rôle de complexification de la fibration twistorielle classique.

Cette similitude s'étend sur de nombreux plans, en particulier, le complexe de Dolbeault de Z correspond au complexe de De Rham holomorphe relatif de W sur Z. Ce résultat est similaire aux travaux d'Eastwood, Gindikin et Wong [EGW95, Thm 1.1].

#### Correspondance de type *Penrose*.

Dans le chapitre 5, on s'intéresse au transport de faisceaux entre l'espace des twisteurs et son espace des cycles via la famille universelle. On développe des outils nécessaires à la transformée de Penrose. On généralise au passage le résultat suivant de Salamon [Sal83, Theorem 9.4] et Hitchin [Hit81] dans le cas hyperkählérien de dimension quelconque.

#### Proposition C (section 5.2)

Soit Z l'espace des twisteurs d'une variété hyperkählérienne M, et  $\pi:Z\to M$  la projection, alors

alors 
$$\pi_* \, \mathcal{O}_Z \simeq \underline{\mathbb{C}}$$
 et pour tout  $p>0,$  
$$\pi_* \Omega_Z^p \simeq 0.$$

Ce résultat permet dans le chapitre 6, de construire la correspondance entre fibrés holomorphes sur l'espace des twisteurs Z triviaux en restriction à chaque droite et fibrés à connexions sur C. C'est un des nombreux avatars des correspondances de type Penrose [AHS78, AW77, GGK14, Pen76]. Elle est décrite à travers l'équivalence de catégories du théorème

#### Théorème A (théorème 1)

Il y a une équivalence de catégorie

$$\left\{ \begin{array}{c} \text{Fibr\'es \`a connexion} \\ \text{sur l'espace des cycles} \\ \text{avec courbure dans } \Omega_+^2 \right\} \quad \leftrightarrow \quad \left\{ \begin{array}{c} \text{Fibr\'es holomorphes} \\ \text{sur l'espace des twisteurs} \\ \text{trivial sur les droites} \end{array} \right\}$$

qui respecte le produit tensoriel, les sections globales et la dualité.

Dans le cas où la variété de base M est compacte, la structure de produit  $(\star)$  (ou plus précisément (3.3.5)) permet de scinder l'étude des fibrés holomorphes sur l'espace des twisteurs en deux aspects:

- Leurs cohomologies globales sur Z.
- $\bullet$  Leurs ordres de trivialité sur les droites de l'espace des twisteurs (l'entier k tel que le fibré soit trivial en restriction aux voisinages holomorphes d'ordre k de chaque droite).

Les deux derniers chapitres détaillent chacun des deux points.

Dans le chapitre 7, on exprime la cohomologie de fibrés sur Z triviaux sur les droites en terme des fibrés naturels  $V_{-}$  et  $V_{+}$  sur C introduits au chapitre 4. On obtient par exemple les résultats

#### Théorème B (section 7.3)

On suppose que

- d'une part les fibres de  $W \to Z$  sont contractiles.
- d'autre part l'ouvert C de l'espace des cycles est de Stein,

- 1. Soit  $T_f$  le fibré vectoriel sur l'espace des twisteurs Z des vecteurs tangents aux fibres

  - $T_f(-1)$  est trivial en restriction aux droites de Z, et  $H^k(Z,T_f(-1))$  est la cohomologie du complexe différentiel sur C

$$Hom\left(\Lambda^{k-1}V_{-}, V_{-} \otimes \odot^{k-1}V_{+}\right) \xrightarrow{D^{0}} Hom\left(\Lambda^{k}V_{-}, V_{-} \otimes \odot^{k}V_{+}\right)$$
$$\xrightarrow{D^{1}} Hom\left(\Lambda^{k+1}V_{-}, V_{-} \otimes \odot^{k+1}V_{+}\right).$$

- 2. Toujours sous les même hypothèses,
  - l'espace  $H^k(Z, \mathcal{O}_Z)$  est la cohomologie du complexe différentiel sur C

$$\operatorname{Hom}\left(\Lambda^{k-1}V_{-},\odot^{k-1}V_{+}\right) \xrightarrow{D^{0}} \operatorname{Hom}\left(\Lambda^{k}V_{-},\odot^{k}V_{+}\right) \xrightarrow{D^{1}} \operatorname{Hom}\left(\Lambda^{k+1}V_{-},\odot^{k+1}V_{+}\right).$$

• On a en particulier une application naturelle

$$H^k_{dR}(C,\mathbb{C}) \to H^k(Z,\mathcal{O}_Z)$$

qui est bijective pour k = 0 et injective pour k = 1.

Les hypothèses du théorème B sont satisfaites dans le cas d'une surface K3 munie de sa métrique Ricci-Plate, mais ces résultats étaient déjà connus dans le cas des variétés de dimension 4 anti-autoduales (voir par exemple [EPW81]).

Les différentielles  $D^i$  du complexe sur C sont d'origine riemannienne : elles se calculent naturellement par des procédés de symétrisation à partir des connexions sur  $V_-$  et  $V_+$ . L'étude de ces opérateurs différentiels est réalisée dans la section 7.2; on y généralise un lemme d'Eastwood, Penrose et Wells [EPW81, Lemma 1.2]. Enfin le lien avec la métrique riemannienne de la variété M est établi à la section 6.6.

D'autre part, par un dévissage cohomologique, on obtient (théorème 3) une description de la cohomologie de certains fibrés sur Z constamment négatif en restriction à chaque droite; par exemple les faisceaux  $\mathcal{O}(-p)$ .

Enfin dans le chapitre 8, on utilise des outils developpés dans la première partie de [Buc85] pour étudier les épaississements de fibrés holomorphes au voisinage des droites de l'espace des twisteurs. On établit alors le théorème suivant :

#### Théorème C (théorème 5)

L'équivalence de catégories construite en A se restreint en une équivalence de catégories :

On démontre plus précisément à travers le théorème 4 une correspondance, pour chaque fibré sur Z trivial en restriction aux droites, entre la courbure de la connexion associée (via l'équivalence du théorème A), et les épaississements du fibré aux voisinages infinitésimaux à l'ordre 2 des droites.

# Chapitre 1

## Préliminaires

We hold these truths to be self-evident, [...]

— United States Declaration of Independence,

Thomas Jefferson et al.

#### Remarque sur les notations

On essayera, dans la mesure du possible, de distinguer les isomorphismes canoniques entre deux objets. On désignera donc par le symbole  $\simeq$  (ou parfois =) un isomorphisme naturel en opposition avec  $\cong$  qui désignera un isomorphisme dépendant d'un choix; par exemple entre un espace vectoriel de dimension fini et son dual.

### 1.1 Topologie

Dans tout le document le terme faisceau désignera par défaut un faisceau de groupes abéliens et très souvent (mais ce sera précisé)

- soit des faisceaux de O-modules pour un faisceau d'anneaux O préalablement fixé,
- soit des faisceaux de C-espaces vectoriels.

Soient X et Y deux espaces topologiques et  $f: X \to Y$  une application continue.

### 1.1.1 Image inverse (topologique)

Soit  $\mathcal{F}$  un faisceau sur Y, alors on definit l'*image inverse topologique*  $f^{-1}\mathcal{F}$  de  $\mathcal{F}$  par f comme le faisceau associé au préfaisceau  $f^{\bullet}\mathcal{F}$  défini sur l'ouvert  $U\subseteq X$  par

$$\Gamma(U, f^{\bullet} \mathcal{F}) = \lim_{V \supseteq f(U)} \Gamma(V, \mathcal{F})$$

où V parcourt les ouverts de Y.

Le foncteur  $f^{-1}$  de la catégorie des faisceaux sur Y dans la catégorie des faisceaux sur X est exact.

#### 1.1.2 Image directe

Si  $\mathcal{G}$  est un faisceau sur X, on notera  $\mathcal{R}^i f_* \mathcal{G}$  le faisceau sur Y associé au préfaisceau

$$U \mapsto H^i(f^{-1}(U), \mathcal{G}).$$

Dans le cas particulier i = 0 on notera simplement  $f_* \mathcal{G}$  le faisceau obtenu, et on a pour tout  $U \subseteq Y$ ,

$$\Gamma(U, f_* \mathcal{G}) = \Gamma(f^{-1}(U), \mathcal{G}).$$

L'association  $\mathcal{G} \mapsto f_* \mathcal{G}$  est fonctorielle. On notera  $f_* \phi : f_* \mathcal{G} \to f_* \mathcal{H}$  l'image d'un morphisme de faisceaux  $\phi : \mathcal{G} \to \mathcal{H}$ . On peut remarquer que cette construction ne fait aucune hypothèse de structure supplémentaire sur  $\phi$ . Dans le cas d'une connexion ou un opérateur différentiel  $\nabla$  entre faisceaux de  $\mathcal{O}$ -modules,  $f_* \nabla$  désignera donc son image directe au sens des faisceaux.

Le foncteur  $f_*$  est exact à gauche. À une suite exacte courte  $0 \to \mathcal{A} \to \mathcal{B} \to \mathcal{C} \to 0$  de faisceaux, on associe la suite exacte longue dérivée

$$0 \to f_* \mathcal{A} \to f_* \mathcal{B} \to f_* \mathcal{C} -$$

$$\to \mathcal{R}^1 f_* \mathcal{A} \to \mathcal{R}^1 f_* \mathcal{B} \to \mathcal{R}^1 f_* \mathcal{C} -$$

$$\cdots$$

$$\to \mathcal{R}^i f_* \mathcal{A} \to \mathcal{R}^i f_* \mathcal{B} \to \mathcal{R}^i f_* \mathcal{C} \to \cdots$$

### 1.1.3 Tige

Si  $x \in X$  et  $i_x$  désigne l'injection d'espaces topologiques  $\{x\} \hookrightarrow X$ , alors on appellera tige en x d'un faisceau  $\mathcal{G}$  sur X le faisceau

$$\mathcal{G}_x = i_x^{-1} \mathcal{G}$$

On confondra le faisceau  $\mathcal{G}_x$  avec l'espace de ses sections globales sur  $\{x\}$ .

Si X est localement paracompacte sur un voisinage de x, alors

$$\mathcal{G}_x = \lim_{U \ni x} \Gamma(U, \mathcal{G})$$

On utilisera fréquemment la propriété suivante :

#### Proposition 1.1.1 ([Del70, 2.25 p.19])

Soit Y un espace topologique localement paracompact,  $f: X \to Y$  est propre, et u désigne l'inclusion de  $f^{-1}(y)$  dans X, on a l'isomorphisme suivant

$$\left(\mathcal{R}^i f_* \mathcal{G}\right)_y \simeq H^i(f^{-1}(y), u^{-1} \mathcal{G}) \tag{1.1.1}$$

#### 1.1.4 Faisceaux constants et localement constants

Soit R un anneau, et V un R-module on appelle faisceau constant de tige V que l'on note  $\underline{V}$ , le faisceau associé au préfaisceau

$$U \mapsto V$$
.

On a alors la propriété suivante, soit  $U \subseteq X$ , alors  $\Gamma(U, \underline{V})$  est le faisceau des fonctions localement constantes de X dans V. En particulier si U est connexe,  $\Gamma(U, \underline{V}) = V$ .

#### Faisceaux localement constants.

Un faisceau sur X est un faisceau de R-modules localement constant ou aussi système local de R-modules si localement sur X, il est isomorphe à un faisceau constant de R-modules de rang fini.

Sur une variété connexe et simplement connexe un faisceau localement constant est constant. cf Deligne [Del70, I.1]

#### Exemples:

- Le faisceau <u>C</u> est un faisceau constant d'anneaux. C'est un sous-faisceau naturel de tous les bons faisceaux de fonctions sur une "variété", il représente les fonctions localement constantes.
- Si  $(E, \nabla)$  est un fibré à connexion (cf. plus loin 1.3.1), tel que la courbure de la connexion soit nulle, alors ker  $\nabla$  est un sous-faisceau localement constant du faisceau des sections de E. Tous les faisceaux localement constant apparaissent de cette manière : C'est l'essence de la correspondance de Riemann-Hilbert (cf plus loin, paragraphe 1.3.1).

### 1.2 Géométrie

Sur une variété différentielle, analytique réelle, complexe ou algébrique, la géométrie associée est définie par un faisceau d'anneaux appelé faisceau structurel. Dans ces quatre cas, il est respectivement

- le faisceau  $\mathcal{E}$  des fonctions lisses (infiniment dérivables) à valeurs dans  $\mathbb{C}$ ,
- le faisceau  $\mathcal{E}^{\omega}$  des fonctions analytiques réelles (à valeurs dans  $\mathbb{C}$ ),
- le faisceau  $\mathcal{O}$  des fonctions holomorphes,
- ullet le faisceau o des fonctions rationnelles régulières.

Dans les cas algébriques et complexes, la topologie considérée sera toujours la topologie transcendante sauf mention explicite du contraire. En particulier, elle sera presque toujours séparée, localement paracompacte.

Dans la suite on notera X, Y deux variétés différentielles ou analytiques réelles ou complexes ou algébriques (toutes les deux), on notera  $\mathcal{A}$  leurs faisceaux structurels, et on se donne  $f: X \to Y$  un morphisme. Soient  $\mathcal{F}$  un faisceau de  $\mathcal{A}_Y$ -modules (sur Y) et  $\mathcal{G}$  un faisceau de  $\mathcal{A}_X$ -modules sur X.

#### 1.2.1 Image inverse géométrique

On rappelle que le fait que  $f:X\to Y$  soit un morphisme de variétés, munit  $\mathcal{A}_X$  d'une structure de  $f^{-1}\mathcal{A}_Y$ -modules.

On note  $f^* \mathcal{F}$  le faisceau de  $\mathcal{A}_X$ -modules sur X défini par

$$f^{-1}\mathcal{F}\otimes_{f^{-1}\mathcal{A}_Y}\mathcal{A}_X$$
.

#### 1.2.2 Les fibrés vectoriels

On confondra fibré vectoriel et faisceau localement libre de modules sur le faisceau structurel  $\mathcal{A}$ .

À un faisceau localement libre  $\mathcal{F}$  sur X (donc localement isomorphe à  $\mathcal{A}^{\oplus d}$ ), on associe [Har97, 5.18] une fibration  $\phi: F \to X$  d'espaces construits sur  $\mathcal{A}$  satisfaisant

 $\bullet$  Les sections de  $\phi$  sont les sections du faisceau

$$\{s: X \to F \mid \phi \circ s = id_X\} \simeq \Gamma(U, \mathcal{F})$$

où s est un morphisme d'espaces construits sur  $\mathcal{A}$  (c'est-à-dire lisse si  $\mathcal{A} = \mathcal{E}$ , analytique réelle si  $\mathcal{A} = \mathcal{E}^{\omega}$ , holomorphe si  $\mathcal{A} = \mathcal{O}$ , algébrique si  $\mathcal{A} = o$ ).

• Les fibres sont munies de structure d'espace vectoriel sur  $\mathbb C$  de même dimension d appelée rang de F.

Dans la suite désignera une fibration  $\phi: F \to X$  en espaces vectoriels dont le faisceau des sections, noté  $\mathcal{A}(F)$ , sera localement libre. On parlera suivant le contexte de fibré différentiel (ie lisse) ou holomorphe.

On note  $F_x := \phi^{-1}(x) \subseteq F$  pour  $x \in X$ . On a la propriété suivante pour tout  $x \in X$ 

$$F_x \simeq \mathcal{F}_x \otimes_{\mathcal{A}_x} (\mathcal{A}_x / \mathcal{I}_x)$$

où  $\mathcal{I}_x$  dénote l'idéal de  $\mathcal{A}_x$  des fonctions qui s'annulent en x.

On distinguera soigneusement:

 $F_x$  la fibre en x; souvent un espace vectoriel de dimension finie sur  $\mathbb{C}$ .

 $\mathcal{F}_x$  la tige en x , ou aussi l ['ensemble d]es germes en x ; ressemble plus à un module sur un anneau de séries convergentes.

#### Propriété des images réciproques :

L'identification entre faisceaux localement libres et fibrés vectoriels respecte l'image inverse géométrique :

$$\mathcal{A}_X(f^*F) = f^* \mathcal{A}_Y(F)$$

où  $f^*F$  est l'espace  $X \times_Y F$  au dessus de X. C'est un fibré vectoriel et il satisfait  $(f^*F)_x = F_{f(x)}$ . On a également cette propriété due à Buchdahl (cf [Buc83]) sur la cohomologie de l'image inverse topologique d'un fibré vectoriel, qui sera utilisée par la suite. On peut l'interpréter comme un version globale de (1.1.1).

#### Proposition 1.2.1

Soient X, Y deux variétés complexes lisses,  $f: X \to Y$  une submersion holomorphe surjective. Soit  $N \in \mathbb{N}$  et soit  $B \to Y$  un fibré vectoriel holomorphe.

 $Si \ \forall y \in Y$ ,

- la fibre  $f^{-1}(y)$  est connexe, et
- $\forall q \in \{1, \dots, N\}, H^q(f^{-1}(y), \mathbb{C}) = 0.$

Alors le morphisme canonique

$$H^q(Y, \mathcal{O}_Y(B)) \to H^q(X, f^{-1} \mathcal{O}_Y(B))$$

est un isomorphisme pour  $q=0,1,\cdots,N$  et est une injection pour q=N+1.

La preuve repose sur la résolution de Dolbeault du faisceau  $\mathcal{O}_Y(B)$  et de son image inverse par f. La difficulté consiste à montrer que sous l'hypothèse topologique sur les fibres, la seconde résolution est également acyclique. Elles permettent donc de calculer les espaces de cohomologie  $H^q(Y, \mathcal{O}_Y(B))$  et  $H^q(X, f^{-1} \mathcal{O}_Y(B))$  à partir de leurs sections globales qui sont égales.

#### Fibrés et faisceaux, notation usuelles.

Soit X une variété complexe, on peut construire :

 $T_X$  fibré tangent (objet différentiel)

 $T_X^*$  fibré cotangent (objet différentiel)

 $\Lambda^1_X = T_X^* \otimes \mathbb{C} \,$ fibré cotangent complexifié

 $\mathcal{E}_X^1$  faisceau des 1-formes différentielles (complexes), c'est également  $\mathcal{E}(\Lambda_X^1)$  le faisceau des section lisses du fibré cotangent complexifié.

 $\Omega^1_X$  faisceau des 1-formes différentielles de régularité holomorphe, c'est également le faisceau  $\mathcal{O}(\Lambda^1_X)$  des sections holomorphes du fibré  $\Lambda^1_X$ .

 $\Lambda_X^{1,0}\,$ fibré cotangent "holomorphe"  $^1.$ 

 $\mathcal{E}_X^{1,0}$  faisceau des 1-formes différentielles de type (1,0), ce sont les sections lisses de  $\Lambda_X^{1,0}$ .

 $\Omega_X^{1,0}$  faisceau des 1-formes différentielles de régularité holomorphe et de type (1,0), c'est également le faisceau  $\mathcal{O}(\Lambda_X^{1,0})$  des sections holomorphes du fibré  $\Lambda_X^{1,0}$ .

#### Remarques sur la notation propre à la restriction de fibrés.

Soit  $X \subseteq Y$  une sous-variété, on notera i l'inclusion. On désignera par  $\mathcal{A}$  les faisceaux structurels. Pour un fibré E sur Y, on notera  $E|_X := i^*E$  le fibré sur X induit. Alors son faisceau des sections est donné par

$$\mathcal{A}_X(E|_X) = i^{-1} \mathcal{A}_Y(E) \otimes_{i^{-1} \mathcal{A}_Y} i^{-1} \mathcal{A}_X = i^* \mathcal{A}_Y(E)$$

#### L'abus $\mathcal{O}(k)$ :

Soit V un espace vectoriel sur  $\mathbb{C}$  de dimension d. On rappelle que  $\mathbb{P}(V)$  est l'ensemble des quotients de rang 1 de V. Cette définition  $^2$  diffère de la définition "historique" comme ensemble des droites vectorielles de V, voir par ex. [Laz04].

Dans la suite,  $\mathcal{O}(1)$  désignera soit le fibré tautologique sur l'espace projectif  $\mathbb{P}$ , soit le faisceau de ses sections holomorphes. On fera le même abus pour ses puissances tensorielles  $\mathcal{O}(k)$ .

Soit  $\mathcal F$  un faisceau analytique et F un fibré vectoriel holomorphe sur  $\mathbb P$ . On notera alors

- $\mathcal{F}(k)$  pour  $\mathcal{F} \otimes_{\mathcal{O}} \mathcal{O}(k)$  (en tant que faisceau)
- F(k) pour  $F \otimes_{\mathbb{C}} \mathcal{O}(k)$  (en tant que fibré)

On rappelle que pour d=2 (ie  $\mathbb{P}(V)\cong\mathbb{P}^1$ ), la règle de Bott nous donne

$$H^{0}(\mathbb{P}(V), \mathcal{O}(k)) = \odot^{k} V \qquad k \ge 0$$
  
$$H^{1}(\mathbb{P}(V), \mathcal{O}(-k)) = \det(V^{*}) \otimes \odot^{k-2} V^{*} \qquad k \ge 2$$

où ⊙ désigne la puissance symétrique. Tous les autres groupes de cohomologie sont nuls.

#### 1.2.3 Formule de projection et changement de base en cohomologie

On se place dans le cadre holomorphe et on se référera à [Buc85, 1.1 Projection Formula p.437] ou [Mum12, II.5 Cor. 1 et 2.].

Soient X, Y deux variétés analytiques complexes et soit  $f: X \to Y$  une application holomorphe. Soient  $\mathcal{G}$  un faisceau cohérent sur X et  $\mathcal{F}$  un faisceau localement libre sur Y.

Les  $\mathcal{R}^i f_* \mathcal{G}$  héritent naturellement d'une structure de faisceaux de  $\mathcal{O}_Y$ -modules. On a cependant des résultats plus forts

- 1. [Grauert] Si f est **propre**, alors les  $\mathcal{R}^i f_* \mathcal{G}$  pour  $i \geq 0$  sont cohérents sur Y
- 2. [Formule de la projection] Toujours sous l'hypothèse f propre, on a

$$\mathcal{R}^{i} f_{*} (\mathcal{G} \otimes_{\mathcal{O}_{X}} f^{*} \mathcal{F}) \simeq (\mathcal{R}^{i} f_{*} \mathcal{G}) \otimes_{\mathcal{O}_{Y}} \mathcal{F}$$
(1.2.1)

<sup>1.</sup> ici le mot holomorphe indique le type, pas la régularité.

<sup>2.</sup> que l'on peut rapporter à l'école grothendicienne.

- 3. [Changement de base] enfin si de plus pour  $i \geq 0$ ,
  - f est plate,
  - $\mathcal{G}$  est localement libre,
  - $\bullet$  et la fonction

$$y \mapsto h^i\left(f^{-1}(y), \mathcal{G} \otimes_{\mathcal{O}_X} \mathcal{O}_{f^{-1}(y)}\right)$$

est constante pour  $y \in Y$ ,

alors  $\mathcal{R}^i f_* \mathcal{G}$  est localement libre. De plus la fibre en y est l'espace

$$H^i\left(f^{-1}(y), \mathcal{G} \otimes_{\mathcal{O}_X} \mathcal{O}_{f^{-1}(y)}\right)$$

On peut faire un parallèle entre le point 3 et la proposition 1.1.1 : en effet, sous les hypothèses du point 3, le faisceau  $\mathcal{R}^i f_* \mathcal{G}$  est localement libre et

- a pour tige en y l'espace  $H^i\left(f^{-1}(y), u^{-1}\mathcal{G}\right)$  par la proposition 1.1.1,
- a pour fibre en y l'espace  $H^i(f^{-1}(y), \mathcal{G} \otimes_{\mathcal{O}_X} \mathcal{O}_{f^{-1}(y)})$ .

Le lien entre ces deux espaces se comprend à travers la suite exacte

$$0 \to u^{-1} \mathcal{G} \otimes_{u^{-1} \mathcal{O}_X} u^{-1} \mathcal{I}_{f^{-1}(y)} \to u^{-1} \mathcal{G} \to u^{-1} \mathcal{G} \otimes_{u^{-1} \mathcal{O}_X} \mathcal{O}_{f^{-1}(y)} \to 0$$

où  $\mathcal{I}_{f^{-1}(y)}$  désigne l'idéal de  $\mathcal{O}_X$  définissant l'inclusion  $u:f^{-1}(y)\hookrightarrow X$ .

#### 1.3 Géométrie infinitésimale

Les deux sections suivantes introduisent des outils plus sophistiqués pour l'étude de la structure complexe sur Z.

#### 1.3.1 Connexions sur un fibré vectoriel

#### Différentes notions de connexions

Le terme connexion dispose de tout un zoo de définitions. On rappelle ici les différentes connexions de Koszul qui peuvent exister sur un fibré. On s'intéressera plus particulièrement au cadre holomorphe pour clarifier l'utilisation subséquente des propriétés de connexions holomorphes.

Soit E un fibré (éventuellement holomorphe, hermitien) sur X (variété éventuellement complexe),  $\mathcal{E}$  (resp.  $\mathcal{O}$ ) les faisceaux de fonctions lisses (resp. holomorphes). On définit les objets suivants :

#### Connexion:

Morphisme de faisceaux de groupes abéliens  $D: \mathcal{E}(E) \to \mathcal{E}^1(E)$  qui satisfait une règle de Leibniz :

$$\forall s \in \Gamma(\mathcal{E}(E)), \ \forall f \in \Gamma(\mathcal{E}), \quad D(fs) = \mathrm{d}f \otimes s + fD(s)$$

#### Connexion de type (0,1) Sur une variété complexe :

Une connexion de type (0,1) est un morphisme de faisceaux  $D: \mathcal{E}(E) \to \mathcal{E}^{0,1}(E)$  qui satisfait une règle de Leibniz de type (0,1), c'est-à-dire

$$\forall s \in \Gamma(\mathcal{E}(E)), \ \forall f \in \Gamma(\mathcal{E}), \quad D(fs) = \bar{\partial} \ f \otimes s + fD(s).$$

- On definit de même les connexions de type (1,0).
- Une connexion D sur E se décompose naturellement en deux connexions  $D' = D^{1,0}$  et  $D'' = D^{0,1}$  sur E.

#### Connexion de type (0,1) canonique :

Sur une variété <u>complexe</u> et pour un fibré <u>holomorphe</u>, on a une connexion de type (0,1) naturelle définie par le  $\bar{\partial}$  des coefficients d'une section dans un repère holomorphe.

Connexion compatible avec la structure holomorphe (parfois dangereusement appelée connexion holomorphe):

Sur une variété <u>complexe</u> et pour un fibré <u>holomorphe</u>, c'est une connexion D dont la partie D'' de type (0,1) est égale à la connexion canonique de type (0,1):  $\bar{\partial}$ .

#### Connexion hermitienne:

Sur une variété  $\underline{\text{complexe}}$ , et pour un fibré  $\underline{\text{hermitien}}$ , c'est une connexion compatible avec la structure hermitienne.

#### Connexion de Chern:

Sur une variété <u>complexe</u> et pour un fibré <u>holomorphe</u> hermitien, il existe une unique connexion **hermitienne** et **compatible avec la structure holomorphe**; elle est appelée connexion de Chern.

#### Connexion holomorphe (forte):

Sur une variété <u>complexe</u> et pour un fibré <u>holomorphe</u> E, c'est un morphisme de faisceaux  $\mathcal{O}(E) \to \Omega^1(E)$  qui satisfait une règle de Leibniz dans la catégorie holomorphe

$$\forall s \in \Gamma(\mathcal{O}(E)), \ \forall f \in \Gamma(\mathcal{O}), \quad D(fs) = \mathrm{d}f \otimes s + fD(s).$$

Dans le suite, connexion holomorphe fera toujours référence à une connexion holomorphe forte. On pourra se référer à [Buc85, Part. I] ou [Del70] dans ce cas.

Dans le cas d'un morphisme  $f: X \to Y$ , on peut définir les notions de connexion (resp. de type (0,1), compatible, hermitienne, holomorphe) **relatives** à f en remplaçant les faisceaux de formes par les faisceaux de formes relatives et en remplaçant d par  $d_f: \mathcal{O}_X \to \Omega_X \twoheadrightarrow \Omega_f$  dans la règle de Leibniz.

Enfin étant donné un morphisme  $f: X \to Y$  et un fibré à connexion holomorphe  $(E, \nabla)$  sur X, on peut définir un opérateur différentiel  $f_*\nabla$  sur Y comme image directe de  $\nabla$  par f (au sens des faisceaux : 1.1.2). Il satisfait par fonctorialité la règle de Leibniz suivante

$$\forall s \in \Gamma(Y, f_* \mathcal{O}_X(E)), \forall \phi \in \Gamma(Y, \mathcal{O}_Y), \quad (f_* \nabla) (\phi s) = f_* (\mathrm{d}\phi \otimes (s \circ f)) + \phi (f_* \nabla) (s).$$

#### Connexion naturelle sur un produit tensoriel

Soient  $(E, \nabla_E)$  et  $(F, \nabla_F)$  deux fibrés (holomorphes) à connexion holomorphe sur une variété complexe X.

Alors il existe une connexion naturelle sur le fibré  $E \otimes F$ .

$$\nabla: \mathcal{O}_X(E \otimes F) \to \Omega_X(E \otimes F)$$

Elle est donnée pour e et f des sections locales respectives de E et F, par

$$\nabla(e \otimes f) = \nabla_E(e) \otimes f + e \otimes \nabla_F(f)$$

C'est pourquoi on la note  $\nabla_E + \nabla_F$  (ou plus rigoureusement  $\nabla_E \otimes 1_F + 1_E \otimes \nabla_F$ ).

#### Courbure

Une connexion holomorphe  $\nabla$  sur un fibré E sur X s'étend de manière unique en une application

$$\nabla^k:\Omega^k_X(E)\to\Omega^{k+1}_X(E)$$

satisfaisant la règle de Leibniz suivante pour  $\omega$  une k-forme et e une section locale de E

$$\nabla^k (\omega \otimes e) = d\omega \otimes e + (-1)^k \omega \wedge \nabla e$$

Dès lors on définit la courbure de la connexion  $\nabla$  comme la composée

$$F(\nabla) := \nabla^1 \circ \nabla : \mathcal{O}(E) \to \Omega^2(E)$$

C'est un résultat classique que  $F(\nabla)$  est en fait  $\mathcal{O}_X$ -linéaire, on peut donc la voir comme une 2-forme sur X à valeurs dans  $\operatorname{End}(E)$ .

On se permettra de noter F(E) pour la courbure de la connexion  $\nabla$  sur le fibré E s'il n'y a pas d'ambiguïté sur le choix de la connexion.

Une connexion sera dite plate si sa courbure est nulle.

#### Correspondance de Riemann-Hilbert

Il y a un lien fondamental entre connexions plates et les systèmes locaux qui est donné par la proposition

#### Proposition 1.3.1 ([Del70, thm 2.17])

Soit X une variété analytique complexe. Les foncteurs suivants :

- 1. V, système local complexe  $\mapsto \mathcal{O} \otimes_{\underline{\mathbb{C}}} V$  muni de sa connexion canonique pour laquelle les sections de V sont parallèles.
- 2.  $(E, \nabla)$ , fibré vectoriel holomorphe à connexion plate,  $\mapsto V = \ker \nabla$ , le sous-faisceau des sections parallèles de  $\mathcal{O}(E)$ .

sont des équivalences de catégories quasi-inverses l'une dans l'autre entre la catégorie des systèmes locaux complexes sur X et la catégorie des fibrés vectoriels holomorphes à connexion plate sur X (avec pour morphismes les morphismes horizontaux de fibrés)

En particulier le système local  $\underline{\mathbb{C}}$  correspond au faisceau  $\mathcal{O}$  muni de la dérivée extérieure d. Une version relative [Del70, thm 2.23] pour  $f: X \to Y$  fait correspondre les systèmes locaux relatifs (localement de la forme  $f^{-1}\mathcal{O}_Y(B)$ ) avec les fibrés à connexion relative plate.

#### 1.3.2 Théorie des épaississements

On énoncera ici les résultats de théorie des épaississement de sous-variétés analytiques qui nous seront utiles par la suite, notamment au chapitre 8. Pour un compte-rendu plus détaillé de la théorie, le lecteur pourra à se référer à [Buc85, EL86, EL92].

#### Épaississement de sous-variété lisse

Soit  $(Y, \mathcal{O}_Y)$  une variété analytique complexe lisse et  $(X, \mathcal{O}_X)$  une sous-variété lisse. On notera  $\mathcal{I}_X$  le faisceau d'idéaux de  $\mathcal{O}_Y$  des fonctions qui s'annulent sur X et  $i: X \hookrightarrow Y$  l'injection.

Alors on a, par définition du faisceau des fonctions sur X,

$$0 \to i^{-1} \mathcal{I}_X \to i^{-1} \mathcal{O}_Y \to \mathcal{O}_X \to 0.$$

On notera  $N_{X/Y} := (T_Y|_X)/T_X$  le fibré normal de X dans Y. Comme X est une sous-variété lisse de Y, on a pour tout  $k \in \mathbb{N}$ ,

$$\odot^k N_{X/Y}^* \simeq \frac{\mathcal{I}_X^k}{\mathcal{I}_Y^{k+1}}.$$

Cela signifie que les formes k-linéaires symétriques sur le fibré normal de X dans Y sont les classes de fonctions qui s'annulent à l'ordre k sur X modulo celles qui s'annulent à un ordre supérieur.

Les épaississements de X sont fait pour disposer de plus de fonctions, notamment des fonctions non-nulles qui s'annulent sur X tout entier. Ces nouvelles fonctions ne voient pas les points de X mais mesurent plutôt les voisinages infinitésimaux de X dans Y (par exemple les directions normales de X dans Y). Ainsi l'épaississement à l'ordre m de X dans Y est défini comme le sous-schéma de Y d'espace sous-jacent  $X_{\text{top}}$  et de faisceau structure  $\mathcal{O}_X^{(m)}$  donné par la suite exacte

$$0 \to i^{-1} \mathcal{I}_X^{m+1} \to i^{-1} \mathcal{O}_Y \to \mathcal{O}_X^{(m)} \to 0. \tag{1.3.1}$$

Par cette définition, l'épaississement à l'ordre 0 n'est autre que  $(X, \mathcal{O}_X)$  et il y a un morphisme naturel entre l'épaississement à l'ordre m+p et l'épaississement à l'ordre m qui s'apparente à une restriction et provient de l'inclusion  $\mathcal{I}^{m+p} \subseteq \mathcal{I}^m$ .

En particulier on a un analogue de (1.3.1) plus pratique car il fait abstraction de Y et manipule principalement des faisceaux localement libres sur X:

#### Lemme 1.3.2

Soit X une sous-variété lisse de Y et soit  $m \geq 0$ , alors on a la suite exacte suivante de faisceaux sur X

$$0 \to \mathcal{O}_X(\odot^{m+1}N_{X/Y}^*) \to \mathcal{O}_X^{(m+1)} \to \mathcal{O}_X^{(m)} \to 0 \tag{1.3.2}$$

Intuitivement, les polynômes homogènes de degré m+1 sur le fibré normal de X dans Y donnent des fonctions sur l'épaississement  $X^{(m+1)}$  qui s'annulent sur l'épaississement à l'ordre m de X.

Cette propriété est une conséquence du résultat plus général [EL92, Lemma 2].

#### Épaississement de fibré

Avec les notations du paragraphe précédent, soit  $E \to X$  un fibré vectoriel. On appelle épaississement de E à l'ordre m sur  $X^{(m)}$  un faisceau localement libre  $\mathcal{F}$  de  $\mathcal{O}_X^{(m)}$ -modules tel que

$$\mathcal{O}_X \otimes_{\mathcal{O}_{\mathbf{v}}^{(m)}} \mathcal{F} \simeq \mathcal{O}_X(E)$$

c'est-à-dire il étend le fibré E sur X à  $X^{(m)}$ .

Soit E un fibré sur X et  $E^{(k)}$  des épaississements (compatibles entre eux) de E aux voisinages à l'ordre k de X pour  $0 \le k \le m$ . La suite exacte (1.3.2) devient pour tout k

$$0 \to \mathcal{O}_X(E \otimes \odot^{k+1} N_{X/Y}^*) \to \mathcal{O}_X^{(k+1)}(E^{(k+1)}) \to \mathcal{O}_X^{(k)}(E^{(k)}) \to 0$$
 (1.3.3)

#### Épaississement de connexion

Dans les sections qui suivent, on se donne  $X' = X^{(n)}$  un épaississement à l'ordre n de X (l'épaississement à l'ordre n de X dans Y). On notera ensuite avec " les épaississements à l'ordre n+1. On notera également  $\mathcal{O}'_X$  ou parfois simplement  $\mathcal{O}'$  pour  $\mathcal{O}_{X'}$  (et de même avec  $\mathcal{O}''$ ).

La donnée d'une connexion holomorphe sur un fibré assure l'existence d'un épaississement du fibré. Ainsi épaissir les fibrés à connexion est un ping-pong entre d'une part l'épaississement de la connexion sur un fibré fixé et d'autre part le choix de l'épaississement du fibré.

Étendre une connexion  $\nabla'$  sur un fibré E' sur X' à une connexion  $\nabla''$  sur un fibré E'' sur X'' se fait en 3 étapes

- 1. On définit E'' (cf. paragraphe suivant page 21).
- 2. On étend  $\nabla'$  en  $\tilde{\nabla}': \mathcal{O}''_X(E'') \to \Omega^1_Y(E') = \Omega^1_Y \otimes_{\mathcal{O}_Y} \mathcal{O}'_X(E')$  qui n'est pas une connexion au sens strict mais satisfait la règle de Leibniz suivante

$$\tilde{\nabla}(fe) = \mathrm{d}f \otimes [e]_{E'} + f \left[\tilde{\nabla}e\right]_{E'}$$

pour e section locale de E'' et  $[e]_{E'}$  son image dans E'.

3. On étend  $\tilde{\nabla}'$  en une véritable connexion  $\nabla''$  sur E''

$$\nabla'': \mathcal{O}''_X(E'') \to \Omega^1_{X''}(E'')$$

**Épaississement du fibré induit par la connexion** Considérons la suite exacte conormale "épaissie" sur X

$$0 \to \mathcal{O}_X(\odot^{n+1}N^*) \to \Omega_Y \otimes \mathcal{O}_X' \to \Omega_{X'} \to 0$$

que l'on peut tensoriser par  $\mathcal{O}_X'(E')$  et construire le diagramme suivant

$$0 \longrightarrow \mathcal{O}_X(E \otimes \odot^{n+1} N^*) \longrightarrow \Omega_Y \otimes \mathcal{O}_X'(E') \longrightarrow \Omega_{X'}(E') \longrightarrow 0$$

$$\mathcal{O}_X'(E')$$

On peut également considérer la puissance extérieure k-ième du quotient  $\Omega^1_Y \otimes \mathcal{O}'_X \to \Omega^1_{X'} \to 0$ . On notera  $R^k_{X'}$  son noyau.

$$0 \to R_{X'}^k \to \Omega_Y^k \otimes \mathcal{O}_X' \to \Omega_{X'}^k \to 0$$

On peut alors recouvrir X par des ouverts  $U_i$  qui trivialisent E'. Sur l'ouvert  $U_i$  on peut choisir un repère  $e_i = (e_i^{\alpha})_{\alpha}$  de E'. Les matrices de passages  $g_{ji} \in \mathcal{G}\ell_r(\mathcal{O}'_X)$  de  $e_i$  à  $e_j$  sur l'intersection  $U_{ij}$  satisfont la relation de cocycle  $^3$ :

$$g_{ij}g_{jk}g_{ki} = \mathrm{Id}_r \quad \text{sur } U_{ijk}.$$

Si on considère  $\check{g}_{ij}$  les classes des  $g_{ij}$  dans  $\mathcal{G}\ell_r(\mathcal{O}_X)$  induites par la réduction  $\mathcal{O}'_X \to \mathcal{O}_X$ , elles satisfont toujours la relation de cocycle et correspondent aux changements de trivialisation du fibré E. En dérivant la relation de cocycle de g, on trouve la relation de cocycle additive suivante

$$g_{ji}d'g_{ij} + g_{kj}d'g_{jk} + g_{ik}d'g_{ki} = 0 \qquad \text{sur } U_{ijk}$$

qui est l'obstruction à l'existence d'une connexion sur E'.

Comme pour  $m \in M(I'/I'')$  la relation  $(Id+m)^{-1} d_{X''}(Id+m) = d_{X''}m \mod I''$  montre la commutativité du diagramme

$$0 \longrightarrow \mathcal{M}_{n}(I'/I'') \xrightarrow{\operatorname{d}''_{X}} \mathcal{M}_{n}(\Omega_{Y} \otimes \mathcal{O}'_{X}) \xrightarrow{\operatorname{mod } \operatorname{d}I'} \mathcal{M}_{n}(\Omega_{X'}^{1}) \longrightarrow 0$$

$$\downarrow \operatorname{id} \qquad \qquad \tilde{D} \qquad \qquad g \mapsto g^{-1} \operatorname{d}g \qquad D$$

$$0 \longrightarrow \mathcal{M}_{n}(I'/I'') \xrightarrow{m \mapsto 1 + m} \mathcal{G}\ell_{n}(\mathcal{O}''_{X}) \xrightarrow{\operatorname{mod } I'} \mathcal{G}\ell_{n}(\mathcal{O}'_{X}) \longrightarrow 0$$

l'existence d'une connexion holomorphe  $\nabla'$  sur  $E' \to X'$  assure l'annulation de la classe  $DE' := [g_{ji}^{-1}dg_{ji}]$  dans  $H^1(X',\Omega_{X'}(\operatorname{End}(E'))$  dont l'image dans  $H^2(X',\operatorname{End}(E)\otimes (I'/I''))$  est l'obstruction à l'existence d'un épaississement E'' de E' sur X''. La donnée d'une connexion holomorphe sur E' assure l'existence d'un épaississement du fibré.

Épaississement de la connexion Comme l'action d'un élément  $m=(m_{ji})$  du groupe  $H^1(X',\operatorname{End}(E)\otimes (I'/I''))$  sur la classe d'épaississement  $E''=(g''_{ji})\in H^1(GL(\mathcal{O}_{X''}))$ 

$$m \cdot E'' = ((Id + m_{ji})g_{ji}'')$$

puis sur l'obstruction  $\tilde{\omega}(\nabla', E'') \in H^1(X', \operatorname{End}(E) \otimes I'/I'')$  à étendre  $\nabla'$  en une pseudo-connexion sur E''

$$\tilde{\omega}(\nabla', m \cdot E'') = (m_{ii}) + \tilde{\omega}(\nabla', E'')$$

est affine, il n'existe exactement qu'une seule classe d'isomorphisme d'épaississement  $m \cdot E''$  telle que  $\tilde{\omega}(\nabla', m \cdot E'') = 0$  et donc sur lequel la connexion  $\nabla'$  s'étend en une pseudo-connexion  $\tilde{\nabla'}$ . Le diagramme

montre que l'obstruction  $\omega_{n+1}(\tilde{\nabla}') \in H^1(X', R^2_{X'}(\operatorname{End}(E')))$  à étendre la pseudo-connection  $\tilde{\nabla}'$  en une connexion sur E'' est l'image par le morphisme connectant de l'image par  $\nabla'$  de la classe  $(A_i) \in H^0(\Omega^1_{X''}(\operatorname{End}(E'')))$  potentiel du cobord  $D\tilde{\nabla}' = (g''_{ji})^{-1}d_{X'}g''_{ji}$  donc l'image par le morphisme connectant la courbure  $F(\nabla') = \nabla'(A_i)$  de  $\nabla'$ .

#### Obstructions et classifications d'épaississements de fibrés à connexion

Soit  $X \subseteq Y$  une sous-variété lisse. On a la suite exacte "conormale épaissie" de  $\mathcal{O}_X^{(n)}$ -modules

$$0 \to \mathcal{O}_X \left( \odot^{n+1} N^* \right) \to \Omega^1_Y \otimes \mathcal{O}_X^{(n)} \to \Omega^1_{X^{(n)}} \to 0.$$

Soit  $E^{(n)}$  un fibré sur  $X^{(n)}$ , et E sa restriction à X. On admettra que

<sup>3.</sup> on fera attention au caractère non-commutatif

- L'espace  $H^0(X, \Omega^2_{X^{(n)}}(\mathbf{End}(E^{(n)})))$  contient les courbures de connexions sur  $E^{(n)}$ , l'obstruction à l'existence d'une connexion sur ce fibré est une classe dans  $H^1(X, \Omega^1_{X^{(n)}}(\operatorname{End}(E^{(n)})))$ .
- L'espace  $H^1(X, R^2_{X^{(n)}}(\mathbf{End}(E)))$  contient les obstructions à ce qu'une connexion sur  $E^{(n)}$ s'étende en une connexion sur  $E^{(n+1)}$  (ce dernier étant déterminé par la connexion cf. paragraphe 1.3.2).
- **L'espace**  $H^1(X, \operatorname{End}(E) \otimes \odot^{n+1}N^*)$  agit transitivement sur les classes d'épaississements à l'ordre n+1 du fibré  $E^{(n)}$ .
- **L'espace**  $H^2(X, \mathbf{End}(E) \otimes \odot^{n+1}N^*)$  contient les obstructions à ce qu'un fibré  $E^{(n)}$  sur  $X^{(n)}$ étendant E s'étende en un fibré  $E^{(n+1)}$  sur  $X^{(n+1)}$ .

Considérons les suites exactes

$$0 \to R^2_{X^{(n)}}(\operatorname{End}(E)) \to \Omega^2_Y(\operatorname{End}(E^{(n)})) \to \Omega^2_{X^{(n)}}(\operatorname{End}(E^{(n)})) \to 0$$

issue de la définition de  $R_X^k$  et

$$0 \to \mathcal{O}(\operatorname{End}(E) \otimes \odot^{n+2} N^*) \to \Omega^1_Y(\operatorname{End}(E^{(n)}) \otimes \odot^{n+1} N^*) \to R^2_{X^{(n)}}(\operatorname{End}(E)) \to 0$$

issue de la suite conormale épaissie. Elles donnent les applications suivantes entre espaces de cohomologie

$$\varphi: H^{0}(X, \Omega_{X^{(n)}}^{2}(\operatorname{End}(E^{(n)}))) \to H^{1}(X, R_{X^{(n)}}^{2}(\operatorname{End}(E))),$$

$$\theta: H^{0}(X, R_{X^{(n)}}^{2}(\operatorname{End}(E))) \to H^{0}(X^{(n)}, \Omega_{Y}^{2}(\operatorname{End}(E^{(n)}))),$$

$$\psi: H^{1}(X, R_{X^{(n)}}^{2}(\operatorname{End}(E))) \to H^{2}(X, \operatorname{End}(E) \otimes \odot^{n+2}N^{*}),$$

$$\gamma: H^{0}(X, R_{Y^{(n)}}^{2}(\operatorname{End}(E))) \to H^{1}(X, \operatorname{End}(E) \otimes \odot^{n+2}N^{*}).$$

On a alors la proposition suivante qui relie précisément les obstructions et classes d'extensions de connexions avec les obstructions et classes d'extension de fibrés.

### Proposition 1.3.3 ([Buc85, Prop H])

Soient  $X\subseteq Y$  deux variétés lisses,  $(E,\nabla)$  un fibré à connexion sur X et  $(E^{(n)},\nabla^{(n)})$  une extension de  $(E, \nabla)$  à  $X^{(n)}$ . Alors

- (a) Il existe une extension  $(E^{(n+1)}, \tilde{\nabla}^{(n)})$  unique à isomorphisme au dessus de  $(E^{(n)}, \nabla^{(n)})$
- (b) On a, avec les notations précédentes
  - l'image par  $\varphi$  de la courbure de  $\nabla^{(n)}$  est l'obstruction à ce que  $\tilde{\nabla}^{(n)}$  s'étende en une connexion sur  $E^{(n+1)}$ .
  - l'image par  $\psi$  de l'obstruction à ce que  $\tilde{\nabla}^{(n)}$  s'étende en une connexion sur  $E^{(n+1)}$ est l'obstruction à ce que  $E^{(n+1)}$  s'étende en un fibré  $E^{(n+2)}$ .
- (c) Soient  $\nabla_1^{(n+1)}$  et  $\nabla_2^{(n+1)}$  deux extensions de  $\tilde{\nabla}^{(n)}$ , qui entraînent par (a) l'existence de deux extensions  $E_1^{(n+2)}$  et  $E_2^{(n+2)}$  de  $E^{(n+1)}$ . On notera  $\delta = \nabla_1^{(n+1)} \nabla_2^{(n+1)}$ . Alors  $\bullet$  l'image de la différence  $\delta$  par  $\theta$  puis restreinte à  $X^{(n)}$  est la différence entre les
  - courbures des deux connexions,
  - l'image de  $\delta$  par  $\gamma$  est la différence entre les classe d'épaississement des deux fibrés.
- (d) Si la connexion  $\nabla^{(n)}$  est plate, il une extension **plate** de  $(E^{(n)}, \nabla^{(n)})$  à l'ordre n+1 et cette extension est unique à unique isomorphisme au dessus de  $(E^{(n)}, \nabla^{(n)})$  près.

Par soucis de clarté, on énonce la version relative qu'on utilisera, avec des notations plus proches de celles du présent manuscrit.

#### Proposition 1.3.4 (version relative de [Buc85, Prop H])

Soient  $X \subseteq Y$  deux variétés lisses sur Z, on notera  $p: Y \to Z$  le morphisme de structure. Soit  $(E, \nabla)$  un fibré à connexion p-relative et  $(E', \nabla')$  une extension  $\mu$ -relative à  $X^{(n)}$ . Alors

- (a) Il existe une extension  $(E'', \tilde{\nabla}')$  unique à isomorphisme au dessus de  $(E', \nabla')$  près.
- (b) On a, avec les notations précédentes
  - l'image par  $\varphi$  de la courbure de  $\nabla'$  est l'obstruction à ce que  $\tilde{\nabla}'$  s'étende en une connexion sur E''.
  - l'image par  $\psi$  de l'obstruction à ce que  $\tilde{\nabla}'$  s'étende en une connexion sur E'' est l'obstruction à ce que E'' s'étende en un fibré E'''.
- (c) Soient  $\nabla_1''$  et  $\nabla_2''$  deux extensions de  $\tilde{\nabla}'$ , qui entraînent par (a) l'existence de deux extensions  $E_1''$  et  $E_2''$  de E'. On notera  $\delta = \nabla_1'' \nabla_2''$ . Alors
  - l'image de la différence  $\delta$  par  $\varphi$  puis restreinte à  $X^{(n)}$  est la différence entre les courbures des deux connexions,
  - l'image de  $\delta$  par  $\psi$  est la différence entre les classe d'épaississement des deux fibrés.
- (d) Si la connexion  $\nabla'$  est plate, il une extension **plate** relative de  $(E', \nabla')$  à l'ordre n+1 et cette extension est unique à unique isomorphisme au dessus de  $(E', \nabla')$  près.

## Chapitre 2

# Variété hyperkählérienne et espace des twisteurs

Elle met des noms sur les choses, des étiquettes, comme pour dire "Ces choses font partie de mon système, je les ai comprises." Mais le temps de nommer une chose, elle a déjà changé, et le nom qu'on lui a donné a déjà fini de la définir avec exactitude, et on se retrouve avec en bouche des mots vides. L'Occidental veut résoudre le monde. Faire de l'un avec du multiple. C'est un leurre.

— Le chat du rabbin, Joann Sfar

#### 2.1 Définition

Une variété hyperkählérienne (M, g, (I, J, K)) est la donnée

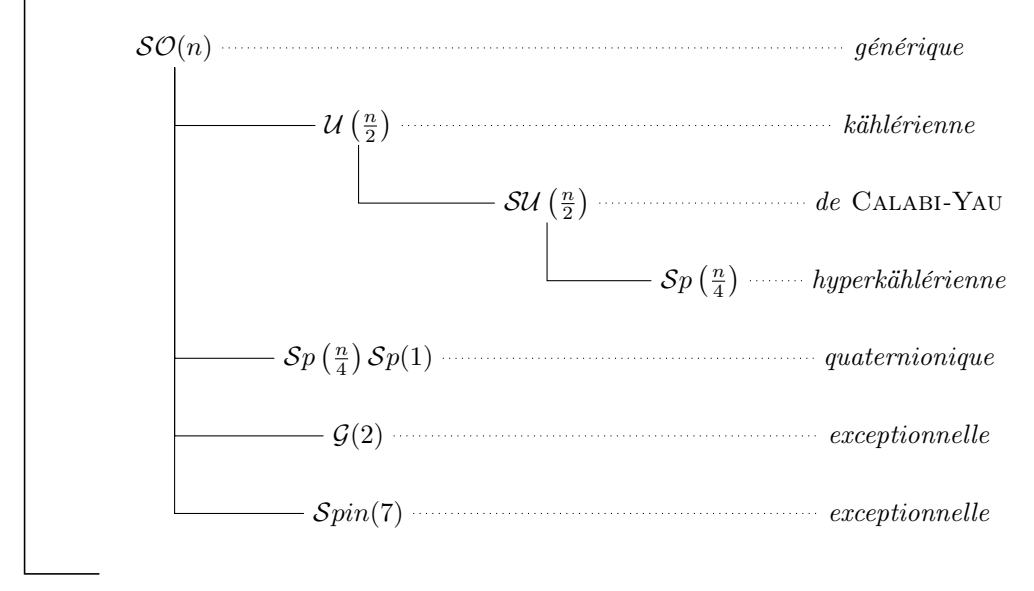
- ullet D'une variété différentielle M de dimension 4n
- ullet D'une métrique riemannienne g sur M
- ullet De trois structures presque-complexes I,J et K sur M satisfaisant
  - ▶ IJK = -1 (en particulier I, J et K satisfont les relations quaternioniques  $^1$ )
  - $\blacktriangleright$  I, J et K sont orthogonales pour g
  - $\blacktriangleright$  I, J et K sont parallèles pour g donc intégrables et kählériennes.

On fera l'hypothèse que M est connexe et simplement connexe ; ces hypothèses ne sont pas très restrictives, par exemple les variétés hyperkählériennes qui apparaissent dans la décomposition de Bogomolov (cf. [GHJ03]) le sont.

L'existence des trois tenseurs parallèles I, J et K impose des restrictions sur l'holonomie de la métrique et donc sur sa courbure. Ainsi sous ces hypothèses Hol(g) est un sous-groupe du groupe symplectique Sp(n) et en particulier, c'est un sous-groupe de SU(2n) donc g est Ricci-plate, on pourra se reporter à [GHJ03] pour plus de détails. Si de plus M est non-localement symétrique, le groupe d'holonomie est exactement Sp(n). Ceci découle du théorème de classification de Berger (proposition 2.1.1). A priori on ne fera pas cette hypothèse.

#### Proposition 2.1.1 (Classification de Berger [Bea83, GHJ03])

Soit (M, g) une variété riemannienne de dimension n, compacte, connexe, simplement connexe, non-symétrique, sans bord. Alors Hol(M) est l'un des groupes suivants :



Les liens indiquent les inclusions de groupes, et la notation  $(\cdot)(n/k)$  signifie implicitement "la dimension n est un multiple de k".

#### Exemples compacts

- Une variété (compacte) symplectique holomorphe est dite irréductible [GHJ03, 5.10] si elle est simplement-connexe et  $h^{2,0} = 1$ . Alors pour chaque classe de Kähler, elle admet par théorème de Yau [GHJ03, Sec. 5] un métrique Ricci-plate g qui en fait une variété hyperkählérienne (les structures J et K sont déterminées à partir de la forme symplectique et de la métrique).
- Les surfaces K3 forment un cas particulier du précédent : Ce sont les surfaces complexes irréductibles de fibré canonique trivial.
- Les tores  $\mathbb{R}^{4n}/\Lambda$  muni de la métrique quotient donnent des exemples de variétés hyperkählériennes qui ne sont pas simplement connexes.

<sup>1.</sup> Relations du Brougham bridge  $I^2 = J^2 = K^2 = IJK = -1$ 

- Étant donné une surface K3, on peut considérer le schéma de Hilbert des n-uplets de points sur cette surface. La variété obtenue est lisse et compacte, irréductible et porte naturellement une forme symplectique holomorphe. C'est donc une variété hyperkählérienne par le théorème de Yau.
- Une construction similaire dans le cas des tores permet de construire les variétés de Kummer généralisées.

#### Exemples ouverts

- $\mathbb{R}^4 \simeq \mathbb{H}$  (plus généralement un ouvert de  $\mathbb{R}^{4n}$ ) avec la structure plate.
- Variétés de carquois de Nakajima [Sch08, Nak98] qui sont un cas particulier de quotient hyperkählérien [HKLR87].
- Cotangent à  $\mathbb{P}^n$  et la métrique d'Eguchi-Hanson [Cal79].
- Voisinage de la section nulle dans le cotangent d'une variété kählérienne compacte [VK99].

#### 2.2 Structures kählériennes

Soit (M, g, (I, J, K)) une variété hyperkählérienne. Pour  $\zeta \in \mathbb{P}^1$ , on note

$$I_{\zeta} = a_{I}(\zeta, \bar{\zeta}) I + a_{J}(\zeta, \bar{\zeta}) J + a_{K}(\zeta, \bar{\zeta}) K$$

οù

$$a_{I}\left(\zeta,\bar{\zeta}\right) = \frac{1-\zeta\bar{\zeta}}{1+\zeta\bar{\zeta}}$$

$$a_{J}\left(\zeta,\bar{\zeta}\right) = \frac{\zeta+\bar{\zeta}}{1+\zeta\bar{\zeta}}$$

$$a_{K}\left(\zeta,\bar{\zeta}\right) = i\frac{\zeta-\bar{\zeta}}{1+\zeta\bar{\zeta}}.$$

Pour chaque  $\zeta$  c'est une structure presque-complexe intégrable sur M. On lui associe la forme fondamentale  $\omega_{\zeta}=g(I_{\zeta_{-}},\underline{\ })$  qui munit  $(M,I_{\zeta})$  d'une structure kählérienne. On note  $X_{\zeta}$  la variété kählérienne  $(M,I_{\zeta},\omega_{\zeta})$  de dimension 2n. Et  $X_{0}$  pour  $(M,I,\omega_{I})$ .

#### 2.3Structures symplectiques holomorphes

La 2 -forme

$$\sigma = \sigma_I := \omega_I + i\omega_K \tag{2.3.1}$$

est une forme symplectique holomorphe de type (2,0) sur  $X_0$ . Et, de même

$$\sigma_{\zeta} = \sigma + 2\zeta\omega_{I} - \zeta^{2}\bar{\sigma} \tag{2.3.2}$$

est une forme symplectique holomorphe de type (2,0) sur  $X_{\zeta}$  [HKLR87, (3.87) p.556].

#### 2.4Espace des twisteurs

On munit la variété différentielle  $Z=M\times\mathbb{S}^2$  d'une structure presque complexe

$$\mathbb{I}_{m,\zeta} = ((I_{\zeta})_m, (I_{\mathbb{P}^1})_{\zeta}) \tag{2.4.1}$$

qui met en famille les structures complexes  $I_{\zeta}$  sur M. On notera f resp.  $\pi$  les projections de Z sur  $\mathbb{P}^{1}$ , resp. M.

D'après [HKLR87, 3.(F), p.555], l'espace  $(Z, \mathbb{I})$  est une variété complexe de dimension 2n+1et  $f: Z \to \mathbb{P}^1$  est holomorphe. Dans leur preuve, l'intégrabilité de la structure presque-complexe I découle immédiatement du caractère kählérien des structures complexes, mais c'est en fait un résultat plus général propre aux variétés 3-holomorphes (ou hypercomplexes), voir par exemple [Kal98].

$$Z \xrightarrow{f} \mathbb{P}^{1}$$

$$\vdots \\ \pi$$

$$M$$

FIGURE  $2.1 - \pi$  n'est pas holomorphe.

#### 2.4.1 Le fibré tangent horizontal

Considérons le fibré  $T_f$  défini par la suite exacte

$$0 \to T_f \longrightarrow T_Z \xrightarrow{f_*} f^* T_{\mathbb{P}^1} \to 0 \tag{2.4.2}$$

on peut alternativement le voir comme le sous-fibré réel du fibré tangent à Z, ou par l'identification usuelle comme le sous-fibré complexe du fibré tangent holomorphe  $T_Z^{1,0}$ . C'est un fibré holomorphe sur Z; on l'appellera le tangent horizontal de Z. D'autre part, comme  $Z = M \times \mathbb{S}^2$  du point de vue  $\mathcal{C}^{\infty}$ , alors  $T_f \simeq \pi^* T_M$  en tant que fibrés vectoriels différentiels.

du point de vue  $\mathcal{C}^{\infty}$ , alors  $T_f \simeq \pi^* T_M$  en tant que fibrés vectoriels différentiels. Considérons la fibre  $f^{-1}(\zeta) \subseteq Z$ . Alors, par construction  $T_f|_{f^{-1}(\zeta)}$  est isomorphe (via  $\pi_*$ ) à  $T_{X_{\zeta}} = T_{\zeta}^{1,0}$  en tant que fibré vectoriel holomorphe.

#### 2.4.2 Les droites twistorielles

Les sous-espaces  $L_m = \pi^{-1}(m) = \{m\} \times \mathbb{P}^1$  de Z sont des sous-variétés holomorphes (isomorphes à  $\mathbb{P}^1$ ). On les appelles droites twistorielles.

#### 2.4.3 Les droites

Dans la suite, on appelera droite toute courbe  $L_s \subseteq Z$  image d'une section holomorphe s de f. Les droites twistorielles sont des droites pour lesquelles s est de la forme  $\zeta \mapsto (m, \zeta)$  où  $m \in M$  est fixé.

Soit  $L_s \subseteq Z$  une droite, alors  $T_f$  restreint à  $L_s$  s'identifie avec le fibré normal de  $L_s$  dans Z. Ceci découle du fait que f restreinte à  $L_s$  induit un isomorphisme  $L_s \simeq \mathbb{P}^1$ , dont la différentielle identifie  $T_{L_s}$  et  $f^*T_{\mathbb{P}^1}$  et donc un scindage de (2.4.2) en restriction à  $L_s$ . Ainsi

$$N_{L_s/Z} \cong T_f|_{L_s} \tag{2.4.3}$$

ou dualement

$$N_{L_s/Z}^* \cong T_f^*|_{L_s}.$$
 (2.4.4)

L'isomorphisme (2.4.3) se construit comme suit : À une classe  $[w] \in N_{L_s/Z}$  de vecteurs tangents à Z modulo les vecteurs tangents à  $L_s$ , on associe le vecteur

$$v := w - s_* f_* w \in T_Z.$$

On vérifie que

- le vecteur v ne dépend pas du choix du représentant  $w \in T_Z$  de [w],
- comme s est une section,  $f_*v = f_*w (f \circ s)_*f_*w = f_*w f_*w = 0$  et donc  $v \in T_f$ . L'isomorphisme réciproque est donné par la composition  $T_f|_{L_s} \to T_Z|_{L_s} \to N_{L_s/Z}$ .

#### 2.4.4 Déformations et obstructions

Enfin Hitchin et al. dans [HKLR87, 3.(F) p.555] démontrent que le fibré normal d'une droite twistorielle est une somme de  $\mathcal{O}(1)$ . L'argument principal est basé sur la relation algébrique suivante

$$\forall \zeta \in \mathbb{P}^1, \quad (1+iI_{\zeta})(1+\zeta K)(1-iI)=0$$

On rappelle que  $\frac{1}{2}(1-iJ)$  est la projection sur la partie de type (1,0) pour une structure complexe J. Ainsi la relation ci-dessus peut s'interpréter comme le fait que  $(1+\zeta K)$  envoie les vecteurs de

type (1,0) pour I sur des vecteurs de type (1,0) pour  $I_{\zeta}$ . Dès lors on peut, à partir de tenseurs I-holomorphes, obtenir des tenseurs  $I_{\zeta}$ -holomorphes en multipliant le bon nombre de fois par  $(1+\zeta K)$ . Mais sur  $\mathbb{P}^1$  tout entier, le tenseur obtenu va se comporter comme une section de  $\mathcal{O}(k)$ . Par exemple, pour le fibré normal d'une droite twistorielle, il s'identifie sur la tranche  $\zeta=0$   $(I_{\zeta}=I)$  avec le fibré tangent holomorphe à  $X_0$ . Ainsi étant donné un vecteur v de type (1,0) pour I, la famille des  $(1+\zeta K)v$  est une section holomorphe sur la droite twistorielle de son fibré normal dans Z.

En conséquence, le groupe  $H^1(L, N_{L/Z})$  est nul et donc par [Kod62] toute section du fibré normal peut être intégrée en une famille de déformations de L dans Z. Plus précisément la preuve de Kodaira s'adapte (cf [Des05]) pour donner le résultat suivant.

#### Proposition 2.4.1

Soit  $L_0$  une droite twistorielle,  $z_0 \in L_0$  et  $\zeta \in \mathbb{P}^1$  tel que  $\zeta \neq f(z_0)$ . On pose  $y_0$  le point de  $L_0 \cap X_{\zeta}$ .

Il existe U voisinage de  $y_0$  dans  $X_{\zeta}$  tel que pour tout  $y \in U$ , il existe une famille  $(L_t)_t$  de déformations de  $L_0$  passant par  $z_0$ , paramétrée par  $\Delta$  telle que  $L_{\frac{1}{2}}$  passe par y.

Un résultat similaire (version infinitésimale) est vrai en spécifiant un vecteur horizontal tangent en  $y_0$  à  $X_{\zeta}$  au lieu d'un point y. Ces propriétés seront interprétées plus loin 3.2.4.

## Chapitre 3

# Espace des cycles et famille universelle

Not all those who wander are lost.

— The Fellowship of the Ring, J.R.R. Tolkien

Dans ce chapitre, on définit l'ouvert C de l'espace des 1-cycles de Z et on étudie la famille universelle de la correspondance

point de 
$$C \longmapsto \text{droite de } Z$$

L'espace total W de cette famille universelle est central dans le reste de ce document. On dégagera ici sa structure de produit (proposition 3.2.1) pour établir un lien (3.3.5) entre la fibration complexe  $Z \to \mathbb{P}^1$  et la géométrie de l'espace des cycles. Ces résultats seront utilisés aux chapitres 4, 6 et 7.

### 3.1 Espace des cycles

On notera  $\operatorname{Cycles}_1(Z)$  l'espace des 1-cycles de Z tel que construit dans [Bar99, Bar75] et  $\operatorname{Cycles}_1^{\circ}(Z)$  la composante irréductible de l'espace des cycles contenant les droites twistorielles. Soit L est un 1-cycle de Z tel que la restriction de f à L induise un isomorphisme  $L \to \mathbb{P}^1$ , alors il existe une unique section s de la fibration  $Z \to \mathbb{P}^1$  dont l'image est L. Réciproquement toute section de f donne un élément de  $\operatorname{Cycles}_1(Z)$ .

On notera  $\operatorname{Sec}(f)$  l'espace des sections de f dont les images sont dans  $\operatorname{Cycles}_1^\circ(Z)$ . C'est un ouvert, il hérite donc d'une structure d'espace analytique génériquement lisse donc réduit. L'espace  $\operatorname{Sec}(f)$  et même  $\operatorname{Cycles}_1^\circ(Z)$  ne sont pas compacts (dans le cas hyperkählérien) d'après un résultat de Campana [Cam91]. On notera que les droites twistorielles sont des sections, de même que toute déformation suffisamment petite d'une droite twistorielle. Par la remarque précédente sur les déformations de droites twistorielles dans Z, on en déduit que l'espace  $\operatorname{Sec}(f)$  est lisse de dimension complexe  $h^0(L,N)=4n$  au voisinage d'une droite twistorielle.

Dans la suite C désignera un ouvert de Sec(f) qui paramétrera les sections de f suffisamment  $^1$  proches des droites twistorielles (et contenant en particulier toutes les droites twistorielles).

La variété M s'identifie naturellement à un sous-espace fermé de C par l'association  $m \mapsto L_m$  qui à un point associe la droite twistorielle au dessus de ce point. Cependant M n'hérite pas d'une structure de sous-variété complexe. On notera i cette inclusion.

$$M \overset{i}\hookrightarrow C \overset{\text{ouvert}}\hookrightarrow \operatorname{Sec}(f) \overset{\text{ouvert}}\hookrightarrow \operatorname{Cycles}_1^\circ(Z) \overset{\text{comp. connexe}}\hookrightarrow \operatorname{Cycles}_1(Z).$$

La variété M est en fait le lieu fixe d'une structure réelle sur C (involution anti-holomorphe), en particulier c'est une sous-variété totalement réelle. Cette inclusion sera étudiée plus en détail au paragraphe 4.5.

#### 3.1.1 Section normale

On sait d'après 2.4.4 que le fibré normal d'une droite twistorielle  $L \subseteq Z$  est une somme de  $\mathcal{O}(1)$ . Or cette propriété est ouverte dans l'espace des cycles. En effet, le fibré normal d'une droite twistorielle est ample et l'amplitude est une condition ouverte. Si on décompose le fibré sur la droite projective  $L_s$  en une somme de  $\mathcal{O}(a_i)$ , on a donc génériquement : tous les  $a_i > 0$ . De plus, par platitude, le degré  $\sum a_i$  est constant donc nécessairement  $a_i = 1$  pour tout i.

On va donc supposer dans la suite, quitte à restreindre C, que pour tout  $s \in C$ 

$$N_{L_s/Z} \cong \mathbb{C}^{2n} \otimes \mathcal{O}(1)$$
 (3.1.1)

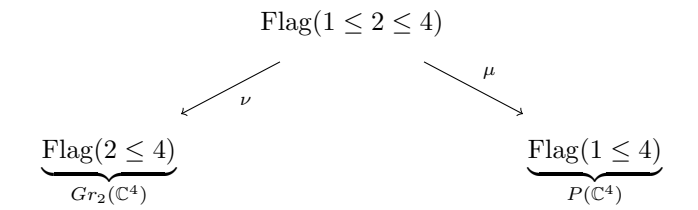
## 3.2 Famille universelle et correspondance twistorielle

### 3.2.1 Correspondance twistorielle

Le cas classique

On note Flag $(a_1 \leq a_2 \leq \cdots \leq a_n)$  la variété des drapeaux de  $\mathbb{C}^{a_n}$  qui paramètre les chaînes  $V_1 \subseteq V_2 \subseteq \cdots V_{n-1} \subseteq \mathbb{C}^{a_n}$  de sous-espaces vectoriels tels que pour tout i,  $\dim(V_i) = a_i$ . On a une correspondance naturelle entre les variétés de drapeaux de  $\mathbb{C}^4$ 

<sup>1.</sup> On précisera progressivement dans le document les restrictions imposées sur C: 3.1.1 (non dégénerescence du normal des droites), et les hypothèses 3.4.1 (hypothèse cohomologique sur les fibres de  $\mu$ ), 7.1.2 (caractère Stein), et éventuellement 8.4.1 (rétraction sur M).



où les application sont donnés par l'oubli respectif de la droite contenue dans le 2-plan et du 2-plan contenant la droite. Ici l'espace qui joue le rôle de C est la grassmanienne des 2-plans  $Gr_2(\mathbb{C}^4)$  qui peut être vu comme une complexification de la sphère  $\mathbb{S}^4 \simeq \mathbb{P}^1_{\mathbb{H}}$ . De gauche à droite, la correspondance associe à un 2-plan  $E \subseteq \mathbb{C}^4$ , l'ensemble  $\mu(\nu^{-1}(E)) \simeq P(E)$  des droites de E. Mais comme E est de dimension 2, c'est une droite projective complexe dans  $P^3$ . Ainsi on associe à un point de  $Gr_2(\mathbb{C}^4)$  une droite dans  $P^3$ 

Ce modèle jouet diffère beaucoup du cas hyperkählérien général (voir la section suivante 3.2.1), notamment sur deux points :

- L'espace qui joue le rôle de l'espace des twisteurs est projectif  $(P^3)$  et l'espace qui joue le rôle de C est compact  $(Gr_2(\mathbb{C}^4))$ .
- La correspondance réciproque est simple : À un point  $z \in P^3$  correspond une droite V de  $\mathbb{C}^4$ . On peut alors considérer l'ensemble des 2-plans de  $\mathbb{C}^4$  contenant cette droite. C'est l'ensemble  $\nu(\mu^{-1}(z))$  qui s'identifie à l'ensemble des droites de  $\mathbb{C}^4/V \cong \mathbb{C}^3$ . C'est donc un plan projectif complexe dans  $Gr_2(\mathbb{C}^4)$ .

Un compte rendu plus complet de cette correspondance twistorielle dans le cas de la grassmanienne des 2-plans de  $\mathbb{C}^4$  peut être trouvé dans [WW91].

#### Le cas des variétés de dimension 4 anti-auto-duales

La construction de l'espace des twisteurs d'une variété riemannienne est possible en toute généralité. C'est toujours une variété différentielle Z munie d'une fibration  $Z \to M$  dont les fibres sont des sphères et possèdent naturellement une structure de droite projective complexe. Cependant la structure presque complexe naturelle sur Z n'est intégrable que si la partie autoduale du tenseur de Weil de M s'annule. C'est le cas en particulier si la variété est à courbure scalaire nulle [Bes87].

#### Le cas hyperkählérien

Dans notre cas, à un point s de C correspond (par définition) une courbe complexe  $L_s$  (isomorphe à  $\mathbb{P}^1$ ) dans Z et réciproquement à une courbe L dans Z, correspond  $^2$  un point de C. D'autre part à un point z de Z, on peut associer l'ensemble des droites (sections) passant par z; on notera C(z) cet ensemble. Son équation dans C est donnée par  $(s \circ f)(z) = z$ , il est donc de dimension complexe 2n.

Cette correspondance peut être mise en famille en considérant l'espace universel des couples (section, point de l'image de cette section)

$$W = \{(s,z) \in C \times Z \mid s(f(z)) = z\}$$

Cet espace hérite de deux applications de projections  $\nu: W \to C$  et  $\mu: W \to Z$ .

#### 3.2.2 Notations

On résume les notations introduites précédemment dans le diagramme (non-commutatif) ci-dessous

<sup>2.</sup> Sous l'hypothèse qu'il existe une famille  $(L_t)_{0 \le t < 1}$  de déformations d'une droite twistorielle  $L_0$  dans Z et  $\varepsilon << 1$  telle que  $L = L_{\varepsilon}$ .

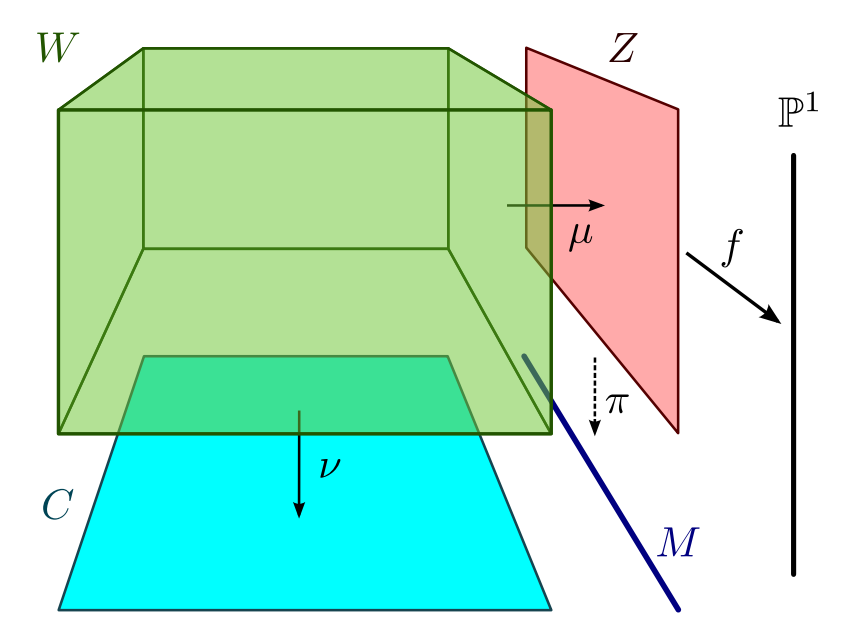
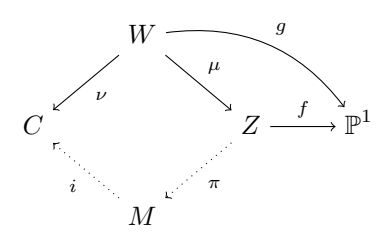


FIGURE 3.1 – Représentation des espaces considérés. On rappelle que si M est de dimension réelle 4n, alors Z, W et C sont de dimensions complexes respectives 2n + 1, 4n + 1 et 4n.



Les flèches en pointillés sont les applications qui ne sont pas holomorphes.

On notera de manière générale

- $\zeta$  un élément de  $\mathbb{P}^1$ ,
- s un élément de C (section de f),
- x une section réelle de f, (élément de  $i(M) \subseteq C$ ),
- m un élément de M vu comme but de  $\pi: Z \to M$ ,
- $\bullet \ z$  un élément de Z vu comme variété complexe,
- $(m,\zeta)$  un élément de Z vu comme le produit  $M\times\mathbb{P}^1$ .
- (s,z) ou plus simplement  $(s,\zeta)$  un élément de W (cf. 3.2.3 pour la justification). On notera  $\mathcal{O}(k)$  pour les images inverses (géométriques) de  $\mathcal{O}_{\mathbb{P}^1}(k)$  sur Z et W, et B(k) pour  $B\otimes_{\mathbb{C}}\mathcal{O}(k)$  en tant que fibré.

#### 3.2.3 Structure produit

#### Proposition 3.2.1

Les applications holomorphes  $\nu:W\to C$  et  $g=f\circ \mu:W\to \mathbb{P}^1$  identifient l'espace tautologique W à la variété produit  $C\times \mathbb{P}^1$ .

On considère l'application  $\nu \times g: W \to C \times \mathbb{P}^1$ , elle est donnée par  $(s,z) \mapsto (s,f(z))$ . Sa réciproque est donnée par l'application  $\phi: C \times \mathbb{P}^1 \to C \times Z$  telle que  $(s,\zeta) \mapsto (s,s(\zeta))$ . Il suffit de vérifier - d'une part que  $f(s(\zeta)) = \zeta$ , mais c'est exactement dire que s est une section de f,

• et d'autre part que s(f(z)) = z si  $(s, z) \in W$ , mais c'est la définition de W. Ainsi on a bien démontré que W est un produit.

Si l'on fixe  $s \in C$ , alors  $\nu^{-1}(s)$  s'identifie par  $\mu$  à l'ensemble des  $z \in Z$  tels que s(f(z)) = z c'est-à-dire l'image de la section s dans Z. En ce sens, W est un désenchevêtrement des droites dans Z.

#### 3.2.4 Retour sur les déformations et obstuctions

La propriété suivante décrit le tangent à l'espace des cycles :

#### Proposition 3.2.2

Soit 
$$s \in C$$
 alors 
$$T_{C,s} \simeq H^0(L_s, N_{L_s/Z}) \tag{3.2.1}$$

En effet étant donné une section de  $H^0(L_s, N)$  il existe par Kodaira une famille  $(L_t)_t$  de déformations de  $L_s$  paramétré par un petit disque  $\Delta$ . Par propriété universelle de l'espace des cycles, cet ensemble de paramètres  $\Delta$  s'envoie dans C et définit en particulier un vecteur tangent à s dans C.

Dans l'autre sens, un vecteur tangent à C en s est obtenu par un germe  $(s_t)_t$  en s. Les sections  $L_t$  donnent par passage à la limite quand  $t \to 0$  une section du fibré normal à  $L_s$ . Les deux constructions sont réciproques l'une de l'autre.

En fait l'identification (3.2.1) est un résultat plus général : L'espace des cycles est lisse en s sous l'hypothèse  $H^1(L_s, N_{L_s}) = 0$ , il s'identifie  $^3$  donc à l'espace de Douady ( $\mathcal{D}$ ), or (voir par exemple [CP94, Prop 1.7])

$$T_{[Y]}\mathcal{D} \simeq \operatorname{Hom}_{\mathcal{O}_Z} \left( J_Y / J_Y^2, \mathcal{O}_Z \right) \simeq H^0(Y, N_{Y/Z})$$

## 3.3 Étude de l'application d'évaluation $\mu$

L'application  $\mu$  est définie par  $\mu(s,z)=z$ , pour  $(s,z)\in W$ , c'est-à-dire satisfaisant s(f(z))=z. C'est l'évaluation de la section  $s\in C$  au point  $\zeta\in\mathbb{P}^1$ : en notant  $(s,\zeta)\in W\simeq C\times\mathbb{P}^1$ , l'application  $\mu$  est donnée par

$$(s,\zeta)\mapsto s(\zeta).$$

À  $s \in C$  fixé, on note  $P_s = \nu^{-1}(s) \simeq \mathbb{P}^1$  la droite correspondant à s dans W. Alors  $\mu$  réalise le plongement de la courbe abstraite  $P_s$  dans  $L_s \subseteq Z$ .

On peut étudier le fibré tangent à W. En particulier le vecteur

$$v + Y \in (T_{C \times Z})_{(s,z)} \simeq T_{C,s} \oplus T_{Z,z} \simeq H^0(L_s, N_{L_s/Z}) \oplus T_{Z,z}$$

est tangent à W en (s, z) si

$$v(f(z)) + s_* f_* Y = Y$$

ou encore plus rigoureusement

$$v(f(z)) = [(1 - s_* f_*)Y]_N$$
.

Cette égalité a lieu dans  $N_{L_s/Z}$  et nous dit simplement que Y est un représentant dans  $T_{Z,z}$  de  $v(f(z)) \in (N_{L_s/Z})_z$ .

Enfin étant donné un tel couple v+Y donnant un vecteur tangent à W, on peut tout simplement écrire la différentielle de  $\mu$  comme

$$\mu_*(v+Y) = Y.$$

On a ainsi la propriété suivante

#### Proposition 3.3.1

L'application  $\mu: W \to Z$  est une submersion.

<sup>3.</sup> via le morphisme de Douady-Barlet analogue analytique du morphisme de Hilbert-Chow

En effet, étant donné  $Y \in T_{Z,z}$ , on peut écrire  $z = (m,\zeta)$  et considérer la droite twistorielle  $L = L_m$  passant par z. On notera x = [L] l'élément correspondant dans C. Considérons alors [Y] la classe de Y dans  $N_{L/Z}$  au point z. Soit v une section du fibré normal de L passant par [Y] en z. Une telle section existe car  $N_{L/Z}$  est une somme de  $\mathcal{O}(1)$ . Ainsi v nous donne un vecteur de  $(T_C)_x$ . On a bien  $v(\zeta) = [Y] = [(1 - s_* f_*)Y]$  donc v + Y est un vecteur tangent à W en (x, z); de plus

$$\mu_*(v+Y) = Y$$

d'où la surjectivité de la différentielle.

Enfin l'application  $\mu$  n'est pas propre. Cela semble provenir du choix de prendre C comme un ouvert arbitrairement petit de l'espace des cycles, mais en fait, la composante de l'espace des cycles contenant les droites twistorielles n'est jamais compacte. En effet Campana [Cam92] a montré qu'il existe un point z de Z, tel que l'ensemble des droites passant par z (la fibre de  $\mu$  en z) dégénère en une courbe entière horizontale.

On étudiera la topologie de ces fibres à la section 3.4.

#### 3.3.1 Conséquence fondamentale de la structure produit

La décomposition  $W \simeq C \times \mathbb{P}^1$  induit une décomposition des faisceaux de 1-formes.

$$\Omega_W^1 \simeq \nu^* \Omega_C^1 \oplus g^* \Omega_{\mathbb{P}^1}^1 \tag{3.3.1}$$

$$\Omega_g^1 = \Omega_{W/\mathbb{P}^1}^1 \simeq \nu^* \Omega_C^1 \tag{3.3.2}$$

ou encore en terme de fibrés,

$$\Lambda_W \simeq \nu^* \Lambda_C \oplus g^* \Lambda_{\mathbb{P}^1} \tag{3.3.3}$$

$$\Lambda_g = \Lambda_{W/\mathbb{P}^1} \simeq \nu^* \Lambda_C \tag{3.3.4}$$

En conséquence de (3.3.2), on peut exprimer la suite exacte relative (à  $\mathbb{P}^1$ ) qui définit  $\Omega^1_{\mu}$ : Cela revient à simplifier

$$0 \to \mu^* \Omega^1_Z \xrightarrow{\mu^*} \Omega^1_W \to \Omega^1_\mu \to 0$$

par  $\Omega_{\mathbb{P}^1}$ .

#### Proposition 3.3.2

La suite de faisceaux

$$0 \to \mu^* \Omega_f^1 \to \nu^* \Omega_C^1 \to \Omega_\mu^1 \to 0 \tag{3.3.5}$$

est exacte sur W.

Cette suite exacte est l'outil central des réflexions qui suivent, elle relie la géométrie holomorphe de C avec

- d'une part, la géométrie relative de  $\mathbb{Z}/\mathbb{P}^1$  (ie la géométrie hyperkählérienne de M),
- $\bullet\,$  et d'autre part, la géométrie des arrangements des droites dans Z encodée par  $\mu.$

L'injectivité à gauche, provient du fait que  $\mu$  est une submersion (proposition 3.3.1).

#### 3.3.2 Intégration des formes relatives le long des droites

Comme  $\nu$  est propre à fibres connexes, la formule de la projection donne

$$\nu_* \nu^* \Omega_C^1 = \Omega_C^1 \otimes \nu_* \nu^* \mathcal{O}_C \simeq \Omega_C^1.$$

Ainsi, la suite (3.3.5) se pousse en avant par  $\nu$  pour donner

$$0 \to \nu_* \mu^* \Omega_f^1 \to \Omega_C^1 \to \nu_* \Omega_\mu^1 \to \mathcal{R}^1 \nu_* \mu^* \Omega_f^1 \to \cdots$$
 (3.3.6)

Soit  $s \in C$ , on sait que  $\mu$  réalise un isomorphisme de  $\nu^{-1}(s)$  sur  $L_s$ . De plus le faisceau  $\Omega^1_f \otimes \mathcal{O}_{L_s}$  sur  $L_s$  s'identifie au faisceau conormal de  $L_s$  dans Z (2.4.4) et d'après (3.1.1) :  $N^*_{L_s/Z} \cong \mathcal{O}(-1) \otimes \mathbb{C}^{2n}$ .

Enfin  $\nu$  est propre et plate et C est réduite donc d'après la formule de changement de base comme

$$H^k(\nu^{-1}(s),\mu^*\Omega^1_f\otimes\mathcal{O}_{\nu^{-1}(s)})\cong H^k(L_s,\Omega^1_f\otimes\mathcal{O}_{L_s})\cong H^k(\mathbb{P}^1,\mathcal{O}(-1)\otimes\mathbb{C}^{2n})=0$$

est de dimension constante par rapport à s. On en déduit que  $\mathcal{R}^k \nu_* \mu^* \Omega_f^1$  est un fibré vectoriel holomorphe sur C et sa fibre en s est

$$H^k(L_s, \Omega^1_f \otimes \mathcal{O}_{L_s}) = 0$$

et donc finalement

$$H^{0}\left(\nu^{-1}(s), \mu^{*}\Omega_{f}^{1} \otimes \mathcal{O}_{\nu^{-1}(s)}\right) = 0$$
  
$$H^{1}\left(\nu^{-1}(s), \mu^{*}\Omega_{f}^{1} \otimes \mathcal{O}_{\nu^{-1}(s)}\right) = 0$$

d'où  $\nu_*\mu^*\Omega^1_f=0$  et  $\mathcal{R}^1\,\nu_*\mu^*\Omega^1_f=0.$ 

En regroupant les résultats obtenus dans la suite exacte longue sur C (3.3.6) on obtient

#### Proposition 3.3.3

$$\nu_* \Omega^1_\mu \cong \Omega^1_C. \tag{3.3.7}$$

Une relation similaire a été établie par Buchdahl dans [Buc85, II. 2.2], dans le cas des variétés de drapeaux. Elle permettra de construire des objets de géométrie différentielle sur C qui encoderont les arrangements des droites dans Z.

#### 3.3.3 Le tangent à C

Le dual de (3.3.5) nous donne

$$0 \to T_{\mu} \longrightarrow \nu^* T_C \xrightarrow{\mu_*} \mu^* T_f \to 0 \tag{3.3.8}$$

C'est le quotient de la suite exacte qui définit le tangent relatif  $T_{\mu}$  sur W

$$0 \to T_{\mu} \longrightarrow T_{W} \xrightarrow{\mu_{*}} \mu^{*}T_{Z} \to 0$$

modulo  $g^*T_{\mathbb{P}^1}$ . La surjectivité signifie que tout champs de vecteur horizontal dans Z provient localement d'un champs de vecteur sur C définissant des familles de déformations de droites de Z. Or par la formule de la projection, on a  $\nu_*\mathcal{O}_W(\nu^*T_C) \simeq \mathcal{O}_C(T_C)$ . De plus le fibré  $\mu^*T_f$  vérifie

$$h^{0}(\nu^{-1}(s), \mathcal{O}_{\nu^{-1}(s)}(\mu^{*}T_{f})) = h^{0}(\mathbb{P}^{1}, \mathbb{C}^{2n}(1)) = 4n$$

et donc ne dépend pas de s, ainsi de nouveau par la formule de changement de base en cohomologie, on sait que  $\nu_* \mathcal{O}_W(\mu^* T_f)$  est un fibré vectoriel holomorphe sur C que l'on notera  $\nu_* \mu^* T_f$ . Ainsi la suite (3.3.8) se pousse en avant en

$$0 \rightarrow \nu_* T_\mu \rightarrow T_C \rightarrow \nu_* \mu^* T_f \rightarrow \mathcal{R}^1 \, \nu_* T_\mu \rightarrow \mathcal{R}^1 \, \nu_* \nu^* T_C$$

en faisant l'abus de notation où E désigne à la fois le fibré E et le faisceau  $\mathcal{O}_W(E)$ .

L'application  $T_C \to \nu_* \mu^* T_f$  donne sur les fibres

$$T_{C,s} \to H^0(\nu^{-1}(s), \mathcal{O}_{\nu^{-1}(s)}(\mu^*T_f)) \simeq H^0(L_s, N_{L_s/Z})$$

qui est l'isomorphisme (3.2.1). Finalement on en déduit

$$T_C \simeq \nu_* \mu^* T_f \tag{3.3.9}$$

$$\nu_* T_\mu = 0 \tag{3.3.10}$$

De plus le terme suivant dans la suite exacte image est  $\mathcal{R}^1 \nu_* \nu^* T_C = 0$  donc

$$\mathcal{R}^1 \nu_* T_\mu = 0 \tag{3.3.11}$$

On peut comprendre l'isomorphisme (3.3.9) comme une mise en famille de (2.4.3) pour  $s \in C$ . Cette interprétation sera utile par la suite (sec. 8).

### 3.4 Topologie des fibres de $\mu$

Dans cette section, on s'intéresse à la topologie des fibres de  $\mu$  c'est-à-dire des  $\mu^{-1}(z) \simeq C(z) = \{s \in C \mid z \in L_s\}$  pour  $z \in Z$ . Il s'agit de l'ensemble des droites de Z paramétrées par C passant par un point z. Cet espace est compliqué. Dans le cas où l'on considère toutes les droites de Z paramétrées par Cycles<sub>1</sub>°(Z), il joue un rôle important dans la preuve de non-compacité de Campana [Cam91, Cam92].

La connexité semble le résultat le plus difficile a obtenir. Il nécessite par exemple de prouver un résultat du type "axiome d'Euclide" : par deux points de Z passe une unique droite.

Cette propriété que les droites (projectives complexes suffisamment verticales) de Z se comportent comme des droites classiques dans un espace euclidien est utilisée de façon fondamentale par Penrose [Pen76]. Elle permet, dans son cas, d'expliciter le transport parallèle et d'autres données riemanniennes sur C.

#### 3.4.1 Hypothèse de trivialité cohomologique des fibres

Dans la suite on supposera ce résultat plus fort sur la topologie des fibres : pour tout  $z \in \mathbb{Z}$ ,

$$H^{k}(C(z), \mathbb{C}) = \begin{cases} 0 & k > 0 \\ \mathbb{C} & k = 0. \end{cases}$$

$$(3.4.1)$$

Cette hypothèse n'est pas si forte si on se permet de restreindre C. En effet, on peut facilement restreindre C pour qu'une fibre C(z) s'identifie à un polydisque dans  $\mathbb{C}^{2n}$ . On conjecture que dans le cas où M est compacte, on peut faire cette restriction simultanément sur tout les points de Z.

#### 3.4.2 Corollaire

La proposition 1.2.1 nous donne alors grâce à l'hypothèse 3.4.1 le résultat suivant.

#### Proposition 3.4.1

Soit B un fibré vectoriel holomorphe sur Z. Si (Z,C) satisfait la propriété d'Euclide, alors pour tout  $k \geq 0$ ,

$$H^k(Z,B) \simeq H^k(W,\mu^{-1}\mathcal{O}_Z(B))$$

Et de même pour tout ouvert  $V \subseteq Z$ ,

$$H^k(V,B) \simeq H^k(\mu^{-1}V,\mu^{-1}\mathcal{O}_Z(B))$$

Il permettra au chapitre 7 d'interpréter sur W les espaces de cohomologie de fibrés sur Z.

# Chapitre 4

# Spineurs

We have a closed circle of consistency here: the laws of physics produce complex systems, and these complex systems lead to consciousness, which then produces mathematics, which can then encode in a succinct and inspiring way the very underlying laws of physics that gave rise to it.

— The Road to Reality, Sir Roger Penrose Dans l'étude des 4-variétés riemanniennes le groupe SO(4) et son revêtement universel Spin(4) jouent un rôle prépondérant. L'isomorphisme exceptionnel <sup>1</sup>

$$Spin(4) \cong SU(2) \times SU(2)$$

sous certaines conditions sur M (propriété spin) entraı̂ne l'existence de fibrés spinoriels; permettant par exemple d'écrire

$$T_M \otimes \mathbb{C} \simeq V_+ \otimes V_- \tag{4.0.1}$$

ou de décomposer certain fibrés de formes différentielles en somme de représentations irréductibles

$$\Lambda_M^2 \simeq \Lambda_+^2 \oplus \Lambda_-^2 \tag{4.0.2}$$

On pourra se référer à [Sal83, LM16, Bes87].

Sous certains aspects [GHJ03], les variétés hyperkählériennes (compactes) de toutes dimensions ressemblent beaucoup aux surfaces kählériennes compactes (donc variétés riemanniennes de dimension 4). Cette analogie a plusieurs avatars (forme de Beauville-Bogomolov, théorème de Torelli, rôle central des surfaces K3 dans l'étude des variétés hyperkählériennes). Nous allons établir l'existence d'une décomposition (voir plus loin (4.2.1), paragraphe 4.2) généralisant (4.0.1) qui peut être interprétée dans cette philosophie.

### 4.1 Les fibrés $V_+$ et $V_-$

On définit les faisceaux suivants sur C

$$\mathcal{V}_{+} := \nu_{*} \mu^{*} f^{*} \mathcal{O}_{\mathbb{P}^{1}}(1) 
= \nu_{*} q^{*} \mathcal{O}_{\mathbb{P}^{1}}(1)$$
(4.1.1)

$$\mathcal{V}_{-} := \nu_* \mu^* \left( \mathcal{O}_Z(T_f) \otimes_{\mathcal{O}_Z} f^* \mathcal{O}_{\mathbb{P}^1}(-1) \right) \tag{4.1.2}$$

$$= \nu_* \mathcal{O}_W(\mu^* T_f(-1)). \tag{4.1.3}$$

Alors d'après la formule de changement de base,  $\mathcal{V}_+$  et  $\mathcal{V}_-$  sont des  $\mathcal{O}_C$ -modules localement libres. Ils sont donc associés à des fibrés vectoriels holomorphes sur C que l'on notera respectivement  $V_+$  et  $V_-$ . De plus comme  $\mu^*T_f(-1)$  est un fibré trivial sur les fibres de  $\nu$  (cf. 2.4.3 et 3.1.1), on en déduit que  $V_-$  est de rang  $2n = \dim(\nu^{-1}(s), \mu^*T_f(-1))$  et que l'on a

$$\nu^* V_- \simeq \mu^* T_f(-1). \tag{4.1.4}$$

Une autre façon de le voir est de remarquer que l'application naturelle d'évaluation (co-unité)

$$\mathcal{O}_W(\nu^*V_-) \simeq \nu^*\nu_*\mu^* \, \mathcal{O}_Z(T_f(-1)) \to \mu^* \, \mathcal{O}_Z(T_f(-1))$$

induit un isomorphisme sur chaque tige. C'est donc un isomorphisme de fibré. On peut le réécrire sous la forme

$$\nu^* V_-(1) \simeq \mu^* T_f. \tag{4.1.5}$$

Dans les notations de [EPW81] on a  $V_+ = \mathcal{O}^{A'}$  et  $V_- = \mathcal{O}^A$ .

#### 4.1.1 Quotients de rang 1 de $V_{+}$

La définition de  $V_{+}$  (4.1.1) avec la connaissance de la structure produit

$$\nu \times q: W \xrightarrow{\sim} C \times \mathbb{P}^1$$

entraîne immédiatement que le fibré  $V_+$  est trivial sur C de fibre  $\mathbb{C}^2 = H^0(\mathbb{P}^1, \mathcal{O}(1))$ . On en déduit l'isomorphisme de fibrés en droites projectives sur C

$$\mathbb{P}\left(V_{+}\right) \simeq W. \tag{4.1.6}$$

En tout point s de C, un quotient de rang 1 de  $(V_+)_s$  est la donnée d'un point de  $\mathbb{P}((V_+)_s)$ . Or comme  $V_+$  est trivial tous ces espaces s'identifient au même  $\mathbb{P}^1$ . Un point de  $\mathbb{P}(V_+)$  est donc un couple formé d'une section s et d'un quotient de rang 1 de  $(V_+)_s$ , c'est donc un élément de  $C \times \mathbb{P}^1 \simeq W$ . Et on vérifie qu'alors le fibré universel  $\mathcal{O}_{\mathbb{P}V_+}(1)$  associé à cet espace projectif sur C n'est autre que  $g^* \mathcal{O}_{\mathbb{P}^1}(1)$ . On le notera simplement  $\mathcal{O}(1)$ . On tirera les conséquences de ce résultat dans le paragraphe Suite exacte d'Euler 4.3.

<sup>1.</sup> On pourra noter également que  $SU(2) \simeq Sp(1)$ 

### 4.2 Interprétation spinorielle

On peut réinterpréter l'expression de  $T_C$  (3.3.9) en termes des fibrés spinoriels

$$T_C = \nu_* \mu^* T_f$$
  
=  $\nu_* (\mu^* T_f(-1) \otimes \mathcal{O}(1))$   
=  $\nu_* (\nu^* V_- \otimes \mathcal{O}(1))$ 

et en utilisant la formule de la projection,

$$= V_{-} \otimes \nu_{*} \mathcal{O}(1)$$
$$= V_{-} \otimes V_{+}$$

Ainsi on a montré

$$T_C \simeq V_+ \otimes V_- \tag{4.2.1}$$

D'autre part, en notant  $V^+$  et  $V^-$  les fibrés duaux respectifs de  $V_+$  et  $V_-$ , on a

$$\Lambda_C^{1,0} \simeq V^+ \otimes V^- \tag{4.2.2}$$

et donc en passant à la seconde puissance extérieure, on a une décomposition

$$\Lambda_C^{2,0} \simeq \underbrace{\Lambda^2 V^- \otimes \odot^2 V^+}_{\Lambda_-^2} \oplus \underbrace{\odot^2 V^- \otimes \Lambda^2 V^+}_{\Lambda_+^2}. \tag{4.2.3}$$

Cette équation peut être interprétée comme un analogue de la décomposition (4.0.2) sur les variétés de dimension 4.

#### 4.3 Suite exacte d'Euler

On peut considérer la suite exacte d'Euler associée à l'interprétation de W comme fibré projectif sur C (4.1.6)

$$0 \to \Lambda_{\mathbb{P}(V_+)/C} \to \nu^* V_+(-1) \to \mathcal{O}_{\mathbb{P}(V_+)} \to 0 \tag{4.3.1}$$

ce qui donne après tensorisation par  $\mathcal{O}(1)$  la suite exacte sur W suivante

$$0 \to \Lambda_{W/C}(1) \to \nu^* V_+ \to \mathcal{O}(1) \to 0.$$

Or  $\Lambda_{W/C} = \Lambda_{\nu} \simeq g^* \Lambda_{\mathbb{P}^1} \simeq \mathcal{O}(-2)$ , d'où après simplification, on obtient :

$$0 \to \mathcal{O}(-1) \to \nu^* V_+ \to \mathcal{O}(1) \to 0.$$
 (4.3.2)

En tensorisant par  $\nu^*V_-$  on trouve grâce à l'expression spinorielle de  $T_C$  (4.2.1)

$$0 \to \nu^* V_-(-1) \to \nu^* T_C \to \nu^* V_-(1) \to 0$$

d'où d'après (4.1.5),

$$0 \to \mu^* T_f(-2) \to \nu^* T_C \longrightarrow \mu^* T_f \to 0. \tag{4.3.3}$$

On notera  $\hat{P}: \nu^*T_C \to \mu^*T_f$  cette dernière application. Elle associe à un vecteur v tangent à s dans C, la famille des vecteurs horizontaux  $(v_\zeta)_\zeta$  le long de  $L_s$  dans Z représentant v vu comme section de  $N_{L_s/Z}$ . Plus précisément,  $\hat{P}$  agit sur les fibres en  $(s,\zeta)$ 

$$\hat{P}_{(s,\zeta)}: H^0(L_s, N_{L_s/Z}) = (T_C)_s = (\nu^* T_C)_{(s,\zeta)} \to (\mu^* T_f)_{(s,\zeta)} = (T_f)_{s(\zeta)}$$

comme l'application d'évaluation  $H^0(L_s, N_{L_s/Z}) \to (N_{L_s/Z})_{s(\zeta)}$  composée avec l'isomorphisme (2.4.3).

Son interprétation restreinte à M est d'autant plus intuitive : Étant donné un point x de M et un vecteur v tangent à x. On peut canoniquement relever v en une famille de vecteurs horizontaux sur  $L_x = \pi^{-1}(x)$ 

$$Z \xrightarrow{f} \mathbb{P}^1$$

$$\downarrow^{\pi}$$

$$M$$

Chacun de ces vecteurs vit dans un espace tangent à  $X_{\zeta}$  et donc peut être projeté sur sa partie de type (1,0) (dans  $X_{\zeta}$ ). On se retrouve donc avec une famille de vecteurs de type  $(1,0)_{\zeta}$  pour chaque  $\zeta$ . Au vu de la structure complexe de Z c'est un champs de vecteur de type (1,0) sur Z le long de L. De plus par construction, c'est automatiquement une section du 2.4.1 qui coïncide ici avec le fibré normal à L (cf. 2.4.2)

#### 4.3.1 Lien avec la différentielle de $\mu$

On va établir un expression spinorielle du fibré  $T_{\mu}$  des vecteurs tangents aux fibres de  $\mu$ . On dispose de deux expression du fibré  $\nu^*T_C$  sur W en terme d'extensions :

- (3.3.8) comme extension de  $T_{\mu}$  par  $\mu^* T_f$
- et (4.3.3) issue de la suite exacte d'Euler.

En réunissant ces deux on trouve le diagramme suivant à lignes exactes

Pour identifier les noyaux, il suffit de vérifier que le carré de droite commute, mais pour cela il suffit de regarder sur les fibres. Sur la fibre en  $(s,\zeta)$ , l'application  $\hat{P}$  construite précédemment ne fait qu'évaluer un vecteur tangent à C (vu comme vecteur normal à L, cf (3.2.1)) en  $\zeta$  puis l'identifier à un élément du fibré tangent horizontal  $T_f$ ; d'autre part  $\mu$  est donnée par l'évalutation de s en  $\zeta$  donc sa différentielle va évaluer un vecteur tangent en s (pour être précis un vecteur tangent à  $(s,\zeta)$  relativement à  $\mathbb{P}^1$ ) au point  $\zeta$ .

On déduit de ce diagramme l'isomorphisme suivant

$$T_{\mu} \simeq \mu^* T_f(-2)$$
 (4.3.4)

ou encore

$$T_{\mu} \simeq \nu^* V_{-}(-1)$$
 (4.3.5)

qui précise les calculs d'image directe de  $T_{\mu}$  (3.3.10, 3.3.11).

#### 4.3.2 Remarque sur la naturalité

Les constructions (3.3.7) (sur l'image directe de  $\Omega_{\mu}$  par  $\nu$ ), et les expressions spinorielles (4.2.2 et 4.3.5) sont naturelles (elles ne font pas intervenir de choix de coordonnées sur C, Z ou W, ni de choix de repères sur les fibrés  $V_-, V_+, T_f$  etc...)

Le fibré  $V_+$  est trivial, de même que son dual  $V^+$ , mais il n'y a pas d'isomorphisme naturel entre les deux. On a cependant une identification naturelle

$$V^- \otimes V^+ \simeq V^- \otimes V_+. \tag{4.3.6}$$

En effet, on peut cependant déduire de (4.2.2)

$$V^- \otimes V^+ \simeq \Lambda_C$$

or d'après (3.3.7)

$$\simeq \nu_* \Lambda_{\mu}$$
  
 $\simeq \nu_* T_{\mu}^*$ 

et d'après (4.3.5)

$$\simeq \nu_* (\nu^* V_-(-1))^*$$
  
 $\simeq \nu_* (\nu^* V_-(1))$ 

par la formule de la projection

$$\simeq V^- \otimes \nu_* \mathcal{O}(1)$$

et par définition de  $V_+$ 

$$\simeq V^- \otimes V_+$$
.

### 4.4 Forme symplectique relative et métrique

#### 4.4.1 La forme symplectique relative

Hitchin et al. [HKLR87, (F), (3.87)] montrent que la famille (2.3.2) de formes symplectiques holomorphes  $\sigma_{\zeta}$  pour chacune des structures complexes  $I_{\zeta}$  s'interprète comme une section holomorphe du fibré  $(\Lambda^2 T_f^*)(2)$ . Or d'après (4.1.4), on en déduit que

$$(\Lambda^2 T_f^*)(2) = \Lambda^2 (T_f^*(1)) = \Lambda^2 (T_f(-1))^* = \Lambda^2 (V_-)^*.$$

Ainsi on définit la forme symplectique fibre à fibre

$$\hat{\sigma}: \Lambda^2 V_- \to \mathbb{C}. \tag{4.4.1}$$

On peut remarquer que les propriétés de non-dégénéres cence des  $\sigma_\zeta$  entraı̂nent la trivialisation

$$\hat{\sigma}^n: \Lambda^{2n}V_- \simeq \mathbb{C}$$

#### 4.4.2 Quelques notes sur la métrique

À partir de l'expression spinorielle du fibré tangent à C (4.2.1), on peut construire la classe conforme de métrique de la façon suivante. Soit  $\theta: \Lambda^2 V_+ \simeq \mathbb{C}$  une forme symplectique sur  $V_+$ , alors

$$T_C \otimes T_C = V_+ \otimes V_- \otimes V_+ \otimes V_-$$

$$= (V_+ \otimes V_+) \otimes (V_- \otimes V_-)$$

$$\to (\Lambda^2 V_+) \otimes (\Lambda^2 V_-)$$

on peut lui appliquer  $\theta \otimes \hat{\sigma}$ 

$$\begin{array}{l} \to \mathbb{C} \otimes \mathbb{C} \\ \simeq \mathbb{C} \end{array}$$

On vérifie facilement que l'application construite est bien symétrique. Hitchin et al. [HKLR87, (F) p.559] prouvent qu'elle est définie positive sur les vecteurs de  $T_M$  (vecteurs réels 4.5.3). Le choix de  $\theta$  est arbitraire et dépend d'un scalaire non-nul; c'est pourquoi on obtient plutôt la classe conforme de la métrique.

Le but de la section suivante est d'expliciter l'inclusion  $T_M \subseteq T_C$ .

# 4.5 Structures quaternioniques et structure réelle sur l'espace des sections

On rappelle que la variété  $Z=M\times \mathbb{P}^1$  est naturellement munie d'une involution  $\tau_Z:Z\to Z$  donnée par

$$\tau(m,\zeta) = \left(m, -1/\bar{\zeta}\right). \tag{4.5.1}$$

Il apparaît que  $\tau_Z$  est une involution anti-holomorphe pour la structure complexe (2.4.1) sur Z. Comme l'involution antipodale sur  $\mathbb{P}^1$  n'a pas de points fixes, le lieu réel de  $\tau_Z$  dans Z est vide. Cependant il existe des sous-variétés globalement fixées par cette involution, notamment les droites twistorielles verticales. Hitchin et al. [HKLR87, 3.(F) Thm 3.3] démontrent que ce sont les seules droites réelles.

À une section holomorphe s de f on associe la section  $\zeta \mapsto \tau_Z(s(\tau_{\mathbb{P}^1}(\zeta)))$ . C'est bien une section holomorphe de f que l'on notera également  $\tau(s)$  ou  $\tau_{\operatorname{Sec}}(s)$  s'il y a ambiguïté. Ainsi l'ensemble  $\operatorname{Sec}(f)$  est muni d'une involution  $\tau$ .

Dans la suite on suppposera, quitte à le réduire, que C est stable par cette involution; et donc i(M) s'identifie au lieu réel de  $(C, \tau)$ .

Maintenant il est intéressant d'interpréter les directions réelles (au sens de provenant de  $T_{i(M)}$ ) de  $T_C$  en tant que vecteurs réels pour une structure réelle adéquate sur  $T_C$ . La construction de cette structure réelle s'obtient par combinaison de structures quaternioniques sur les fibrés  $V_+$  et  $V_-$  via l'expression spinorielle de  $T_C$  (4.2.1).

#### 4.5.1 Structure quaternionique sur $V_{+}$

Soit  $\lambda \in (V_+)_s$ , alors  $\lambda \in H^0(\mathbb{P}^1, \mathcal{O}(1))$ . On definit  $j_+: V_+ \to V_+$  la structure quaternionique (anti-involution anti- $\mathbb{C}$ -linéaire) sur  $V_+$  par

$$(j_{+}\lambda)(\zeta) := -\zeta \tau_{\mathcal{O}(1)} \left(\lambda \left(-1/\overline{\zeta}\right)\right) \tag{4.5.2}$$

où  $\tau_{\mathcal{O}(1)}$  est l'unique structure réelle sur l'espace total du fibré  $\mathcal{O}(1)$  compatible avec la structure réelle  $\zeta \mapsto -1/\bar{\zeta}$  sur  $\mathbb{P}^1$ .

On vérifie alors

$$j_{+}(j_{+}\lambda)(\zeta) = -\zeta \tau_{\mathcal{O}(1)} \left( (j_{+}\lambda) \left( -1/\bar{\zeta} \right) \right)$$
$$= -\zeta \tau_{\mathcal{O}(1)} \left( -\left( -1/\bar{\zeta} \right) \tau_{\mathcal{O}(1)} \left( \lambda \left( \zeta \right) \right) \right)$$
$$= -\lambda(\zeta)$$

Si on spécifie une base  $(x_0, x_\infty)$  de  $H^0(\mathbb{P}^1, \mathcal{O}(1))$ , on remarque que  $j_+$  transforme  $ax_0 + bx_\infty$  en  $-\bar{b}x_0 + \bar{a}x_\infty$ . De plus,  $j_+$  et  $-j_+$  sont les deux seules structures quaternioniques compatibles avec la structure réelle  $\zeta \mapsto -1/\bar{\zeta}$  sur  $\mathbb{P}^1$ .

#### 4.5.2 Structure quaternionique sur $V_{-}$

Le fibré  $V_-$  ne possède pas de structure quaternionique canonique, cependant sa restriction à M oui!

En effet, soit  $\gamma \in (V_-)_m$ , alors  $\gamma$  peut être vu comme une section globale de  $T_f(-1)$  sur la droite twistorielle verticale  $L_m$ . Mais comme ce fibré est trivial sur les droites, une telle section est déterminée par sa valeur en  $\zeta = 0$ .

Ainsi  $\gamma$  est représenté par un vecteur  $\gamma(0)$  dans  $T^{1,0}_{(M,I)}$ , il ne reste alors plus qu'à poser

$$(j_{-\gamma})(0) := \overline{K\gamma(0)} \tag{4.5.3}$$

car  $K\gamma(0)$  est dans  $T^{0,1}_{(M,I)}$  et donc son conjugé est bien dans  $T^{1,0}$  et donc définit bien une unique section  $j_-\gamma$ . De plus comme K est un tenseur réel sur M, on a immédiatement  $j_-^2 = -id$ .

#### 4.5.3 Vecteurs réels

On peut mettre en commun les deux structures quaternioniques ainsi construites pour obtenir

$$T_C|_M = V_+|_M \otimes V_-|_M \xrightarrow[j_+ \otimes j_-]{} T_C|_M$$

qui définit une structure réelle (involution anti- $\mathbb{C}$ -linéaire) sur le fibré tangent à C restreint à M. Il faut remarquer qu'a priori  $j_+ \otimes j_-$  est une involution ( $\mathbb{R}$ -linéaire) de  $V_+ \otimes_{\mathbb{R}} V_-$ , cependant il suffit de vérifier qu'elle préserve le sous-espace engendré par les  $(i\alpha_+) \otimes \alpha_- - \alpha_+ \otimes (i\alpha_-)$ . Elle se factorise donc en une involution ( $\mathbb{R}$ -linéaire) de  $V_+ \otimes_{\mathbb{C}} V_-$ .

Les points fixes de cette involution sont appelés vecteurs réels.

#### 4.5.4 Les vecteurs provenant de M sont réels

L'inclusion  $T_M \hookrightarrow T_C|_M \simeq (V_+ \otimes V_-)|_M$  est donnée par

$$(m,v) \mapsto (m, x_{\infty} \otimes v' - x_0 \otimes (j_{-}v')) \tag{4.5.4}$$

où  $v' \in H^0(L_m, T_f(-1))$  est une section d'un fibré trivial et donc entièrement déterminée par

$$v'(0) := (1 - iI)v.$$

Remarque : on peut voir en explicitant la trivialisation de  $T_f(-1)$  que l'on a  $v'(\infty) = K(1-iI)v$ .

On vérifie immédiatement que l'image  $\tilde{v}$  de v par (4.5.4) satisfait

$$(j_+ \otimes j_-)(\tilde{v}) = \tilde{v}$$

En effet  $(j_+ \otimes j_-)(x_\infty \otimes v' - x_0 \otimes (j_-v')) = x_\infty \otimes -j_-(j_-v') - x_0 \otimes (j_-v')$  car  $j_-$  joue le rôle de la conjugaison des coefficients a,b de  $ax_0 + bx_\infty$ .

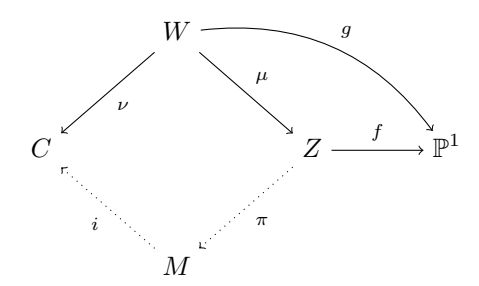
# Chapitre 5

# Transport topologique et analytique de faisceaux

- Die Welt ist alles, was der Fall ist.
   Die Welt ist die Gesamtheit der Tatsachen, nicht der Dinge.
- Le monde est tout ce qui a lieu.
   Le monde est la totalité des faits, non des choses.

<sup>—</sup> Tractatus logico-philosophicus, Ludwig Wittgenstein

Le but de cette section est d'étendre la correspondance twistorielle de la section 3.2 aux ouverts de C et Z puis aux faisceaux et fibrés vectoriels.



Un point s de C correspond à une droite L dans Z, mais un voisinage de ce point s, correspond à un enchevêtrement complexe de droites de Z autour de L. Étudier ces droites dans W permet de simplifier la situation.

Dans l'autre sens à un point z de Z correspond toute la famille des droites de Z passant par z. L'hypothèse 3.4.1 postule de la simplicité de cette famille.

On va utiliser les propriétés algébriques de cette correspondance pour construire divers foncteurs entre la catégorie des faisceaux (analytiques) sur Z et celle des faisceaux sur M. Ces constructions aideront à séparer les propriétés de géométrie complexe de Z qui proviennent de la topologie et celles qui proviennent de la géométrie riemannienne de M.

On établira ensuite un premier résultat (propriété 5.2.1) sur la structure complexe de Z et son lien avec la topologie de la variété M:

#### Proposition 5.0.1

Soit M une variété hyperkählérienne et  $\pi:Z\to M$  la fibration twistorielle, alors

$$\pi_* \mathcal{O}_Z \simeq \underline{\mathbb{C}}.$$

Enfin on explicitera quelque transports de fibrés vectoriels de Z vers C à l'aide des fibrés spinoriels introduits au chapitre 4.

### 5.1 Foncteurs de transport

Dans un premier temps, on décrit l'action des foncteurs  $\pi^{-1}, \mu^{-1}, \nu^{-1}, i^{-1}$  sur les catégories des ouverts.

#### 5.1.1 Extension des ouverts de M

Soit  $U \subseteq M$  un ouvert. Posons

$$U^{C} := \nu \left( \mu^{-1} \pi^{-1} \left( U \right) \right) \tag{5.1.1}$$

C'est le lieu de C qui paramètre les droites qui rencontrent des droites twistorielles de  $Z|_U = \pi^{-1}(U)$ .

#### Lemme 5.1.1

Avec les notations ci-dessus,  $U^C$  vérifie les propriétés suivantes

- (i)  $U^C = \{ s \in C \mid L_s \cap \pi^{-1}(U) \neq \emptyset \}$
- (ii)  $U^C$  est un ouvert de C stable par la structure réelle  $\tau_C$
- (iii)  $i(U) \subseteq U^C$  est fermé
- (iv)  $i^{-1}(U^C) = U$

D'autre part on peut également considérer l'ouvert de C

$$C|_{U} = \{ s \in C \mid L_{s} \subseteq \pi^{-1}(U) \}$$

qui est, lui, le lieu de C qui paramètre les droites incluses dans  $Z|_U$ .

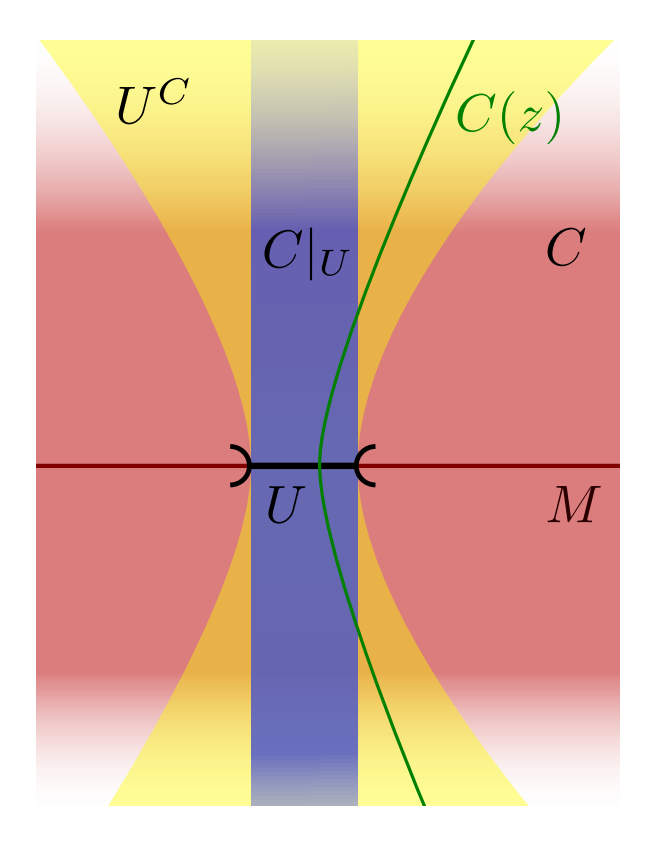


FIGURE 5.1 – Différence entre  $U^C$  et  $C|_U$ . L'ensemble C(z) des droites twistorielles passant par z (cf 3.2.1) peut sortir de  $C|_U$ .

#### Lemme 5.1.2

Avec les notations ci-dessus,  $C|_U$  vérifie les propriétés suivantes

- (ii)  $C|_U$  est un ouvert de C stable par  $\tau_C$
- (iii)  $i(U) \subseteq C|_U$  est fermé (iv)  $i^{-1}(C|_U) = U$
- $(v) \ \nu^{-1}(C|_U) \subseteq (\pi \circ \mu)^{-1}(U)$

L'interprétation est la suivante, le diagramme

$$C \longleftarrow W \longrightarrow Z$$

associé à une variété hyperkählérienne M, se restreint en

$$C|_{U} \longleftarrow W|_{U} \longrightarrow Z|_{U}$$

qui n'est autre que le diagramme précédent associé à la variété hyperkählérienne U. Plus généralement il est clair que le diagramme de la correspondance twistorielle se restreint à toute sous-variété hyperkählérienne de M (sous-variété kählérienne pour toutes les structures complexes de M).

Pour la question des déformations de droites twistorielles  $C|_U$  prend en compte l'obstruction topologique "bête" de devoir rester dans U tandis que  $U^C$  considère toutes les déformations.

Il est notable que ce phénomène est bien plus complexe dans Sec(f) entier : La connaissance de Sec(f)|U pour tous les ouverts stricts de M compacte semble insuffisante pour déterminer Sec(f). Cela semble refléter le fait que les ouverts hyperkählériens sont nombreux alors que les variétés hyperkählériennes compactes sont rares.

#### 5.1.2 Définitions

Soit  $\mathcal{F}$  un faisceau (de groupe abéliens) sur Z. Alors, par définition

$$\Gamma(U, \pi_* \mathcal{F}) = \Gamma(\pi^{-1}(U), \mathcal{F})$$

or, par l'adjonction  $(\mu^{-1}, \mu_*)$ , on a une application naturelle (unité)  $\eta_{\mathcal{F}} : \mathcal{F} \to \mu_* \mu^{-1} \mathcal{F}$ 

$$(\pi^{-1}(U), \mathcal{F}) \to \Gamma (\pi^{-1}(U), \mu_* \mu^{-1} \mathcal{F})$$
$$= \Gamma (\mu^{-1}(\pi^{-1}(U)), \mu^{-1} \mathcal{F})$$

par le point (v) :  $\nu^{-1}(C|_U) \subseteq \mu^{-1}(\pi^{-1}(U))$  d'où par restriction

On peut enfin composer par la restriction à i(U) qui est localement fermé dans  $C|_U$ 

$$\rightarrow \Gamma \left( U, i^{-1} \nu_* \mu^{-1} \mathcal{F} \right)$$

On a ainsi construit une application

$$\Gamma(U, \pi_* \mathcal{F}) \longrightarrow \Gamma(U, i^{-1} \nu_* \mu^{-1} \mathcal{F}).$$

On notera  $\pi_{\diamond} \mathcal{F}$  le faisceau  $i^{-1}\nu_*\mu^{-1} \mathcal{F}$ .

Autrement dit, on a construit un morphisme

$$\pi_* \to \pi_{\diamond}$$
 (5.1.2)

Enfin, pour  $\mathcal{F}$  un faisceau de  $\mathcal{O}_Z$ -modules, on a une autre transformation donnée par  $i^{-1}\nu_*\mu^*\mathcal{F}$ . Par définition on sait que  $\mu^{-1}\mathcal{F} \hookrightarrow \mu^{-1}\mathcal{F} \otimes_{\mu^{-1}\mathcal{O}_Z} \mathcal{O}_W = \mu^*\mathcal{F}$ . Finalement, on a pour  $\mathcal{F}$  faisceau de  $\mathcal{O}_Z$ -modules,

$$\pi_* \mathcal{F} \to \pi_{\diamond} \mathcal{F} \hookrightarrow i^{-1} \nu_* \mu^* \mathcal{F}$$

On a trois foncteurs des faisceaux de  $\mathcal{O}_Z\text{-modules}$  sur Z vers les faisceaux sur M qui sont donnés par

$$\pi_* \tag{5.1.3}$$

$$\pi_{\diamond} := i^{-1} \nu_* \mu^{-1} \tag{5.1.4}$$

$$\pi_{\mathbb{Q}} := i^{-1} \nu_* \mu^*. \tag{5.1.5}$$

Et qui sont liés par

$$\pi_* \to \pi_{\diamond} \hookrightarrow \pi_{\bar{\square}}.$$
 (5.1.6)

On notera également, pour  $\mathcal{F}$  un faisceau de  $\mathcal{O}_Z$ -modules sur Z,

$$\mathcal{R}^k \pi_{\diamond} \mathcal{F} = i^{-1} \mathcal{R}^k \nu_* \mu^{-1} \mathcal{F} \tag{5.1.7}$$

$$\mathcal{R}^k \pi_{\mathbb{Q}} \mathcal{F} = i^{-1} \mathcal{R}^k \nu_* \mu^* \mathcal{F}. \tag{5.1.8}$$

Ce sont les foncteurs dérivés respectifs de  $\pi_{\diamond}$  et  $\pi_{@}$  car  $\mu^{-1}$  et  $i^{-1}$  sont des foncteurs exacts. On remarquera qu'en raison de la dimension des fibres de  $\nu$  (droites),

- les  $\mathcal{R}^k \pi_{\mathbb{Q}} \mathcal{F}$  sont nuls pour k > 1 et  $\mathcal{F}$  faisceau cohérent sur Z par le théorème de Grauert 1, [Har97, Cor. 11.2].
- De même, les  $\mathcal{R}^k \pi_{\diamond} \mathcal{F}$  sont nuls pour k > 2 et pour tout faisceau  $\mathcal{F}$  par le théorème d'annulation de Grothendieck dans le cas topologique.

#### 5.1.3 Isomorphisme $\pi_* \simeq \pi_{\diamond}$

#### Proposition 5.1.3

Soit  $\mathcal{F}$  un faisceau sur Z, alors la transformation naturelle (5.1.2) induit un isomorphisme de faisceaux :

$$\pi_* \mathcal{F} \simeq \pi_{\diamond} \mathcal{F}$$
.

On a déjà construit en (5.1.2) un morphisme global  $\pi_* \mathcal{F} \to \pi_{\diamond} \mathcal{F}$ . Ainsi, pour montrer cette proposition, il suffit de vérifier que c'est un isomorphisme sur les germes. Soit  $x \in M$ , on désignera par

- $L_x := \pi^{-1}(x) \subseteq Z$
- $P_x := \nu^{-1}(i(x)) = \mu^{-1}(L_x) \subseteq W$
- $j_L$ , (resp.  $j_P$ ), l'inclusion  $L_x \hookrightarrow Z$  (resp.  $P_x \hookrightarrow W$ ) en tant que sous-espaces analytiques.
- $\mu_x$ , la restriction de  $\mu$  en un isomorphisme d'espaces analytiques  $P_x \to L_x$ .

Par la propriété 1.1.1, la tige de  $\pi_* \mathcal{F}$  en x est donnée par

$$(\pi_* \mathcal{F})_x \simeq H^0(\pi^{-1}(x), j_L^{-1} \mathcal{F})$$
  
=  $H^0(L_x, j_L^{-1} \mathcal{F})$ 

or  $\mu_x$  est un homéomorphisme

$$\simeq H^0((\mu_x)^{-1}L_x, \mu_x^{-1}j_L^{-1}\mathcal{F})$$
  
=  $H^0(P_x, (j_L \circ \mu_x)^{-1}\mathcal{F})$ 

or  $j_L \circ \mu_x = \mu \circ j_P$ 

$$= H^{0}(P_{x}, (\mu \circ j_{P})^{-1} \mathcal{F})$$
  
=  $H^{0}(P_{x}, j_{P}^{-1} \mu^{-1} \mathcal{F})$ 

ce qui redonne en appliquant à nouveau la propriété 1.1.1

$$\simeq (\nu_* \mu^{-1} \mathcal{F})_{i(x)}$$
  
=  $(i^{-1} \nu_* \mu^{-1} \mathcal{F})_x$   
=  $(\pi_{\diamond} \mathcal{F})_x$ .

L'isomorphisme qui vient d'être construit est bien la restriction de (5.1.2) sur les germes en x. D'où le résultat.

#### Corollaire 5.1.4

Les foncteurs  $\mathcal{R}^k \pi_*$  et  $\mathcal{R}^k \pi_\diamond$  sont isomorphes pour tout k

En conséquence les suites spectrales de Leray pour  $\pi$  et pour  $\nu$  sont reliées

$$H^p(C, \mathcal{R}^q \nu_* \mathcal{F}) \Rightarrow H^{p+q}(W, \mathcal{F})$$

$$H^p(M, \mathcal{R}^q \pi_* \mathcal{G}) \simeq H^p(M, i^{-1} \mathcal{R}^q \nu_* \mu^{-1} \mathcal{G}) \Rightarrow H^{p+q}(Z, \mathcal{G}).$$

#### 5.1.4 Injection $\pi_{\diamond} \hookrightarrow \pi_{@}$

Le lien entre  $\pi_{\diamond}$  et  $\pi_{@}$  est donné par la résolution de De Rham holomorphe relative à  $\mu$  [EL92, sec. 5 p.137].

Plus précisément pour  $E\to Z$  un fibré vectoriel holomorphe, on a le complexe de De Rham relatif (à  $\mu)$  sur W

$$0 \to \mathcal{O}_W(\mu^* E) \to \Omega^1_\mu(\mu^* E) \to \Omega^2_\mu(\mu^* E) \to \cdots$$

qui est une résolution de  $\mu^{-1} \mathcal{O}_Z(E)$ . Pour plus de détails cf. [Buc85, sec. I.1.2 p.439]. En particulier on a une injection

$$\mu^{-1} \mathcal{O}_Z(E) \hookrightarrow \mathcal{O}_W(\mu^* E).$$

or le foncteur  $\nu_*$  est exact à gauche d'où

$$\nu_* \mu^{-1} \mathcal{O}_Z(E) \hookrightarrow \nu_* \mu^* \mathcal{O}_Z(E)$$

après restriction à M (toujours une opération exacte à gauche), on trouve donc

#### Proposition 5.1.5

Soit E un fibré vectoriel holomorphe sur Z, alors

$$\pi_{\diamond} \mathcal{O}_Z(E) \hookrightarrow \pi_{@} \mathcal{O}_Z(E)$$

Pour un fibré E tel que  $\pi_{@} \mathcal{O}_{Z}(E) = 0$ , on a

$$\pi_* \mathcal{O}_Z(E) = \pi_\diamond \mathcal{O}_Z(E) = 0$$

ce qui entraı̂ne en particulier que E n'a pas de sections globales sur Z.

La résolution de De Rham holomorphe relative et ses conséquences cohomologiques seront étudiés en 7.

### 5.2 Application à $\mathcal{O}_Z$

#### 5.2.1 Le cas de l'image directe $\pi_* \mathcal{O}_Z$

Les seules fonctions sur l'espace des twisteurs d'une variété hyperkählérienne connexe sont les constantes.

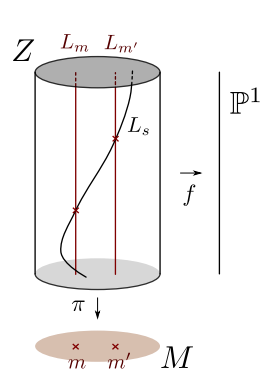
#### Proposition 5.2.1

#### Démonstration

Étant donné un ouvert  $U \subseteq M$ ,  $\Gamma(U, \pi_* \mathcal{O}_Z) = \Gamma(\pi^{-1}(U), \mathcal{O}_Z)$ . Or  $\pi^{-1}(U)$  est couvert par des courbes rationnelles. Donc toute fonction holomorphe sur  $\pi^{-1}(U)$  se restreint en une fonction holomorphe sur chacune de ces courbes; donc en une constante sur chaque courbe.

On montre ainsi dans un premier temps qu'une section  $\varphi$  de  $\mathcal{O}_Z$  sur  $\pi^{-1}(U)$  est constante sur chaque droite twistorielle. Donc ne dépend que du paramètre  $m \in U$ . De plus si m et m' sont deux points proches dans U, par un résultat de Kodaira-Deschamps (cf. 2.4.4), comme  $L_m$  a un fibré normal ample, il existe une déformation de  $L_m$  rencontrant  $L_{m'}$ . Donc  $\varphi$  a la même valeur en m et m'.

Ainsi  $\varphi$  est localement constante. D'où  $\pi_* \mathcal{O}_Z = \underline{\mathbb{C}}$ .



#### Remarques

La tige en m de  $\pi_*\mathcal{O}_Z$  est donnée par l'espace  $H^0(L_m,j_m^{-1}\mathcal{O}_Z)$  d'après 1.1.1. Or le faisceau  $j_m^{-1}\mathcal{O}_Z$  contient en lui de nombreuses in-

formations sur les épaississements de  $L_m$ . En effet le faisceau des fonctions d'un épaississement à l'ordre k de  $L_m$  dans Z est le quotient de  $j_m^{-1} \mathcal{O}_Z$  par  $I_L^{k+1}$ .

Une autre preuve de ce résultat 5.2.1 sera donnée au paragraphe 6.2.3 et qui fera usage de l'isomorphisme  $\pi_* \simeq \pi_{\diamond}$  du paragraphe 5.1.3.

#### 5.2.2 Comparaison avec l'espace projectif de dimension 3 :

Hitchin [Hit81] a montré que les espaces de twisteurs des variétés riemanniennes anti-autoduales compactes ne sont jamais kählériens (a fortiori jamais projectifs) sauf dans le cas de l'espace des twisteurs de  $\mathbb{S}^4$  (qui est  $\mathbb{P}^3$ ) et de l'espace des twisteurs de  $\mathbb{P}^2$ .

Cependant seul  $\mathbb{S}^4$  est une variété spin. Si on retire un point à la sphère  $\mathbb{S}^4$  (et donc une droite à son espace des twisteurs  $\mathbb{P}^3$ ) on trouve l'espace des twisteurs de la variété hyperkählérienne

 $\mathbb{C}^2 \cong \mathbb{H}$ . Il est ainsi intéressant de comparer les résultats obtenus sur les voisinages de droites

Dans le cas d'une droite L de  $\mathbb{P}^3$  les seules sections globales de  $i_L^{-1}\mathcal{O}_{\mathbb{P}^3}$  sont également les constantes:

#### Proposition 5.2.2

Soit L une droite de  $\mathbb{P}^3$ , et  $i:L\hookrightarrow\mathbb{P}^3$  l'injection alors

$$H^0\left(L, i^{-1} \mathcal{O}_{\mathbb{P}^3}\right) = \mathbb{C}$$

En ce sens cohomologique, le voisinage infinitésimal d'une droite twistorielle dans Z ressemble à celui d'une droite dans  $\mathbb{P}^3$ .

#### Notations

On considérera les coordonnées homogènes  $[X_0:X_1:X_2:X_3]$  sur  $\mathbb{P}^3$  et on notera les coordonnées

$$\begin{split} (x,y,z) &= \left(\frac{X_1}{X_0}, \frac{X_2}{X_0}, \frac{X_3}{X_0}\right) \\ (u,v,w) &= \left(\frac{X_0}{X_3}, \frac{X_1}{X_3}, \frac{X_2}{X_3}\right) \end{split}$$

sur les ouverts respectifs  $U_0 = \{X_0 \neq 0\}$  et  $U_3 = \{X_3 \neq 0\}$ . Soit  $L = \{X_1 = X_2 = 0\} \subseteq \mathbb{P}^3$ . Droite projective sur laquelle  $[X_0 : X_3]$  forment des coordonnées homogènes.

On veut décrire le faisceau  $i^{-1} \mathcal{O}_{\mathbb{P}^3}$ 

#### Sections globales

La suite de restriction

$$H^0(L, i^{-1}\mathcal{O}_{\mathbb{P}^3}) \to \Gamma(L \cap U_0, i^{-1}\mathcal{O}_{\mathbb{P}^3}) \oplus \Gamma(L \cap U_3, i^{-1}\mathcal{O}_{\mathbb{P}^3}) \to \Gamma(L \cap U_{03}, i^{-1}\mathcal{O}_{\mathbb{P}^3})$$

est exacte. Où la dernière flèche est une différence. Or

$$\Gamma(L \cap U_0, i^{-1} \mathcal{O}) = \lim_{V \supset L \cap U_0} \Gamma(V, \mathcal{O}_V)$$

et 
$$\Gamma(U_0, \mathcal{O}) = \mathcal{O}(\mathbb{C}^3)$$

En coordonnées: On a les relations suivantes sur  $U_{03}$ :

$$zu = 1$$
$$zv = x$$
$$zw = y$$

Soit  $f \in H^0(L, i^{-1} \mathcal{O}_{\mathbb{P}^3})$  alors elle s'écrit sur  $U_0$  et  $U_3$  en respectivement

$$f_0(x, y, z) = \sum_{i,j,k} a_{ijk} x^i y^j z^k$$
 (5.2.1)

$$f_3(u, v, w) = \sum_{l,i,j} b_{lij} u^l v^i w^j$$
 (5.2.2)

où les sommes sont de rayons de convergences > 0 et les indices de sommation sont positifs ou nuls.

Ainsi sur  $U_{03}$ , on a

$$f_0(x, y, z) = \sum_{i,j,k} a_{ijk} (zv)^i (zw)^j z^k = \sum_{i,j,k} a_{ijk} v^i w^j z^{i+j+k}$$

or la condition de recollement avec  $f_3$  nous donne donc

$$\sum_{i,j,k} a_{ijk} v^i w^j z^{i+j+k} = \sum_{l,i,j} b_{lij} u^l v^i w^j.$$

En identifiant les termes d'ordre (i, j) fixé en les variables v et w, on trouve

$$\sum_{k} a_{ijk} z^{i+j+k} = \sum_{l} b_{lij} u^{l} = \sum_{l} b_{lij} z^{-l}.$$

Cette égalité n'est possible que si les seuls termes non-nuls sont les  $a_{000}$  et  $b_{000}$  qui sont alors égaux.

Ainsi f est une constante.

Bilan: On a montré

$$H^0(L, i^{-1} \mathcal{O}_{\mathbb{P}^3}) \simeq \mathbb{C}$$

#### 5.2.3 Le cas de $\pi_{@} \mathcal{O}_{Z}$

D'autre part,

$$\pi_{@} \mathcal{O}_{Z} = i^{-1} \nu_{*} \mu^{*} \mathcal{O}_{Z}$$
$$= i^{-1} \nu_{*} \mathcal{O}_{W}$$

or  $\nu$  est à fibres connexes

$$=i^{-1}\mathcal{O}_C$$
.

On va démontrer le résultat suivant

$$i^{-1} \mathcal{O}_C \hookrightarrow \mathcal{E}_M^{\omega}$$

C'est-à-dire que toute fonction holomorphe sur C le long de M possède un représentant analytique réel sur M. En effet on a le diagramme suivant

$$0 \longrightarrow i^{-1} \mathcal{I}_M \longrightarrow i^{-1} \mathcal{E}_C^{\omega} \longrightarrow \mathcal{E}_M^{\omega} \longrightarrow 0$$

$$i^{-1} \mathcal{O}_C$$

Dès lors l'application  $i^{-1} \mathcal{O}_C \to \mathcal{E}_M^{\omega}$  a pour noyau  $\mathcal{I}_M \cap \mathcal{O}_C$  le long de M. Or M est totalement réelle. Soit donc  $\phi$  une fonction holomorphe locale qui s'annule exactement le long de M. Pour des raisons de dimension comme  $T_M \cap J_C T_M = 0$ , nécessairement

$$T_M \oplus J_C T_M = T_C$$

De plus, pour tout  $X \in T_M$ ,  $\phi_*X = 0$ . Soit donc  $X \in T_M$  tel que  $\phi_*J_CX \neq 0$  (ça existe car  $\phi_* \neq 0$ ). Comme  $\phi$  est holomorphe,  $\phi_*J_CX = J_C\phi_*X = 0$  d'où la contradiction. Ainsi  $\mathcal{I}_M \cap \mathcal{O}_C = 0$  et donc l'application  $i^{-1}\mathcal{O}_C \to \mathcal{E}_M^{\omega}$  est injective.

### 5.3 Images directes des faisceaux de p-formes

Dans cette section on explicite des calculs d'images sur C de faisceaux de p-formes  $(\Omega_Z^p, \Omega_f^p, \Omega_\mu^p)$  à l'aide des faisceaux et des notations introduites au chapitre 4. On a les résultats suivants

### 5.3.1 Calcul des $\mathcal{R}^k \nu_* \mu^* \Omega_f^p$ :

On sait que  $\mu^*\Omega_f = \nu^*V^- \otimes \mathcal{O}(-1)$  d'après 4.1.5. Ainsi  $\mu^*\Omega_f^p = \nu^*\Lambda^pV^- \otimes \mathcal{O}(-p)$ . On peut alors utiliser la formule de la projection pour  $\nu$ , pour obtenir

k = 0:

Si p > 0, on a

$$\nu_* \mu^* \Omega_f^p = 0$$

et pour p = 0, on trouve  $\mathcal{O}_C$ .

k = 1:

Si p > 1, on a

$$\mathcal{R}^1 \nu_* \mu^* \Omega_f^p = \mathcal{O}_C \left( \Lambda^p V^- \otimes \det V^+ \otimes \odot^{p-2} V^+ \right)$$

par la règle de Bott (cf 1.2.2).

### 5.3.2 Calcul des $\mathcal{R}^k \nu_* \Omega_u^p$ :

On sait que  $\Omega_{\mu} = \mathcal{O}_W(\nu^*V^-) \otimes \mathcal{O}(1)$  d'après (4.3.5). Ainsi

$$\Omega^p_\mu = \mathcal{O}_W(\nu^* \Lambda^p V^-) \otimes \mathcal{O}(p)$$

k=0:

Pour  $p \ge 0$ , on a

$$\nu_* \Omega^p_\mu = \mathcal{O}_C \left( \Lambda^p V^- \otimes \odot^p V_+ \right)$$

k = 1:

Pour  $p \ge 0$ , on a

$$\mathcal{R}^1 \, \nu_* \Omega^p_\mu = 0$$

#### Applications:

Ces résultats seront généralisés dans la partie 7.

On peut signaler le cas particulier

$$\nu_* \Omega_\mu^2 \simeq \mathcal{O}_C \left( \Lambda^2 V^- \otimes \odot^2 V_+ \right) \simeq \Omega_-^2$$
 (5.3.1)

qui apparaît dans la décomposition

$$\Omega_C^2 \simeq \Omega_+^2 \oplus \Omega_-^2$$
.

### 5.3.3 Calcul des $\mathcal{R}^k \pi_@ \Omega_Z^p$

On peut calculer  $\pi_{@}\Omega_{Z}^{p}$ . En fait comme il y a unicité de l'extension sur  $\mathbb{P}^{1}$  de

$$0 \to \mathcal{O}(-2) \to \bullet \to \mathbb{C}^{2n}(-1) \to 0$$

C'est celle qui définit le conormal de L comme quotient de  $\Omega_Z$ . On a alors

$$\Omega_Z^1 \otimes \mathcal{O}_L \cong \mathbb{C}^{2n}(-1) \oplus \mathcal{O}(-2)$$

on en déduit que le faisceau  $\mu^*\Omega_Z^p$ , pour p>0 est strictement négatif sur chaque fibre de  $\nu$  et donc son image directe est nulle par la formule de la projection.

D'autre part, on peut également déduire de la décomposition ci-dessus que  $\mathcal{R}^1 \nu_* \Omega_Z^1$  est de rang 1. En effet pour tout L,

$$H^1(L, \mathbb{C}^{2n}(-1) \oplus \mathcal{O}(-2)) \simeq H^1(\mathbb{P}^1, \mathcal{O}(-2)) \simeq \mathbb{C}$$
.

on sera plus précis au paragraphe suivant.

Pour l'instant, on a montré

#### Proposition 5.3.1

Soit p > 0 alors

- $\pi_{\odot}\Omega_Z^p = 0$   $et \ \pi_*\Omega_Z^p = 0.$

En effet on a  $\pi_*\Omega_Z^p \simeq \pi_\diamond \Omega_Z^p \subseteq \pi_@\Omega_Z^p = 0.$ 

En particulier, on en déduit pour p=2n+1 que  $\pi_*K_Z=0$ . Par un argument très similaire, on peut montrer, pour tout m > 0 que

$$\pi_* K_Z^m = 0$$

et donc que les plurigenres  $P_m$  de Z sont tous nuls pour m>0 :  $P_m=\dim H^0(Z,K_Z^m)$  $\dim H^0(M, \pi_* K_Z^m) = 0.$ 

Ces propriétés sur la structure complexe de Z, placent cette variété dans la classe des variétés de dimension de Kodaira  $-\infty$ . Tout comme les espaces projectifs et autres variétés de Fano. C'est un résultat classique qu'une variété uni-réglée est de dimension de Kodaira  $-\infty$ . Or Z est recouverte par l'image de  $\mu: C \times \mathbb{P}^1 \to Z$ .

#### Expression des faisceaux de p-formes sur Z comme extension et conséquences sur les images directes supérieures

On montre d'abord le lemme suivant

#### Lemme 5.3.2

On a la suite exacte suivante sur Z pour p > 0

$$0 \to \Omega_f^{p-1}(-2) \to \Omega_Z^p \to \Omega_f^p \to 0$$

Ce résultat est un analogue de la proposition 7.3.2 du chapitre 7. La preuve est identique. Ce résultat donne sur W

$$0 \to \mu^*\Omega_f^{p-1}(-2) \to \mu^*\Omega_Z^p \to \mu^*\Omega_f^p \to 0$$

ou encore en terme de fibrés spinoriels

$$0 \to \nu^* \Lambda^{p-1} V^- \otimes \mathcal{O}(-p-1) \to \mu^* \Omega_Z^p \to \nu^* \Lambda^p V^- \otimes \mathcal{O}(-p) \to 0.$$

On peut remarquer qu'alors (pour p>0) les images directes (en degré 0) par  $\nu$  de ces faisceaux s'annulent. Ainsi il on obtient la suite exacte courte

$$0 \to \mathcal{R}^1 \, \nu_* \mu^* \Omega_f^{p-1}(-2) \to \mathcal{R}^1 \, \nu_* \mu^* \Omega_Z^p \to \mathcal{R}^1 \, \nu_* \mu^* \Omega_f^p \to 0$$

que l'on peut exprimer plus simplement

$$0 \to \Lambda^{p-1}V^- \otimes \mathcal{R}^1 \nu_* \mathcal{O}(-p-1) \to \mathcal{R}^1 \nu_* \mu^* \Omega_Z^p \to \Lambda^p V^- \otimes \mathcal{R}^1 \nu_* \mathcal{O}(-p) \to 0.$$

Ainsi par règle de Bott (cf 1.2.2),

#### Proposition 5.3.3

On peut exprimer  $\mathcal{R}^1 \nu_* \Omega_Z^p$  pour p > 0 comme l'extension

$$0 \to \Lambda^{p-1}V^- \otimes \odot^{p-1}V^+[-1] \to \mathcal{R}^1 \nu_* \mu^* \Omega_Z^p \to \Lambda^p V^- \otimes \odot^{p-2}V^+[-1] \to 0.$$

où E[-1] désigne le fibré  $E \otimes \det V^+$ .

#### 5.3.4 Bilan

On peut résumer les informations connues sur les images directes des faisceaux  $\Omega_Z^k$  dans le tableau 5.2.

k	$\pi_*\Omega^k_Z$	$\pi_{@}\Omega_{Z}^{k}$	$\pi_* \mathcal{O}(k)$	$\pi_{@}  \mathcal{O}(k)$	$\pi_*\Omega_f^k(k)$	$\pi_{@}\Omega_{f}^{k}(k)$
0	<u>C</u>	$i^{-1}\mathcal{O}_C$	<u>C</u>	$i^{-1}\mathcal{O}_C$	<u>C</u>	$i^{-1}\mathcal{O}_C$
1	0	0	(b)	$i^{-1} \mathcal{O}_C(V_+)$	(a)	$i^{-1} \mathcal{O}_C(V)$
:	0	0	(b)	$i^{-1} \mathcal{O}_C(\odot^k V_+)$	(a)	$i^{-1} \mathcal{O}_C(\Lambda^k V)$

- (a) Ces faisceaux sont non-nuls ssi la connexion  $\nabla_{-}$  est plate (cf. section 6.5). Ce sont alors des systèmes locaux de rang  $\binom{2n}{k}$ .
- (b) Ces faisceaux sont calculables en terme de zéros d'un opérateur différentiel un peu plus général qu'une connexion (cf thm 2).

FIGURE 5.2 – Différentes images directes de faisceaux sur Z Les fibrés  $V_+$  et  $V_-$  sont définis en (4.1.1, 4.1.2).

	p	0	1	2
q	$\mathcal{R}^1 \nu_* \mu^* \Omega_f^p(q)$	$\mathcal{R}^1 \nu_* \mathcal{O}(q)$	$\mathcal{R}^1 \nu_* \mu^* \Omega_f(q)$	$\mathcal{R}^1 \nu_* \mu^* \Omega_f^2(q)$
	$\nu_*\mu^*\Omega_f^p(q)$	$ u_* \mathcal{O}(q) $	$\nu_*\mu^*\Omega_f(q)$	$\nu_*\mu^*\Omega_f^2(q)$
-2	$\mathcal{R}^1  \nu_* \mu^* \Omega_f^p(-2)$	$\mathbb{C}[-1]$	$V^- \otimes V^+[-1]$	
	$\nu_*\mu^*\Omega_f^p(-2)$	0	0	0
-1	$\mathcal{R}^1 \nu_* \mu^* \Omega_f^p(-1)$	0	$V^{-}[-1]$	$\Lambda^2 V^- \otimes V^+[-1]$
_1	$\nu_*\mu^*\Omega_f^p(-1)$	0	0	1
0	$\mathcal{R}^1   u_* \mu^* \Omega_f^p$	0	0	$\Lambda^2 V^-[-1]$
	$ u_*\mu^*\Omega_f^p $	$\mathbb{C}$	0	0
1	$\mathcal{R}^1 \nu_* \mu^* \Omega_f^p(1)$	0	0	0
	$\nu_*\mu^*\Omega_f^p(1)$	$V_{+}$	V-	0
2	$\mathcal{R}^1 \nu_* \mu^* \Omega_f^p(2)$	0	0	0
	$\nu_*\mu^*\Omega_f^p(2)$	$\odot^2 V_+$	$V^-\otimes V_+$	$\Lambda^2 V^-$

Figure 5.3 – Expression des images directes des faisceaux  $\mu^*\Omega_f^p(q)$ 

# Chapitre 6

# Équivalence de Buchdahl

A process cannot be understood by stopping it. Understanding must move with the flow of the process, must join it and flow with it.

— Dune, Frank HERBERT

Dans ce chapitre et les suivants, on développe une correspondance entre fibrés vectoriels holomorphes sur l'espace des twisteurs Z (satisfaisant une certaine condition de trivialité 6.1) et les fibrés à connexion holomorphe sur l'espace des cycles C (satisfaisant une certaine condition de courbure 6.5). Cette construction généralise un résultat de Buchdahl [Buc85] valable pour les espaces de twisteurs de dimension 3.

- ullet Ce chapitre se concentre sur la construction du fibré sur C et de sa connexion. On énonce une caractérisation des fibrés à connexion construit de cette manière.
- Le chapitre 7 utilisera cette construction pour interpréter la cohomologie de certains faisceaux sur Z en termes d'équations différentielles sur C.
- ullet Le chapitre 8 développera la correspondance en interprétant la courbure de la connexion en termes d'épaississements du fibré sur Z.

Dans un premier temps, on construira pour chaque fibré vectoriel holomorphe sur Z, trivial en restriction aux droites, un fibré vectoriel holomorphe sur C (cf 6.1). On lui adjoindra ensuite une connexion naturelle (cf 6.3).

L'étude de cette connexion nécessite quelques résultats techniques faisant le lien avec certaines dérivées extérieures relatives (cf 6.2 et 6.3). Une fois ces résultats démontrés, on pourra montrer la fonctorialité de la construction.

Enfin on remarquera des restrictions automatiques sur la courbure de la connexion construite. Sous ces restrictions, on pourra démontrer l'équivalence de catégories 1.

### 6.1 Définitions du fibré associé

On appelera L-trivial un fibré holomorphe  $E_Z$  sur Z dont les restrictions aux images  $L_s$  des sections  $s \in C$  sont triviales. En particulier, pour tous  $s \in C$ 

$$h^0(L_s, E_Z) = \operatorname{rk} E_Z.$$

De même, on appelera L-constant un fibré holomorphe  $E_Z$  sur Z tel que

$$C \ni s \mapsto h^0(L_s, E_Z)$$

soit constante.

Ces conditions permettent, grâce à la propriété de changement de base (3 page 18), d'assurer que l'image directe  $\nu_*\mu^*\mathcal{O}_Z(E_Z)$  est un faisceau localement libre sur C. En effet

$$h^{0}(\nu^{-1}(s), \mathcal{O}_{\nu^{-1}(s)} \otimes \mu^{*} \mathcal{O}_{Z}(E_{Z})) \simeq h^{0}(L_{s}, \mathcal{O}_{L_{s}}(E_{Z}))$$

est constante par rapport à s. On notera  $E_C$  le fibré vectoriel holomorphe associé sur C. Il vérifie donc

$$\nu_* \mathcal{O}_W(\mu^* E_Z) \simeq \mathcal{O}_C(E_C).$$

On a donc obtenu la

#### Proposition 6.1.1

Soit  $E_Z$  un fibré L-trivial. Il existe un unique fibré vectoriel holomorphe  $E_C$  sur C tel que

$$\nu^* E_C \simeq \mu^* E_Z$$

sur W.

#### Exemples

- $\mathcal{O}_Z$  est trivial donc en particulier L-trivial,
- $\mathcal{O}(1)$  ou plus généralement  $\mathcal{O}(k)$  est L-constant.

Un exemple fondamental est donné par le fibré  $T_f$ :

#### Proposition 6.1.2

- $T_f$  est L-constant, Le fibré associé est  $T_C$  (cf. 3.3.9)
- $T_f(-1)$  est L-trivial, Le fibré associé est  $V_-$  (cf. 4.1.2)

La preuve résulte des propriétés 2.4.3 et 3.1.1.

#### 6.2 Le cas du fibré trivial

L'opérateur différentiel  $d_{\mu}$  que ce soit sur les fonctions de W ou sur les k-formes  $\mu$ -relatives est un morphisme de faisceaux

$$\Omega_{\mu}^{k} \to \Omega_{\mu}^{k+1}$$

mais qui **n'est pas**  $\mathcal{O}_W$ -linéaire. Il satisfait à la place une règle de Leibniz pour tout  $\rho$  et  $\theta$  sections locales respectives de  $\Omega^r_\mu$  et  $\Omega^{k-r}_\mu$ :

$$d_{\mu}(\rho\theta) = (d_{\mu}\rho) \wedge \theta + (-1)^{r}\rho d_{\mu}\theta$$

qui résulte du passage au quotient par  $\mu^*\Omega_Y^{\bullet}$  de la règle de Leibniz pour  $d_W$ . Cela n'empêche pas de pouvoir le pousser en avant par l'application  $\nu$ , pour obtenir un opérateur différentiel sur C

$$\nu_* \mathbf{d}_{\mu} : \nu_* \Omega^k_{\mu} \to \nu_* \Omega^{k+1}_{\mu}$$

la fonctorialité lui impose alors de satisfaire la règle de Leibniz suivante

$$\left(\nu_{*} d_{\mu}\right) \left(\lambda \theta\right) = \int_{\nu} d_{\mu} \left(\lambda \circ \nu\right) \wedge \nu^{*} \theta + \lambda \left(\nu_{*} d_{\mu}\right) \theta.$$

Pour  $\lambda \in \mathcal{O}_C$ , l'intégrale désigne la section sur C obtenue par intégration d'une section de  $\Omega_{\mu}^{k+1}$  sur les fibres de  $\nu$ .

Le but de cette section est de relier ce nouvel opérateur différentiel sur  $C: \nu_* d_\mu$  avec des opérateurs différentiels issus de la structure différentielle de C. En particulier, on va montrer le résultat 6.2.6 et son corollaire important

#### Corollaire 6.2.1

On a l'égalité suivante d'opérateurs différentiels sur les fonctions de C

$$\nu_* d_u = d_C$$

Remarque : Ce n'est pas vrai sur  $\Omega_C^k$  pour k > 0, simplement car  $\nu_* \Omega_\mu^k \neq \Omega_C^k$ . Cependant la proposition 6.2.6 permettra tout de même de faire le lien entre les deux.

#### 6.2.1 Complexes de De Rham relatifs

La différentielle relative à  $g = f \circ \mu$ , notée  $d_q$  donne un complexe différentiel sur W

$$\cdots \to \nu^* \Omega_C^k \xrightarrow{\mathrm{d}_g} \nu^* \Omega_C^{k+1} \to \cdots$$

ici la structure produit de W identifie  $\nu^*\Omega_C^k$  au faisceau  $\Omega_g^k$ . Et de même la différentielle relative à  $\mu$ , notée  $d_\mu$  donne donc un complexe différentiel sur W

$$\cdots \to \Omega^k_{\mu} \xrightarrow{\mathrm{d}_{\mu}} \Omega^{k+1}_{\mu} \to \cdots$$

On rappelle que l'on a la résolution de faisceau  $\mu^{-1}\,\mathcal{O}_Z$  par le complexe de De Rham holomorphe relatif sur W

$$0 \to \mathcal{O}_W \to \Omega^1_\mu \xrightarrow{\mathrm{d}_\mu} \Omega^2_\mu \to \cdots$$

Par définition  $d_{\mu}$  est la restriction-factorisation de  $d_{W}$  au quotient  $\Omega_{\mu}^{\bullet}$  de  $\Omega_{W}^{\bullet}$ .

Sur la variété produit W on a  $d_W = d_g + d_{\nu}$ . Le lemme suivant montre que la connaissance de  $d_g$  suffit à déterminer  $d_{\mu}$ .

#### Lemme 6.2.2

Le diagramme suivant sur W commute

$$\begin{array}{ccc} \nu^*\Omega_C^k & \stackrel{\mathrm{d}_g}{\longrightarrow} \nu^*\Omega_C^{k+1} \\ \downarrow & & \downarrow \\ \Omega_\mu^k & \stackrel{\mathrm{d}_\mu}{\longrightarrow} \Omega_\mu^{k+1} \end{array}$$

Les flèches verticales sont obtenues par puissance extérieure des flèches  $\Omega_g \to \Omega_\mu$  de la proposition 3.3.2.

#### Preuve

On raisonne par induction pour montrer que toute forme g-relative  $\omega$  vérifie

$$\left[\mathrm{d}_g\omega\right]_\mu=\mathrm{d}_\mu\left[\omega\right]_\mu$$

**Pour les fonctions** Le diagramme pour k = 0 devient

$$\begin{array}{ccc}
\nu^* \mathcal{O}_C & \xrightarrow{\mathrm{d}_g} \nu^* \Omega^1_C \\
\downarrow^{\wr} & & \downarrow^{\sharp} \\
\mathcal{O}_W & \xrightarrow{\mathrm{d}_{\mu}} \Omega^1_{\mu}
\end{array}$$

Soit donc  $\varphi$  une section locale de  $\mathcal{O}_W$  et  $X \in T_\mu$  (ie  $\mu_* X = 0$ ). Or comme  $g = f \circ \mu$ ,  $g_* X = 0$  ce qui entraı̂ne que

$$\langle \mathrm{d}_g \varphi, X \rangle_W = \langle \mathrm{d} \varphi, X \rangle_W$$

mais comme  $\mu_* X = 0$  ce scalaire est exactement  $\langle d_\mu \varphi, X \rangle_{(\Omega_\mu, T_\mu)}$ .

Ainsi on a montré que la projection de  $d_g \varphi$  dans  $\Omega_{\mu}$  (en évaluant contre des vecteurs de  $T_{\mu}$ ) est égale à  $d_{\mu}\varphi$ . D'où le résultat pour les fonctions.

Pour un produit extérieur Soient  $\theta, \gamma$  deux sections locales de  $\nu^*\Omega_C^{\bullet}$  de degrés respectifs a et b, alors

$$\begin{split} \left[ \mathbf{d}_{g} \left( \theta \wedge \gamma \right) \right]_{\mu} &= \left[ \mathbf{d}_{g} \theta \wedge \gamma + (-1)^{a} \theta \wedge \mathbf{d}_{g} \gamma \right]_{\mu} \\ &= \left[ \mathbf{d}_{g} \theta \wedge \gamma \right]_{\mu} + (-1)^{a} \left[ \theta \wedge \mathbf{d}_{g} \gamma \right]_{\mu} \\ &= \left[ \mathbf{d}_{g} \theta \right]_{\mu} \wedge \left[ \gamma \right]_{\mu} + (-1)^{a} \left[ \theta \right]_{\mu} \wedge \left[ \mathbf{d}_{g} \gamma \right]_{\mu} \end{split}$$

par hypothèse d'induction

$$\begin{split} &= d_{\mu} \left[ \theta \right]_{\mu} \wedge \left[ \gamma \right]_{\mu} + (-1)^{a} \left[ \theta \right]_{\mu} \wedge d_{\mu} \left[ \gamma \right]_{\mu} \\ &= d_{\mu} \left( \left[ \theta \right]_{\mu} \wedge \left[ \gamma \right]_{\mu} \right) \\ &= d_{\mu} \left[ \theta \wedge \gamma \right]_{\mu}. \end{split}$$

On a utilisé à deux reprises le résultat suivant

#### Lemme 6.2.3

Pour deux formes de  $\nu^*\Omega_C^{\bullet}$ 

$$[\theta]_{\mu} \wedge [\gamma]_{\mu} = [\theta \wedge \gamma]_{\mu} \,.$$

Il suffit des les voir comme deux formes sur W et de remarquer que le produit extérieur de formes  $\mu$ -relatives est défini par passage au quotient du produit extérieur sur W.

Finalement, on a montré que le résultat se ramène par induction aux cas de base. Reste à montrer le résultat pour une forme de degré 1.

Le cas de degré 1 Supposons qu'on ait une section locale de  $\nu^*\Omega_C$  alors on peut l'écrire comme une somme de termes de la forme  $\varphi d_g \phi$ . Mais par la propriété d'induction comme le résultat est vrai pour  $\varphi$ , il ne reste plus qu'à le montrer pour  $\omega = d_q \phi$ .

On a immédiatement  $[d_q\omega]_{\mu}=[0]_{\mu}=0$  et d'autre part,

$$d_{\mu}[\omega]_{\mu} = d_{\mu}[d_g\phi]_{\mu}$$

par le résultat dans le cas des fonctions

$$= d_{\mu} d_{\mu} \phi$$
$$= 0$$
$$= [d_g \omega]_{\mu}.$$

D'où le résultat.

#### 6.2.2 Image directe par $\nu$ du complexe de De Rham $\mu$ -relatif

Le résultat suivant énonce le fait très général que la différentiation sur  $W \simeq C \times \mathbb{P}^1$  par rapport aux variables de C détermine la différentiation sur C.

#### Lemme 6.2.4

On a la relation suivante entre opérateurs différentiels sur C

$$\nu_* d_q \simeq d_C$$

Ici  $\nu_* d_g$  désigne l'image du morphisme de faisceaux (de  $\mathbb{C}$ -modules)  $d_g : \mathcal{O}_W \to \Omega_g$  par le foncteur  $\nu_*$ . De manière générale  $\nu_* \nabla$  est un opérateur différentiel construit par fonctorialité de  $\nu_*$  qui vérifie des propriétés analogues à  $\nu_* d_\mu$  (cf. 6.2).

#### Preuve

On a besoin du résultat suivant que l'on donne sans démonstration :

#### Lemme 6.2.5

Soit  $E_C$  un fibré holomorphe sur C,  $E = \nu^* E_C$  est un fibré sur W trivial sur les fibres. Alors

$$\nu_* \mathcal{O}_W(E) \simeq \mathcal{O}_C(E_C)$$

et l'identification est donnée comme suit :

Soit s une section locale sur U de  $\nu_* \mathcal{O}_W(E)$ , alors elle correspond à une section  $\tilde{s}$  sur  $V = \nu^{-1}(U)$  de  $\mathcal{O}_W(E)$ . D'autre part, on peut construire une section  $s \circ \nu$  de  $\nu^{-1}\nu_* \mathcal{O}_W(E)$  sur V. On notera  $\nu^*s$  son image dans  $\nu^*\nu_* \mathcal{O}_W(E)$ .

Alors

$$\tilde{s} = [\nu^* s]$$

où [ ] dénote la co-unité

$$\nu^*\nu_*\mathcal{O}_W(E)\to\mathcal{O}_W(E).$$

Dès lors soit  $\theta$  une section locale de  $\Omega_C^k \simeq \nu_* \nu^* \Omega_C^k$ , alors par définition

$$(\widetilde{\nu_* \mathrm{d}_g})\theta = \mathrm{d}_g \widetilde{\theta}$$

$$= \mathrm{d}_g \nu^* \theta$$

$$= [\mathrm{d}_W \nu^* \theta]_g$$

$$= [\nu^* \mathrm{d}_C \theta]_g$$
Or  $\nu^* (\mathrm{d}_C \theta) \in \nu^* \Omega_C^k = \Omega_g^k$ 

$$= \nu^* \mathrm{d}_C \theta$$

$$= \widetilde{\mathrm{d}_C} \theta.$$

Ses sections locales sur  $V=\nu^{-1}U$  étant égales elles définissent donc les mêmes sections de  $\nu_*\nu^*\Omega_C^{k+1}\simeq\Omega_C^{k+1}$ .

Ains

$$(\nu_* \mathbf{d}_q)\theta = \mathbf{d}_C \theta.$$

Enfin, en poussant en avant par  $\nu$  le diagramme du lemme 6.2.2 et en utilisant le lemme 6.2.4, on peut en déduire, pour les différentielles en degré supérieur

#### Proposition 6.2.6

Le diagramme suivant sur C commute

$$\begin{array}{ccc} \Omega^k_C & \xrightarrow{d_C} \Omega^{k+1}_C \\ \downarrow & & \downarrow \\ \nu_* \Omega^k_\mu & \xrightarrow{\nu_* d_\mu} \nu_* \Omega^{k+1}_\mu \end{array}$$

On notera  $D^k$  (ou D s'il n'y a pas d'ambiguïté) l'opérateur différentiel

$$\nu_* \mathbf{d}_{\mu} : \nu_* \Omega^k_{\mu} \to \nu_* \Omega^{k+1}_{\mu}. \tag{6.2.1}$$

On remarque que  $D^0 = d_C$ .

La proposition 6.2.6 peut se reformuler comme l'existence d'un morphisme de complexes

$$(\Omega_C^{\bullet}, \mathrm{d}_C) \to (\nu_* \Omega_{\mu}^{\bullet}, D^{\bullet}).$$
 (6.2.2)

Une étude plus poussée sera donné dans le chapitre 7.

#### 6.2.3 Corollaire et application

L'égalité  $\nu_* d_{\mu} \simeq d_C$  sur les fonctions permet de donner une nouvelle preuve du résultat 5.2.1 sur l'image directe par  $\pi$  du faisceau structurel  $\mathcal{O}_Z$ .

En effet d'après la proposition 5.1.3, le faisceau  $\pi_* \mathcal{O}_Z$  coïncide avec le faisceau  $\pi_{\diamond} \mathcal{O}_Z$  c'est-à-dire  $i^{-1}\nu_*\mu^{-1} \mathcal{O}_Z$ .

Considérons donc le faisceau  $\mu^{-1} \mathcal{O}_Z$  sur W. On dispose de la suite exacte

$$0 \to \mu^{-1} \mathcal{O}_Z \to \mathcal{O}_W \xrightarrow{\mathrm{d}_\mu} \Omega_\mu$$

qui est le début de sa résolution de De Rham holomorphe relative. Cela revient à dire que les fonctions sur W qui sont  $d_{\mu}$ -exactes sont exactement les fonctions constantes sur les fibres de  $\mu$ , ie les fonctions provenant de Z. Ainsi par exactitude à gauche du foncteur  $\nu_*$ , on a

$$\nu_* \mu^{-1} \mathcal{O}_Z = \ker \left( \nu_* d_\mu : \nu_* \mathcal{O}_W \to \nu_* \Omega_\mu \right)$$

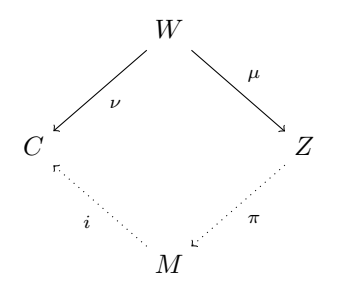


FIGURE 6.1 – Rappel des applications utilisées pour le transport de faisceaux.

mais d'après la proposition 6.2.6 il s'agit du noyau de la connexion  $d_C$  en degré 0. Là encore la théorie de De Rham nous dit qu'il s'agit du faisceau constant  $\underline{\mathbb{C}}$  (les fonction de dérivée extérieur nulle sont localement constantes).

Finalement  $\nu_*\mu^{-1}\mathcal{O}_Z\simeq\underline{\mathbb{C}}$ , donc en restreignant à  $M\hookrightarrow C$  via i, on obtient  $\pi_\diamond\mathcal{O}_Z\simeq i^{-1}\underline{\mathbb{C}}\simeq\underline{\mathbb{C}}$ . On a bien retrouvé le résultat de 5.1.3.

#### 6.3 Le cas d'un fibré *L*-trivial

Comme expliqué dans [Buc85, Part. II], un fibré L-trivial  $E_Z$  se voit associer un fibré  $E_C$  sur C qui satisfait de plus

$$\nu^* E_C \simeq \mu^* E_Z. \tag{6.3.1}$$

En effet il suffit de vérifier que l'application naturelle

$$\nu^* \mathcal{O}_C(E_C) \simeq \nu^* \nu_* \mathcal{O}_W(\mu^* E_Z) \to \mathcal{O}_W(\mu^* E_Z)$$

est un isomorphisme sur les fibres. Mais cela découle de la trivialité. On a déjà utilisé un tel raisonnement au paragraphe 4.1.2.

D'autre part le fibré  $E=\mu^*E_Z$  sur W est naturellement muni d'une connexion plate, notée  $\mathrm{d}^E_\mu$  ou plus souvent  $\mathrm{d}_\mu$ 

$$\mathcal{O}_W(\mu^* E_Z) \to \Omega_\mu(\mu^* E_Z). \tag{6.3.2}$$

Dans un repère local de E, constitué de sections de  $\mu^{-1} \mathcal{O}_Z(E_Z)$  qui proviennent de  $E_Z$ ,  $d_\mu^E$  agit comme le  $d_\mu$  des coefficients. Comme les changements de trivialisation de E sont constants sur les fibres de  $\mu$ , l'opérateur  $d_\mu^E$  défini localement comme ci-dessus se recolle. On pourra se référer à [Del70, 2.22, 2.23] pour plus de précisions.

Ainsi en poussant en avant par  $\nu$  l'application (6.3.2), on trouve

$$\mathcal{O}_{C}(E_{C}) \simeq \nu_{*} \mathcal{O}_{W}(\mu^{*}E_{Z})$$

$$\stackrel{\nu_{*} d_{\mu}^{E}}{\longrightarrow} \nu_{*} \left(\Omega_{\mu}(\mu^{*}E_{Z})\right)$$

$$\simeq \nu_{*} \left(\Omega_{\mu}(\nu^{*}E_{C})\right)$$

Par la propriété (3.3.7) et la formule de la projection

$$\simeq \Omega_C(E_C)$$
.

Cette nouvelle application satisfait de plus une règle de Leibniz

$$(\nu_* \mathbf{d}_{\mu}^E)(fe) = (\nu_* \mathbf{d}_{\mu}^{\mathcal{O}_W})(f)e + f(\nu_* \mathbf{d}_{\mu}^E)(e)$$

pour  $f \in \mathcal{O}_C$  et où l'opérateur  $\nu_* d_{\mu}^{\mathcal{O}_W}$  agit sur les fonctions  $\mathcal{O}_C \simeq \nu_* \mathcal{O}_W \to \nu_* \Omega_{\mu} \simeq \Omega_C$ . Or d'après 6.2.1, on sait qu'il coïncide avec  $d_C$ . Ainsi  $\nu_* d_{\mu}$  sur  $E_C$  satisfait une règle de Leibniz au sens classique

$$(\nu_* \mathbf{d}_{\mu})(fe) = \mathbf{d}_C(f)e + f(\nu_* \mathbf{d}_{\mu})(e).$$

C'est donc une connexion sur  $E_C$ , on la notera  $\nabla_{E_C}$  ou  $\nabla$  s'il n'y a pas d'ambiguïté sur le fibré, ou parfois  $\nabla_E$  pour la distinguer d'une connexion  $\nabla_F$  sur un fibré  $F_C$  associé à  $F_Z$ . Elle s'étend aux  $\Omega_C^k(E_C)$  par règle de Leibniz, on la notera alors  $\nabla_{E_C}^k$ .

On va maintenant établir un analogue de la proposition 6.2.6 pour  $\nabla_{E_C}$ . En effet on a fait un lien entre  $\nu_* d_\mu$  et  $d_C$  agissant sur certaines classes de formes différentielles sur C. On démontre le résultat analogue mais cette fois pour des formes différentielles à valeur dans  $E_C$ .

On notera  $D_E^k$  l'opérateur différentiel

$$\left(\nu_* \Omega^k_\mu\right)(E_C) \simeq \nu_* \left(\Omega^k_\mu(E)\right) \to \nu_* \left(\Omega^{k+1}_\mu(E)\right) \simeq \left(\nu_* \Omega^{k+1}_\mu\right)(E_C) \tag{6.3.3}$$

obtenu par image directe du  ${\rm d}_\mu^k$  sur le fibré E. Ainsi on a :  $D_E^k=\nu_*{\rm d}_\mu^{E\,k}.$ 

#### Proposition 6.3.1

Avec les notations du paragraphe précédent, le diagramme suivant de faisceaux sur C est commutatif,

$$\Omega_C^k(E_C) \xrightarrow{\nabla_E^k} \Omega_C^{k+1}(E_C)$$

$$\downarrow \qquad \qquad \downarrow$$

$$(\nu_* \Omega_\mu^k)(E_C) \xrightarrow{D_E^k} (\nu_* \Omega_\mu^{k+1})(E_C)$$

Dans un premier temps, si on note  $P_{\mu}^k: \Omega_C^k \to \nu_* \Omega_{\mu}^k$ , alors, par définition de  $\nabla_{E_C}$ ,

$$P_{\mu}^{k+1} \nabla_{E_C} (\omega \otimes e) = P_{\mu}^{k+1} \left( d_C \omega \otimes e + (-1)^k \omega \wedge \nabla_{E_C} e \right)$$
$$= \left( P_{\mu}^{k+1} d_C \omega \right) \otimes e + (-1)^k \left( P_{\mu}^k \omega \right) \wedge P_{\mu}^1 \nabla_{E_C} e$$

on remarque d'après (3.3.7) que  $P^1_\mu$  est l'identité et on a d'après la proposition 6.2.6 la relation  $P^{k+1}_{\mu} \circ \mathbf{d}_C = (\nu_* \mathbf{d}_{\mu}) \circ P^k_{\mu},$ ainsi

$$= ((\nu_* \mathbf{d}_{\mu})(P_{\mu}^k \omega)) \otimes e + (-1)^k (P_{\mu}^k \omega) \wedge \nabla_{E_C} e$$

Maintenant si on relève tout ça dans W

$$(\nu_* d_\mu) (\widetilde{P_\mu^k \omega} \otimes e) = d_\mu \left( \widetilde{P_\mu^k \omega} \otimes \tilde{e} \right)$$

$$= d_\mu \widetilde{P_\mu^k \omega} \otimes \tilde{e} + (-1)^k \widetilde{P_\mu^k \omega} \otimes d_\mu \tilde{e}$$

$$= (\nu_* d_\mu) (\widetilde{P_\mu^k \omega}) \otimes \tilde{e} + (-1)^k \widetilde{P_\mu^k \omega} \otimes \widetilde{\nabla_{E_C} e}$$

par le calcul qui précède

$$= P_{\mu}^{k+1} \widetilde{\nabla_{E_C}}(\omega \otimes e)$$

On a donc bien montré que le diagramme commute, c'est-à-dire

$$P_{\mu}^{k+1}\nabla_{E_C} = (\nu_* \mathbf{d}_{\mu}) \circ P_{\mu}^k$$

#### Fonctorialité 6.4

#### 6.4.1Produit tensoriel

Les constructions de  $E_C$  et  $\nabla_{E_C}$  respectent le produit tensoriel au sens suivant

#### Proposition 6.4.1

Si  $E_Z$  et  $F_Z$  sont deux fibrés L-triviaux sur Z alors

- 1.  $E_Z \otimes F_Z$  est un fibré L-trivial
- 2. Le fibré associé sur C est donné par  $E_C \otimes F_C$
- 3. La connection associée  $\nabla: \mathcal{O}_C(E_C \otimes F_C) \to \Omega_C(E_C \otimes F_C)$  est la connexion  $\nabla_{E_C} + \nabla_{F_C}$

Le point 2 résulte de la trivialité sur les droites, en effet la fibre en s de  $(E \otimes F)_C$  est donnée par

$$H^0(\nu^{-1}(s), \mu^* E_Z \otimes \mu^* F_Z|_{\nu^{-1}(s)}) \simeq H^0(L_s, E_Z \otimes F_Z|_{L_s}) \simeq H^0(L_s, E_Z) \otimes H^0(L_s, F_Z)$$

Pour le point 3, il faut remarquer que sur  $\mathcal{O}_W(\mu^*(E_Z\otimes F_Z))$  l'opérateur  $\mathrm{d}_\mu$  naturel coïncide avec  $\mathbf{d}_{\mu}^{E}+\mathbf{d}_{\mu}^{F}$ . Cela revient à dire que  $\mu^{-1}$  préserve le produit tensoriel

$$\mu^{-1} \mathcal{O}_Z(E_Z \otimes F_Z) \simeq \mu^{-1} \mathcal{O}_Z(E_Z) \otimes_{\mu^{-1} \mathcal{O}_Z} \mu^{-1} \mathcal{O}_Z(F_Z)$$

ce qui est un résultat général.

Cela montre que les  $d_{\mu}^{0}$  coïncident. En conséquence,  $\nabla = \nabla_{E_{C}} + \nabla_{F_{C}}$ . Ce qui montre la proposition.

#### 6.4.2Dualité

#### Lemme 6.4.2

Soit  $E_Z$  un fibré L-trivial et  $E_Z^*$  son dual. On notera  $(E_C, \nabla)$  le fibré à connexion sur C associé à  $E_Z$ .

- $E_Z^*$  est L-trivial.
- Le fibré associé à  $E_Z^*$  est isomorphe à  $E_C^*$ . La connexion associée  $\nabla^*$  est donnée par  $\forall e' \in H^0(U, E_C^*), \forall e \in H^0(U, E_C)$ ,

$$\langle \nabla^* e', e \rangle_{E_C^*, E_C} = d_C \langle e', e \rangle_{E_C^*, E_C} - \langle e', \nabla e \rangle_{E_C^*, E_C}.$$

Le premier point est évident, notons donc  ${\cal F}_C$  le fibré sur C associé à  $E_Z^*.$  Alors

$$\mathcal{O}_C(E_C^*) = \mathcal{O}_C(E_C)^*$$
$$= (\nu_* \mathcal{O}_W(E))^*$$

par dualité de Serre en famille, comme  $K_{\nu} \simeq g^* \mathcal{O}(-2)$ ,

$$= \mathcal{R}^1 \nu_* (\mathcal{O}_W(E)^* \otimes \mathcal{O}(-2))$$
  
=  $\mathcal{R}^1 \nu_* (\nu^* \mathcal{O}_C(F_C) \otimes \mathcal{O}(-2))$ 

par formule de la projection

$$= \mathcal{O}_C(F_C) \otimes \mathcal{R}^1 \nu_* \mathcal{O}(-2)$$
  
=  $\mathcal{O}_C(F_C \otimes \Lambda^2 V_+)$   
 $\cong \mathcal{O}_C(F_C)$ 

ainsi  $E_C^* \cong F_C$  d'où le deuxième point.

Enfin l'opérateur  $d_{\mu}$  sur  $E^*$  est donné par [Del70, 2.7.4], pour toutes sections locales e et e' sur W de  $E = \mu^* E_Z$  et  $E^*$  respectivement,

$$\langle d_{\mu}e', e \rangle_{E^*E} := d_{\mu} \langle e', e \rangle_{E^*E} - \langle e', d_{\mu}e \rangle_{E^*E}$$

La formule étant en particulier vraie pour les ouverts saturés par  $\nu$ , on en déduit le troisième point de 6.4.2 en utilisant la propriété de commutation 6.2.6.

#### 6.4.3 Fonctorialité

L'association  $E_Z \mapsto (E_C, \nabla_{E_C})$  construite précedemment est fonctorielle. Pour préciser ce point on va dans un premier temps regarder son action sur les sections globales.

#### Proposition 6.4.3

Soit  $E_Z$  un fibré L-trivial sur Z, alors

$$H^0(Z, E_Z) \simeq H^0(C, E_C)^{\nabla_{E_C}}$$

C'est-à-dire les sections globales de  $E_Z$  sur Z correspondent bijectivement aux sections globales de  $E_C$  sur C plates pour  $\nabla_{E_C}$ .

Soit  $\sigma$  une section globale de  $E_Z$  sur Z, alors  $\sigma \circ \mu$  est une section globale de  $\mu^{-1} \mathcal{O}_Z(E_Z)$  sur W. Or on a la suite exacte de faisceaux

$$0 \to \mu^{-1} \mathcal{O}_Z(E_Z) \to \mathcal{O}_W(\mu^* E_Z) \xrightarrow{\mathrm{d}_\mu} \Omega^1_\mu(\mu^* E_Z).$$

En passant aux sections globales on trouve une suite exacte

$$0 \to \Gamma(W, \mu^{-1} \mathcal{O}_Z(E_Z)) \to \Gamma(W, \mathcal{O}_W(\mu^* E_Z)) \to \Gamma(W, \Omega^1_\mu(\mu^* E_Z))$$

que l'on peut voir comme espaces sur C

$$0 \to \Gamma(C, \nu_* \mu^{-1} \mathcal{O}_Z(E_Z)) \to \Gamma(C, \mathcal{O}_C(E_C)) \xrightarrow{\nabla_{E_C}} \Gamma(C, \Omega_C^1(E_C))$$

(en utilisant (3.3.7) et la formule de la projection). Ainsi  $\sigma \circ \mu \in \Gamma(C, \nu_* \mu^{-1} \mathcal{O}_Z(E_Z)) = \ker \nabla_{E_C}$ Ce qui démontre la proposition. On peut enfin conclure :

#### Corollaire 6.4.4

Soit  $\phi_Z: E_Z \to F_Z$  un morphisme de fibrés L-triviaux sur Z, alors il induit un morphisme  $\phi_C: E_C \to F_C$  entre les fibrés associés sur C.

Ce morphisme est de plus compatible avec les connexions  $\nabla_{E_C}$  sur  $E_C$  et  $\nabla_{F_C}$  sur  $F_C$ .

On peut voir  $\phi_Z$  comme une section du fibré  $\operatorname{Hom}_Z(E_Z,F_Z)=F_Z\otimes E_Z^*$ . D'après la proposition 6.4.1 et le lemme 6.4.2 ce dernier est un fibré L-trivial associé au fibré à connexion  $\operatorname{Hom}_C(E_C,F_C)$  muni de sa connexion naturelle.

D'après la proposition 6.4.3, on associe à  $\phi_Z$  une section plate  $\phi_C: E_C \to F_C$ . La compatibilité avec les connexions signifie exactement que  $\phi_C$  est une section plate pour la connexion naturelle sur le fibré  $\operatorname{Hom}_C(E_C, F_C)$  (cf [Del70, 2.8]).

Ainsi on a montré qu'à un fibré L-trivial  $E_Z$  correspond un fibré vectoriel holomorphe  $E_C$  sur C (cf 6.1), et une connexion holomorphe  $\nabla_{E_C}$  sur  $E_C$ . Et cette association est fonctorielle au sens où elle fait correspondre les morphismes de fibrés sur Z avec les morphismes plat des fibrés à connexions correspondants. Dans la section suivante, on va préciser des propriétés sur la courbure de la connexion qui donneront une condition nécessaire et suffisante pour qu'un fibré à connexion sur C provienne de Z.

### 6.5 Équivalence de catégories

Dans cette section on formule la correspondance construite entre fibrés L-triviaux et fibrés à connexion sur C, comme une équivalence de catégorie, en explicitant les restrictions sur la courbure de la connexion associée.

Dans le paragraphe 4.2.3, on avait explicité une décomposition du fibré des 2-formes sur C

$$\Lambda_C^2 \simeq \Lambda_+^2 \oplus \Lambda_-^2$$

où  $\Lambda_+^2 \simeq \odot^2 V_- \otimes \Lambda^2 V_+$ .

Sur C, un fibré  $E_C$  à connexion holomorphe  $\nabla$  sera dit à courbure  $\Lambda^2_+$  (ou simplement fibré à connexion  $\Lambda^2_+$ ) si la composée

$$\mathcal{O}_C(E_C) \xrightarrow{\nabla} \Omega^1_C(E_C) \xrightarrow{\nabla} \Omega^2_C(E_C) \twoheadrightarrow \Omega^2_-(E_C)$$

est nulle. La courbure  $F(\nabla)$  peut alors être vue comme un tenseur à valeurs dans  $\Lambda^2_+ \otimes \operatorname{End}(E_C)$ .

On parvient à prolonger la correspondance twistorielle en une équivalence de catégories. Ce résultat généralise [Buc85, II 2.2].

#### Théorème 1

Il y a équivalence entre

- $\bullet\,$  La catégorie des fibrés L-triviaux sur Z,
  - ▶ avec les morphismes de fibrés holomorphes;
- La catégorie des fibrés à connexion holomorphe sur C à courbure  $\Lambda^2_+$ ,
  - ▶ avec les morphismes parallèles de fibrés à connexion holomorphe.

De plus, l'équivalence construite préserve le produit tensoriel, la dualité et les sections globales.

En effet la construction du fibré  $E_C$  associé à un fibré L-trivial  $E_Z$  est décrite dans 6.1 et la connexion associé dans 6.3.

La conservation du produit tensoriel et par la même la fonctorialité est décrite dans 6.4.1. Reste à montrer

- Que le courbure de  $\nabla_{E_C}$  est de type  $\Lambda^2_+$
- La construction réciproque : Associer à tout fibré à connexion  $\Lambda^2_+$  un fibré L-trivial.

#### 6.5.1 Restriction sur la courbure

Le résultat suivant nous donne une restriction sur la courbure d'un fibré à connexion obtenu de cette façon.

#### Proposition 6.5.1

Soit  $(E_C, \nabla_{E_C})$  un fibré à connexion sur C associé à un fibré L-trivial  $E_Z$  sur Z, alors la courbure  $F(E_C)$  de  $\nabla_{E_C}$  est une section de  $\Lambda^2_+ \otimes \operatorname{End}(E_C)$ .

#### Démonstration

En juxtaposant les deux diagrammes de la proposition 6.3.1 pour k=0 et k=1, on trouve le diagramme commutatif suivant

$$\mathcal{O}_{C}(E_{C}) \xrightarrow{\nabla_{E_{C}}} \Omega_{C}^{1}(E_{C}) \xrightarrow{\nabla_{E_{C}}} \Omega_{C}^{2}(E_{C})$$

$$\downarrow \wr \qquad \qquad \downarrow \qquad \qquad \downarrow$$

$$\mathcal{O}_{C}(E_{C}) \xrightarrow{\nu_{*} d_{\mu}} (\nu_{*}\Omega_{\mu}^{1})(E_{C}) \xrightarrow{\nu_{*} d_{\mu}} (\nu_{*}\Omega_{\mu}^{2})(E_{C})$$

Or la composée des deux flèches de la ligne du bas est 0, car  $d_\mu^2=0$  et la composée des deux flèches du haut est

$$(\nabla_{E_C})^2: \mathcal{O}_C(E_C) \to \Omega^2_C(E_C)$$

donc cette application est nulle après projection dans  $(\nu_*\Omega^2_\mu)(E_C)$ , ce qui signifie qu'elle se factorise par

$$\nu_* R_\mu^2(E_C) = \ker \left(\Omega_C^2(E_C) \to (\nu_* \Omega_\mu^2)(E_C)\right)$$

comme de plus elle est  $\mathcal{O}_C$ -linéaire, elle donne une section

$$\mathcal{O}_C \to \nu_* R_\mu^2(\operatorname{End}(E_C))$$

Mais enfin  $\nu_*\Omega_\mu^2=\Omega_-^2$  d'après (5.3.1). Ainsi le noyau  $\nu_*R_\mu^2$  de la projection  $\Omega_C^2\to\nu_*\Omega_\mu^2$  s'identifie à  $\Omega_+^2$  d'où le résultat.

#### 6.5.2 Réciproque

Réciproquement, on montre que tout fibré à connexion  $\Lambda^2_+$  provient de cette façon d'un fibré L-trivial.

#### Proposition 6.5.2

Soit  $(\hat{E}_C, \nabla)$  un fibré à connexion  $\Lambda^2_+$  sur C, alors il existe  $E_Z$  un fibré L-trivial sur Z tel que

$$(\hat{E}_C, \nabla) = (E_C, \nabla_{E_C})$$

Un tel fibré est unique à unique isomorphisme près.

#### Preuve

Notons  $E = \nu^* \hat{E}_C$ . On va dans un premier temps vérifier que  $\nu^* \nabla : \mathcal{O}_W(E) \to \Omega^1_W(E)$  induit par passage au quotient  $\Omega_W \to \Omega_\mu$  une connexion  $\mu$ -relative **plate** sur E. Ensuite on utilisera un résultat de Buchdahl pour construire le fibré  $E_Z$  sur Z correspondant.

On note donc  $\nabla_{\mu}$  la connexion relative  $\mathcal{O}_W(E) \to \Omega^1_{\mu}(E)$ . On veut montrer qu'elle est plate. La courbure de la connexion  $\nu^*\nabla$  passe au quotient en la courbure de  $\nabla_{\mu}$ 

$$\mathcal{O}_{W}(E) \xrightarrow{\nu^{*}\nabla} \Omega_{W}^{1}(E) \xrightarrow{\nu^{*}\nabla} \Omega_{W}^{2}(E)$$

$$\downarrow^{\wr} \qquad \downarrow \qquad \downarrow^{\downarrow}$$

$$\mathcal{O}_{W}(E) \xrightarrow{\nabla_{\mu}} \Omega_{\mu}^{1}(E) \xrightarrow{\nabla_{\mu}} \Omega_{\mu}^{2}(E)$$

Or par hypothèse  $F(\nabla)$  est une section de  $\Omega^2_C(\operatorname{End}(\hat{E}_C))$  dont l'image dans  $\Omega^2_-(\operatorname{End}(\hat{E}_C))$  est nulle. De plus l'application

$$\Omega^2_{\rm G} \to \Omega^2$$

est l'image directe de  $\nu^*\Omega^2_C \twoheadrightarrow \Omega^2_\mu$  par l'application  $\nu.$ 

En regroupant ces arguments, la courbure de  $\nabla_{\mu}$  définit une section globale sur W de  $\Omega^2_{\mu}(\operatorname{End}(E))$  ie une section globale sur C de  $\nu_*\Omega^2_{\mu}(\operatorname{End}(E)) \simeq \Omega^2_{-}(\operatorname{End}(\hat{E}_C))$ . Cette section est l'image de  $F(\nabla)$ , elle doit donc être nulle.

On va utiliser le résultat suivant de Buchdahl :

#### Proposition 6.5.3 ([Buc85, Prop. F] avec n = m = 0)

Soit  $f: X \to Y$  un morphisme de variétés analytiques, et soit  $E \to X$  un fibré vectoriel holomorphe muni d'une connexion holomorphe f-relative  $\nabla_f$ .

On suppose

- que les fibres de  $\mu$  sont connexes et simplement connexes,
- et que la connexion  $\nabla_f$  est plate

Alors il existe un fibré B sur Y tel que

$$(f^*B, d_f) \simeq (E, \nabla_f)$$

il est de plus, unique à unique isomorphisme près.

L'idée pour construire B consiste à pousser en avant le système local des sections plates de E.

D'après ce résultat, comme les fibres de  $\mu$  sont supposées connexes et simplement connexes (cf Topologie des fibres de  $\mu$ ), E est de la forme  $\mu^*E_Z$  pour un certain fibré  $E_Z$  sur Z et  $\nu^*\nabla=\mathrm{d}_{\mu}$ . Comme E provient d'un fibré sur C, il doit être trivial sur les  $P_s=\nu^{-1}(s)$  pour  $s\in C$ . Mais comme  $\mu$  réalise un isomorphisme  $P_s\to L_s$ , nécessairement  $E_Z$  est trivial sur  $L_s$ .

Dès lors  $E_C \simeq \hat{E}_C$  et la connexion  $\nabla_{E_C}$  provient du  $d_{\mu} = \nu^* \nabla$ .

### 6.6 Retour sur la métrique sur l'espace des cycles

Petit point notation : Pour des raisons pratiques on notera  $\sigma$  la forme symplectique relative sur Z telle que définie en 4.4.1. C'est une section globale du fibré L-trivial  $\left(\Lambda^2 T_f^*\right)$  (2) ainsi on désignera par  $\hat{\sigma}$  la section globale sur C du fibré  $\Lambda^2 V^-$  associée par l'équivalence de catégorie. On a vu au paragraphe 4.4.2 que le choix d'un  $\theta \in \Gamma(C, \Lambda^2 V^+)$  définit une métrique complexe

$$h = \hat{\sigma} \otimes \theta : T_C \otimes T_C \to \mathbb{C}$$

c'est-à-dire une forme bilinéaire symétrique non-dégénérée sur le fibré tangent, mais à valeur dans  $\mathbb{C}$  (en particulier, elle admet nécessairement des vecteurs isotropes).

On peut (grâce à  $\theta$ ) choisir une base  $x_0, x_\infty$  de  $V_+$  dans laquelle

$$\theta(x_0, x_\infty) = 1$$

et qui soit plate pour la connexion  $\nabla_+$ . Les vecteurs isotropes de cette métrique sont justement les vecteurs décomposés de  $V_+ \otimes V_-$  (par exemple tous les vecteurs de la forme  $x_0 \otimes v$ ). Ces vecteurs sont appelés null-vecteur dans la littérature [Pen76].

On cherche à définir la connexion de "Levi-Civita complexe"  $\nabla$  qui satisfasse

1. 
$$\nabla_X Y - \nabla_Y X = [X, Y]$$

$$2. \ \nabla h = 0$$

Soient X,Y,Z trois sections locales de  $T_C \simeq V_- \otimes V_+$ . On peut donc écrire X,Y et Z dans  $V_- \otimes V_+$  grâce à cette base <sup>1</sup>

$$X = X^{A}x_{A} (= X^{0}x_{0} + X^{\infty}x_{\infty})$$
$$Y = Y^{A}x_{A}$$
$$Z = Z^{A}x_{A}$$

les deux équations de la connexion entraînent

$$\langle Z, dh(X, Y) \rangle = h(\nabla_Z X, Y) + h(X, \nabla_Z Y).$$

Mais  $h(X,Y) = (\hat{\sigma} \otimes \theta)(X^A Y^B x_A x_B) = \hat{\sigma}(X^0,Y^\infty) + \hat{\sigma}(X^\infty,Y^0)$ , ce qui nous donne

$$\langle Z, d\hat{\sigma}(X^0, Y^\infty) \rangle + \langle Z, d\hat{\sigma}(X^\infty, Y^0) \rangle = h(\nabla_Z X, Y) + h(X, \nabla_Z Y).$$

<sup>1.</sup> En utilisant la notation de sommation d'Einstein (somme sur les indices répétés en exposant et en indice).

#### 6.6.1 Calcul à l'aide de $d_{\mu}$

Reste à comprendre  $d\hat{\sigma}(X^0,Y^\infty)$ , mais comme  $d=\nu_*d_\mu$  d'après la proposition 6.2.1 on peut le voir sur W comme

$$d_{\mu}\sigma(X^{0}, Y^{\infty}) = (d_{\mu}\sigma)(X^{0}, X^{\infty}) + \sigma(d_{\mu}X^{0}, Y^{\infty}) + \sigma(X^{0}, d_{\mu}Y^{\infty})$$

où les  $d_{\mu}$  sont respectivement les différentielles de De Rham holomorphe relatives suivantes

$$\mathcal{O}_W(\nu^*\Lambda^2V^-) \to \Omega_\mu(\nu^*\Lambda^2V^-)$$
$$\mathcal{O}_W(\nu^*V_-) \to \Omega_\mu(\nu^*V_-)$$

Or  $\sigma = \mu^* \hat{\sigma}$  donc est plate pour  $d_{\mu}$ , ainsi en revenant sur C on peut écrire

$$d\hat{\sigma}(X^0, Y^{\infty}) = \hat{\sigma}\left(\nabla_{-}X^0, Y^{\infty}\right) + \hat{\sigma}\left(X^0, \nabla_{-}Y^{\infty}\right)$$

ou plus précisément

$$\langle Z, d\hat{\sigma}(X^0, Y^\infty) \rangle = \hat{\sigma}\left((\nabla_-)_Z X^0, Y^\infty\right) + \hat{\sigma}\left(X^0, (\nabla_-)_Z Y^\infty\right)$$

En regroupant avec le résultat du paragraphe précédent

$$\begin{split} h(\nabla_Z X, Y) + h(X, \nabla_Z Y) &= \quad \hat{\sigma} \left( (\nabla_-)_Z X^0, Y^\infty \right) + \hat{\sigma} \left( X^0, (\nabla_-)_Z Y^\infty \right) \\ &+ \hat{\sigma} \left( (\nabla_-)_Z X^\infty, Y^0 \right) + \hat{\sigma} \left( X^\infty, (\nabla_-)_Z Y^0 \right). \end{split}$$

On peut dès lors identifier les termes  $\mathcal{C}^{\infty}$ -linéaires par rapport à Y pour obtenir

$$h(\nabla_Z X, Y) = \hat{\sigma}\left((\nabla_-)_Z X^0, Y^\infty\right) + \hat{\sigma}\left((\nabla_-)_Z X^\infty, Y^0\right)$$

mais d'autre part

$$h(\nabla_Z X, Y) = (\hat{\sigma} \otimes \theta) \left( \nabla_Z (X^A x_A), Y^B x_B \right)$$

En posant  $\nabla_Z(X^Ax_A) = T^Ax_A$  et en identifiant avec l'équation du dessus les parties  $Y^0$  et  $Y^{\infty}$ , on trouve

$$\nabla_Z X = \left( (\nabla_-)_Z X^A \right) x_A$$

Bilan : la connexion de Levi-Civita associée à la métrique h correspond à  $\nabla_- + \nabla_+$  agissant sur les vecteurs tangents à C vus via l'isomorphisme  $T_C \simeq V_- \otimes V_+$ .

## Chapitre 7

# Transport de cohomologie

Aaron: God, everything is so different in there. You feel how cut off you are, you know? It's this entirely separate world, and you encompass most of it. And the sound... Isn't the sound different, on the inside? It's, it's like it's singing. I guess you can't hear it on the outside. I had this dream in there.

**Abe:** About what?

**Aaron:** I was on, or near, the ocean and, uh, I just kept hearing the surf. It was so uneventful, at night, when the tide kept coming in and out.

<sup>—</sup> Primers (2004), Shane CARRUTH

Dans ce chapitre, on s'intéresse à la cohomologie des fibrés L-constants sur Z. On interprète ces espaces de cohomologie en terme de solutions d'équations différentielles (ou de cohomologie de complexes différentiels) sur C.

En suivant un raisonnement analogue à celui d'Eastwood et LeBrun dans [EL92] et via la proposition 1.2.1 sur le calcul de la cohomologie sur Z après redressement par  $\mu$  sur W et l'hypothèse 3.4.1 sur la topologie des fibres de  $\mu$ , on établira un lien entre  $H^k(Z, E_Z)$  et  $H^k\left(\Gamma\left(C, \nu_*\Omega^{\bullet}_{\mu}(E_C)\right), D^{\bullet}_{E}\right)$ .

La cohomologie d'un fibré vectoriel holomorphe  $E_Z$  sur une variété complexe Z peut se calculer via la résolution de Dolbeault du faisceau des sections holomorphes de  $E_Z$ . Mais la géométrie complexe de l'espace des twisteurs est difficile à appréhender.

L'étude des fibrés holomorphes sur Z est d'ailleurs une démarche de linéarisation pour obtenir des informations sur cette géométrie complexe. Ainsi pour calculer la cohomologie de  $E_Z$  on se placera dans W qui joue le rôle de "désenchevêtrement" de Z. L'analogue sur W du complexe de Dolbeault de  $E_Z$  est en fait le complexe de De Rham holomorphe  $\mu$ -relatif sur W associé au fibré  $\mu^*E_Z$ . L'hypothèse que l'on a faite sur les fibres de  $\mu$  (3.4.1) est utilisée de façon fondamentale dans cette analogie.

On va alors s'intéresser à la cohomologie des complexes de De Rham holomorphes  $\mu$ -relatifs sur W. On va donc montrer dans un premier temps qu'ils sont acycliques pour ensuite calculer les complexes des sections globales associés sur C. On fera pour cela l'hypothèse que l'espace C est de Stein.

Enfin on tirera les conséquences de cette correspondance énoncée dans le théorème 2 sur certains fibrés de  $E_Z$ , notamment le cas du fibré  $\mathcal{O}_Z$ .

Un travail analogue pour la correspondance cohomologique a été mené par Green et Griffiths [GGK14, GG13] dans le cas des variétés homogènes.

### 7.1 Résolution relative et acyclicité

#### 7.1.1 Résolution de Buchdahl

Dans l'article de Buchdahl [Buc85, sec. I.1.2 p.439], le résultat suivant est présenté

#### Proposition 7.1.1

Soit B un fibré vectoriel holomorphe sur Z, alors le complexe de De Rham holomorphe relatif à  $\mu$ 

$$\mathcal{O}_W(\mu^*B) \xrightarrow{d_{\mu}} \Omega_{\mu}(\mu^*B) \xrightarrow{d_{\mu}} \Omega^2_{\mu}(\mu^*B) \xrightarrow{d_{\mu}} \cdots$$

est une résolution du faisceau  $\mu^{-1} \mathcal{O}_Z(B)$  sur W

C'est un résultat général de géométrie analytique, on pourra également se référer à [Del70, Théorème 2.23.(ii)]. On rappelle que la différentielle  $d_{\mu} = d_{\mu}^{B}$  a été décrite en 6.3.

#### 7.1.2 Acyclicité des faisceaux sur W

Dans ce paragraphe, on suppose que C est Stein et on démontre les trois résultats suivant d'acyclicité de faisceaux sur W.

On rappelle qu'un faisceau  $\mathcal{F}$  sur une variété W est dit  $\Gamma$ -acyclique si pour tout k>0,  $H^k(W,\mathcal{F})=0$ .

#### Proposition 7.1.2

- 1. Sur W, les faisceaux  $\Omega^p_{\mu}$  sont  $\Gamma$ -acycliques pour tout  $p \geq 0$ .
- 2. Soit  $E_Z$  un fibré vectoriel L-trivial sur Z. Et soit  $E = \mu^* E_Z$ . Alors pour tout  $p \ge 0$ , le faisceau  $\Omega^p_\mu(E)$  est  $\Gamma$ -acyclique.
- 3. Soit  $E_Z$  un fibré L-constant sur Z, on suppose de plus que pour tout  $s \in C$ ,

$$\mu^* E_Z | \nu^{-1}(s) \simeq \bigoplus_i \mathcal{O}(a_i)$$
 (7.1.1)

avec  $a_i \ge -1$  ne dépendant pas de s.

Alors pour tout  $p \geq 0$ , le faisceau  $\Omega^p_{\mu}(\mu^* E_Z)$  est  $\Gamma$ -acyclique.

Il est clair que le point 3 entraine 2 (cas particulier où tous les  $a_i$  sont nuls) qui lui même implique le point 1 (cas particulier  $E_Z = \mathcal{O}_Z$ ).

#### Caractère Stein de l'espace des cycles

Verbitsky [Ver14] a démontré que l'espace des cycles tout entier de l'espace des twisteurs d'une surface K3 est Stein. Pour cela il montre que la fonction sur C qui donne le volume d'une section est fortement plurisousharmonique.

Ce n'est pas clair où il utilise le caractère K3. En fait une adaptation de [DLDM13, Theorem D] sous l'hypothèse qu'aucun élément de la famille de Calabi ne contient de courbes rationnelles pourrait donner le même résultat dans le cas général. L'idée de l'argument est un tout petit peu plus détaillée en 8.4.1.

#### Suite spectrale de Leray

La dégénérescence de la suite spectrale de Leray pour  $\nu$  s'écrit pour un faisceau  $\mathcal F$  sur W

$$E_2^{p,q}: H^p(C, \mathcal{R}^q \nu_* \mathcal{F}) \Rightarrow H^{p+q}(W, \mathcal{F})$$

Et comme  $\nu$  est propre, si  $\mathcal{F}$  est un faisceau cohérent, alors par théorème de Grauert, les  $\mathcal{R}^q \nu_* \mathcal{F}$  sont cohérents.

On peut aussi remarquer que pour un faisceau  $\mathcal{F}$  cohérent, les  $\mathcal{R}^q \nu_* \mathcal{F}$  s'annulent pour q > 1 (cf 5.1.2) car les fibres sont de dimension 1. Ainsi la page  $E_2$  est nulle hors de la bande  $0 \le q \le 1$ .

Enfin, si C est Stein, alors pour tout  $\mathcal{G}$  faisceau cohérent sur C, et pour tout p > 0 on a  $H^p(C,\mathcal{G}) = 0$  d'après le théorème B de Cartan. En conséquence la page  $E_2$  est supportée sur  $\{(0,0),(0,1)\}$ . Donc la suite dégénère en  $E_2$ . Ainsi sous cette hypothèse, pour tout fibré vectoriel holomorphe F sur W, de faisceau des sections  $\mathcal{F}$ , on a

$$H^{q}(W,\mathcal{F}) \simeq \begin{cases} 0 & \text{si } q > 1 \\ H^{0}(C, \mathcal{R}^{1} \nu_{*} \mathcal{F}) & \text{si } q = 1 \\ H^{0}(C, \nu_{*} \mathcal{F}) & \text{si } q = 0 \end{cases}$$

En particulier,  $\mathcal{F}$  est Γ-acyclique dès lors que  $\mathcal{R}^1 \nu_* \mathcal{F} = 0$ . On pourra se référer à [Dem02, 13.B].

En conséquence, tout fibré sur W de la forme  $\nu^* E_C \otimes \mathcal{O}(r)$  avec  $r \geq -1$  est acyclique pour les sections globales sur W.

# 7.1.3 Cohomologie sur W

En regroupant les résultats des deux paragraphes précédents : Soit  $E_Z$  un fibré L-trivial, alors : Le faisceau  $\mu^{-1} \mathcal{O}_Z(E_Z)$  sur W a une résolution  $\Gamma$ -acyclique donnée par le complexe de De Rham relatif à  $\mu$  :

$$0 \to \mathcal{O}_W(\mu^* E_Z) \to \Omega^1_\mu(\mu^* E_Z) \to \Omega^2_\mu(\mu^* E_Z) \to \cdots$$

ainsi

$$H^{k}\left(W, \mu^{-1} \mathcal{O}_{Z}(E_{Z})\right) \simeq H^{k}\left(\Gamma\left(W, \Omega_{\mu}^{\bullet}(E)\right), d_{\mu}\right)$$
 (7.1.2)

où  $E = \mu^* E_Z$ .

# 7.1.4 Conséquences

En regroupant la proposition 3.4.1 qui permet de passer de Z à W et (7.1.2) qui permet de passer de W à C, on en déduit

#### Théorème 2

On suppose que

- C une variété de Stein (7.1.2)
- Les fibres de  $\mu$  sont cohomologiquement triviales (3.4.1)
- 1. Soit  $E_Z$  un fibré L-trivial sur Z,  $E_C$  le fibré associé alors pour tout k,

$$H^{k}\left(Z,E_{Z}\right)\simeq H^{k}\left(\Gamma\left(C,\nu_{*}\Omega_{\mu}^{\bullet}(E_{C})\right),D_{E}^{\bullet}\right)$$

2. Soit  $E_Z$  un fibré sur Z, on suppose de plus (7.1.1) ie que pour tout  $s \in C$ ,

$$\mu^* E_Z | \nu^{-1}(s) \simeq \bigoplus_i \mathcal{O}(a_i)$$

avec  $a_i \ge -1$  ne dépendant pas de s. Alors pour tout k,

$$H^{k}\left(Z, E_{Z}\right) \simeq H^{k}\left(\Gamma\left(C, \nu_{*}\left(\Omega_{\mu}^{\bullet}(\mu^{*}E_{Z})\right)\right), D_{E}^{\bullet}\right)$$

On a exprimé en section 5.3, les faisceaux  $\nu_*\Omega^p_\mu$ . À l'aide de la formule de la projection, on peut donc écrire pour  $E_Z$  fibré L-trivial

$$\nu_* \left( \Omega^p_\mu(\mu^* E_Z) \right) \simeq \mathcal{O}_C \left( \Lambda^p V^- \otimes \odot^p V_+ \otimes E_C \right).$$

Ainsi le complexe construit dans 2 qui calcule  $H^p(Z, E_Z)$  s'écrit à l'aide des fibrés spinoriels

$$\Gamma\left(\Lambda^{p-1}V^{-}\otimes\odot^{-1}pV_{+}\otimes E_{C}\right)\stackrel{D_{E_{C}}^{p-1}}{\overset{D}{\longleftrightarrow}}\Gamma\left(\Lambda^{p}V^{-}\otimes\odot^{p}V_{+}\otimes E_{C}\right)\stackrel{D_{E_{C}}^{p}}{\overset{D}{\longleftrightarrow}}\Gamma\left(\Lambda^{p+1}V^{-}\otimes\odot^{p+1}V_{+}\otimes E_{C}\right).$$

L'opérateur différentiel  $D_E^{\bullet} = \nu_* \mathrm{d}_{\mu}$  sur C peut être compris à l'aide de 6.3.1. Mais plus précisément, dans la section suivante on montre que les opérateurs  $D_E^k$  sont obtenus par règle de Leibniz avec  $\nabla_{E_C}$ , antisymétrisation par rapport aux composantes de  $V^-$  et symétrisation par rapport aux composante dans  $V_+$ .

# 7.2 Étude des opérateurs différentiels

On va dans un premier temps expliciter l'opérateur  $d^1_{\mu}$  sur W à l'aide de l'opérateur  $d_{\mu}$  en degré 0 sur le fibré  $\mu^*\Omega_f(2)$  à travers le lemme 7.2.2. On va ensuite pousser en avant pour décrire l'opérateur  $D^1$  et les opérateurs  $D^1_E$  pour tout fibré L-trivial. Pour le faire de façon rigoureuse, on a besoin du lemme 7.2.1 suivant qui est un résultat classique dérivant de la règle de Bott (1,2,2)

Enfin pour expliciter les opérateurs  $D_E^k$ , on va généraliser le lemme 7.2.2 aux différentielles de degré supérieur (cf lemme 7.2.4).

#### Lemme 7.2.1

Soit V un espace vectoriel sur  $\mathbb{C}$  de dimension finie et  $\mathbb{P}V$  l'espace projectif (des quotients de rang 1) associé. On note toujours V le fibré trivial sur  $\mathbb{P}V$  de fibre V. Alors pour tout  $k \in \mathbb{N}$ , le passage aux section globales du morphisme tautologique

$$V(k) \to \mathcal{O}(k+1)$$

correspond à l'application produit symétrique

$$\begin{pmatrix} V \otimes \odot^k V & \to & \odot^{k+1} V \\ a_0 \otimes (a_1 \cdots a_k) & \mapsto & a_0 a_1 \cdots a_k \end{pmatrix}$$

On montre ensuite le lemme central 7.2.2 qui est un analogue du lemme 1.2 de [EPW81].

On rappelle que Si  $f: X \to Y$  est un morphisme et E un fibré sur Y, alors il existe une unique connexion f-relative plate sur  $\mathcal{O}_X(f^*E)$  que l'on note  $\mathrm{d}_f^E$  ou  $\mathrm{d}_f^\sharp$  s'il n'y a pas d'ambiguïté sur le fibré E.

#### Lemme 7.2.2

Avec les notations usuelles, le diagramme suivant commute

$$\mu^* \Omega_f(2) \xrightarrow{d_\mu^\sharp} \Omega_\mu \left( \mu^* \Omega_f(2) \right) \xrightarrow{1 \otimes \Psi} \Omega_\mu \otimes \Omega_\mu$$

$$\downarrow^{\Psi} \qquad \qquad \downarrow^{\wedge}$$

$$\Omega_\mu \xrightarrow{d_\mu^1} \qquad \qquad \Omega_\mu^2$$

où  $\Psi$  désigne l'isomorphisme  $\mu^*\Omega_f(2) \simeq \Omega_\mu$  construit en (4.3.4).

Ces deux résultats permettent de déterminer l'image directe  $D_E$  de l'opérateur  $d^{\sharp}_{\mu}: \Omega_{\mu}(\mu^*E_Z) \to \Omega^2_{\mu}(\mu^*E_Z)$  pour n'importe quel fibré L-trivial  $E_Z$ .

#### Corollaire 7.2.3

Soit  $E_Z \to Z$  un fibré L-trivial, alors le diagramme suivant sur W commute

$$\mu^* \Omega_f(E_Z(2)) \xrightarrow{-d_\mu^\sharp} \Omega_\mu \left( \mu^* \Omega_f(E_Z(2)) \right) \xrightarrow{1 \otimes \Psi} \Omega_\mu \otimes \Omega_\mu \left( \mu^* E_Z \right)$$

$$\downarrow^{\Psi} \qquad \qquad \downarrow^{\wedge}$$

$$\Omega_\mu \left( \mu^* E_Z \right) \xrightarrow{d_\mu^E} \Omega_\mu^2 \left( \mu^* E_Z \right)$$

et son image directe par  $\nu$  donne le diagramme commutatif suivant

$$\nabla_{V^{-}} + \nabla_{V_{+}} + \nabla_{E}$$

$$\Omega_{C}(E_{C})$$

$$O(V^{-} \otimes V^{-} \otimes V_{+} \otimes E_{C})$$

$$O(V^{-} \otimes V^{-} \otimes O^{2}V_{+} \otimes E_{C})$$

$$O(V^{-} \otimes V^{-} \otimes O^{2}V_{+} \otimes E_{C})$$

$$O(\Lambda^{2}V^{-} \otimes O^{2}V_{+} \otimes E_{C})$$

Ce dernier résultat découle immédiatement des deux lemmes précédents. En effet on tensorise le diagramme du lemme 7.2.2 par  $\mathcal{O}_W(\mu^*E)$  au dessus de  $\mu^{-1}\mathcal{O}_Z$  (ce qui est possible car les opérateurs  $d_\mu$  sont linéaires par rapport à ce dernier faisceau) puis on prend son image directe par  $\nu$ . Il suffit de remarquer que  $\nu_*\Psi$  donne l'identification  $\Omega_C \simeq \mathcal{O}_C(V^- \otimes V_+)$ .

# 7.2.1 Préliminaire : les dérivées relatives à q et $\nu$ sur W

On rappelle que  $W \simeq C \times \mathbb{P}^1$  avec  $\nu : W \to C$  et  $g : W \to \mathbb{P}^1$ . Ainsi

$$\Omega_W \simeq \underbrace{\Omega_{\nu}}_{g^*\Omega_{\mathbb{P}^1}} \oplus \underbrace{\nu^*\Omega_{C}}_{\Omega_g}$$

et en particulier pour  $f \in \mathcal{O}_W$ 

$$\mathrm{d}f = \mathrm{d}_{\nu}f + \mathrm{d}_{a}f.$$

En degré 2,

$$\Omega_W^2 \simeq \Omega_g^2 \oplus \Omega_g \otimes \Omega_{\nu}$$

et l'application  $d^1: \Omega_W \to \Omega_W^2$  se décompose donc de la façon suivante sur  $\theta = \alpha d_\nu \zeta + \beta \nu^* \theta_C$ 

$$d\theta = d(\alpha d_{\nu} \zeta) + d(\beta \nu^* \theta_C) = d\alpha \wedge d_{\nu} \zeta + d\beta \wedge \nu^* \theta_C + \beta \nu^* d_C \theta_C$$

car  $d_{\nu}\zeta = g^*d_{\mathbb{P}^1}\zeta$  donc  $d_gd_{\nu}\zeta = 0$ . Ainsi en utilisant la décomposition  $d = d_{\nu} + d_g$  pour les fonctions, on trouve

$$d\theta = d_q \alpha \wedge d_\nu \zeta + d_\nu \beta \wedge \nu^* \theta_C + d_q \beta \wedge \nu^* \theta_C + \beta \nu^* d_C \theta_C.$$

Autrement dit

$$d^{1}\theta = d_{q}[\theta]_{q} + d_{\nu}[\theta]_{q} + d_{q}[\theta]_{\nu}.$$

Soit alors  $f \in \mathcal{O}_W$ , alors  $d^1 df = 0$  ce qui donne

$$0 = d_{q}[df]_{q} + d_{\nu}[df]_{q} + d_{q}[df]_{\nu} = 0 + d_{\nu}d_{q}f + d_{q}d_{\nu}f$$

donc sur les fonctions

$$d_{\alpha}d_{\nu} = -d_{\nu}d_{\alpha}$$
.

Il convient de remarquer que la restriction à  $\Omega_{\nu}$  de la différentielle relative  $d_g^1: \Omega_{\nu} \to \Omega_g \otimes \Omega_{\nu}$  coïncide avec  $d_g^{\sharp}: \mathcal{O}(g^*\Omega_{\mathbb{P}^1}) \to \Omega_g(g^*\Omega_{\mathbb{P}^1})$ .

# 7.2.2 Preuve du lemme principal

On montre le résultat du lemme 7.2.2 par induction finie : d'abord pour les formes exactes puis pour les produits de formes exactes par une fonction et enfin par linéarité pour toute section locale de  $\mu^*\Omega_f(2)$ .

On se fixe  $\partial_{\zeta}$  une base locale de  $g^*T_{\mathbb{P}^1} \simeq \mathcal{O}(2)$ . Ce choix n'a rien d'arbitraire.

#### Pour les formes exactes

Soit  $\varphi \in \mathcal{O}_Z$ , on va démontrer le lemme pour  $\theta = d_g(\varphi \circ \mu) \otimes \partial_{\zeta} = \mu^* d_f \varphi \otimes \partial_{\zeta}$ . On notera  $\phi = \varphi \circ \mu$ .

D'une part il est clair que  $d^{\sharp}_{\mu}\theta = \mu^* d_f \varphi \otimes d^{\sharp}_{\mu} \partial_{\zeta}$ , car cet opérateur ne dérive pas les sections provenant de  $\mu$ .

Construction concrète de  $\Psi$  Soit  $\alpha \otimes v$  dans  $\mu^*\Omega_f \otimes \mathcal{O}(2)$ , en particulier on voit  $\alpha$  comme un élément de  $\Omega_q$ . Alors la classe dans  $\Omega_{\mu}$ 

$$\left[ \left\langle \mathbf{d}_{\nu}^{\sharp} \alpha , v \right\rangle_{\Omega_{\nu} \otimes \mathcal{O}(2)} \right]_{\mu}$$

et bien définie. Il s'agit de  $\Psi(\alpha \otimes v)$ .

Il suffit de montrer que la construction est bien  $\mathcal{O}_W$ -bilinéaire. Soient  $\lambda, \xi \in \mathcal{O}_W$ , on applique la construction précédente à

$$\lambda \alpha \otimes \xi v$$

or  $d^{\sharp}_{\nu}(\lambda\alpha) = d_{\nu}\lambda \otimes \alpha + \lambda d^{\sharp}_{\nu}\alpha$ ; d'où le crochet de dualité donne

$$\xi \langle d_{\nu} \lambda , v \rangle_{\Omega_{\nu} \otimes \mathcal{O}(2)} \alpha + \lambda \xi \langle d_{\nu}^{\sharp} \alpha , v \rangle_{\Omega_{\nu} \otimes \mathcal{O}(2)}$$

mais comme la classe de  $\alpha$  dans  $\Omega_\mu$  est nulle, on trouve donc

$$\lambda \xi \left[ \left\langle \mathbf{d}_{\nu}^{\sharp} \alpha , v \right\rangle_{\Omega_{\nu} \otimes \mathcal{O}(2)} \right]_{\mu}.$$

Relation avec l'isomorphisme  $\Psi$  Pour comprendre la relation entre l'isomorphisme

$$\Omega_{\mu} \simeq \mu^* \Omega_f(2)$$

issu de la suite d'Euler, construit en (4.3.4) et l'opérateur  $\Psi$  construit ci-dessus il est plus intuitif de travailler avec des champs vecteurs.

Soit  $u \otimes v \in T_{\mu} \otimes T_{\mathbb{P}^1} \simeq T_{\mu}(2)$ , en un point  $(s,\zeta) \in W$  alors u peut être représenté par un germe de famille de déformations de  $L_s$  passant par  $z = s(\zeta)$  (on utilise ici le théorème de Kodaira). Soit  $(s_t)_{-\varepsilon < t < \varepsilon}$  une telle famille. Alors on peut pour chaque courbe  $L_{s_t}$  considérer le vecteur tangent  $(s_t)_*v$  et sont image  $V_t$  dans  $T_f$ . Alors la dérivée

$$\frac{\partial V_t}{\partial t}|_{t=0}$$

donne un vecteur de  $T_f$  en z qui dépend bilinéairement de u et v. Il est clair que cette construction est le dual de la construction de  $\Psi$  du paragraphe précédent.

#### **Dérivation** Considérons donc désormais

$$d_{\mu}\Psi\theta\in\Omega^{2}_{\mu}$$

On remarque tout d'abord que  $\partial_{\zeta} \in \mathcal{O}(2) = g^* \mathcal{O}(2) = \mu^* f^* \mathcal{O}(2)$ . Donc  $d^{\sharp}_{\mu} \partial_{\zeta}$  existe et est un élément de  $\Omega_{\mu}(2)$  que l'on peut donc localement l'écrire  $\gamma \otimes \partial_{\zeta}$  avec  $\gamma \in \Omega_{\mu}$ . Ainsi

$$\begin{split} \mathrm{d}_{\mu} \Psi \theta &= \mathrm{d}_{\mu} \left[ \left\langle \mathrm{d}_{\nu}^{\sharp} \mathrm{d}_{g} \phi \; , \; \partial_{\zeta} \right\rangle_{\Omega_{\nu} \otimes \mathcal{O}(2)} \right]_{\mu} \\ &= \mathrm{d}_{\mu} \left\langle \left[ \mathrm{d}_{\nu}^{\sharp} \mathrm{d}_{g} \phi \right]_{\mu} \; , \; \partial_{\zeta} \right\rangle_{\Omega_{\nu} \otimes \mathcal{O}(2)} \end{split}$$

par compatibilité de l'opérateur  $d_{\mu}$  avec le produit de dualité  $\mathcal{O}(-2)\otimes\mathcal{O}(2)\simeq \mu^*\mathcal{O}(-2)\otimes\mu^*\mathcal{O}(2)$ 

$$= \left\langle \mathrm{d}_{\mu}^{\mathcal{O}(-2)} \left[ \mathrm{d}_{\nu}^{\sharp} \mathrm{d}_{g} \phi \right]_{\mu} \; , \; \partial_{\zeta} \right\rangle_{\Omega_{\nu} \otimes \mathcal{O}(2)} + \left\langle \left[ \mathrm{d}_{\nu}^{\sharp} \mathrm{d}_{g} \phi \right]_{\mu} \; , \; \mathrm{d}_{\mu}^{\mathcal{O}(2)} \; \partial_{\zeta} \right\rangle_{\Omega_{\nu} \otimes \mathcal{O}(2)}$$

où le second crochet antisymétrise par rapport à  $\Omega_{\mu}$ 

$$= \left\langle \left[ \mathrm{d}_g^\sharp \mathrm{d}_\nu^\sharp \mathrm{d}_g \phi \right]_\mu \; , \; \partial_\zeta \right\rangle_{\Omega_\nu \otimes \mathcal{O}(2)} + \left\langle \left[ \mathrm{d}_\nu^\sharp \mathrm{d}_g \phi \right]_\mu \; , \; \gamma \otimes \partial_\zeta \right\rangle_{\Omega_\nu \otimes \mathcal{O}(2)}$$

or  $\mathrm{d}_{\nu}^{\sharp}\mathrm{d}_{q}=-\mathrm{d}_{q}^{\sharp}\mathrm{d}_{\nu}$  et donc le premier terme s'annule

$$\begin{split} &= \left\langle \left[ \mathbf{d}_{\nu}^{\sharp} \mathbf{d}_{g} \phi \right]_{\mu} , \gamma \otimes \partial_{\zeta} \right\rangle_{\Omega_{\nu} \otimes \mathcal{O}(2)} \\ &= -\gamma \wedge \left\langle \left[ \mathbf{d}_{\nu}^{\sharp} \mathbf{d}_{g} \phi \right]_{\mu} , \partial_{\zeta} \right\rangle_{\Omega_{\nu} \otimes \mathcal{O}(2)} \\ &= -\gamma \wedge \left[ \left\langle \mathbf{d}_{\nu}^{\sharp} \mathbf{d}_{g} \phi , \partial_{\zeta} \right\rangle_{\Omega_{\nu} \otimes \mathcal{O}(2)} \right]_{\mu} \\ &= -\gamma \wedge \Psi \theta \end{split}$$

Seconde application de  $\Psi$ . Appliquons maintenant  $\Psi$  ou plutôt  $\Psi \wedge 1_{\Omega_{\mu}}$  à

$$d_{\mu}^{\sharp}\theta = d_{g}\phi \otimes d_{\mu}^{\sharp} \,\partial_{\zeta} = d_{g}\phi \otimes \gamma \,\partial_{\zeta} = (d_{g}\phi \otimes \partial_{\zeta}) \otimes \gamma$$

qui est un élément de  $(\mu^*\Omega_f(2))\otimes\Omega_{\mu}$ .

Ainsi on trouve que

$$(\Psi \wedge 1_{\Omega_{\mu}}) (d_{\mu}^{\sharp} \theta) = -\gamma \wedge \Psi \theta$$

#### Le cas général

On a montré le résultat dans le cas de  $\theta = \mu^* d_f \varphi \otimes \partial_{\zeta}$ , soit maintenant une section locale de  $\mu^* \Omega_f(2)$  de la forme  $\lambda \theta$ , pour  $\lambda \in \mathcal{O}_W$ .

Alors il est clair par construction que  $\Psi$  est  $\mathcal{O}_W$ -linéaire et donc  $\Psi(\lambda\theta) = \lambda\Psi(\theta)$ . Puis sa dérivée donne

$$d_{\mu}^{1}\left(\lambda\Psi\theta\right) = d_{\mu}\lambda \wedge \Psi\theta + \lambda d_{\mu}^{1}\Psi\theta$$

or par le lemme dans le cas exact,

$$d_{\mu}^{1}\Psi\theta = (1 \wedge \Psi)d_{\mu}^{\sharp}\theta.$$

Ainsi

$$d_{\mu}^{1}(\lambda \Psi \theta) = d_{\mu} \lambda \wedge \Psi \theta + \lambda (1 \wedge \Psi) d_{\mu}^{\sharp} \theta.$$

De l'autre coté,

$$d_{\mu}^{\sharp}(\lambda\theta) = d_{\mu}\lambda \otimes \theta + \lambda d_{\mu}^{\sharp}\theta$$

et son image par  $1 \wedge \Psi$  est donc

$$d_{\mu}\lambda \wedge \Psi\theta + \lambda(1 \wedge \Psi)d_{\mu}^{\sharp}\theta$$

d'où le lemme dans le cas  $\lambda\theta$ . Par linéarité toute section locale de  $\mu^*\Omega_f(2)$  peut se ramener à ce cas et donc le lemme est vérifié.

# 7.2.3 En degré supérieur

#### Lemme 7.2.4

Avec les notations précédentes, le diagramme suivant commute pour tout  $k \geq 0$ 

$$\begin{array}{cccc} \mu^*\Omega_f^k(2k) & \xrightarrow{-d_\mu^\sharp} & \Omega_\mu \left( \mu^*\Omega_f^k(2k) \right) & \xrightarrow{1 \, \otimes \, \Psi^k} & \Omega_\mu \otimes \Omega_\mu^k \\ \downarrow^{\Psi^k} & & & \downarrow^{\wedge} \\ \Omega_\mu^k & \xrightarrow{-d_\mu^k} & \Omega_\mu^{k+1} & \end{array}$$

#### Démonstration

Il suffit de poursuivre la preuve par induction pour le lemme 7.2.2. Soient  $p, q \in \mathbb{N}$  et k = p + q. Soit  $\theta \in \mu^* \Omega_f^p(2p)$  et  $\tau \in \mu^* \Omega^q(2q)$ . Supposons le lemme 7.2.4 vérifié pour  $\theta$  et  $\tau$  et montrons le pour  $\theta \wedge \tau$ .

D'une part,  $\Psi^k(\theta \wedge \tau) = \Psi^p \theta \wedge \Psi^q \tau$  et on peut calculer sa différentielle k-ième relativement à  $\mu$  qui donne par règle de Leibniz

$$\mathrm{d}_{u}^{p}\Psi^{p}\theta \wedge \Psi^{q}\tau + (-1)^{p}\Psi^{p}\theta \wedge \mathrm{d}_{u}^{q}\Psi^{q}\tau.$$

D'autre part  $d_{\mu}^{\sharp}(\theta \wedge \tau) = d_{\mu}^{\sharp}\theta \wedge \tau + \theta \wedge d_{\mu}^{\sharp}\tau$ . Et en appliquant  $(1 \wedge \Psi^{k})$  on trouve

$$(1 \wedge \Psi^p) d^{\sharp}_{\mu} \theta \wedge \Psi^q \tau + (-1)^p \Psi^p \theta \wedge (1 \wedge \Psi^q) d^{\sharp}_{\mu} \tau$$

ce qui par hypothèse d'induction revient à

$$\mathrm{d}_{\mu}^{p}\Psi^{p}\theta \wedge \Psi^{q}\tau + (-1)^{p}\Psi^{p}\theta \wedge \mathrm{d}_{\mu}^{q}\Psi^{q}\tau.$$

d'où le résultat.

# Conséquence

On a alors un analogue immédiat du corollaire 7.2.3

#### Corollaire 7.2.5

Soit  $E_Z \to Z$  un fibré L-trivial, alors le diagramme suivant sur W commute

$$\mu^* \Omega_f^k(E_Z(2k)) \xrightarrow{d_\mu^\sharp} \Omega_\mu \left( \mu^* \Omega_f^k(E_Z(2k)) \right) \xrightarrow{1 \otimes \Psi^k} \Omega_\mu \otimes \Omega_\mu^k \left( \mu^* E_Z \right)$$

$$\downarrow^{\Psi^k} \qquad \qquad \downarrow^{\wedge}$$

$$\Omega_\mu^k \left( \mu^* E_Z \right) \xrightarrow{d_\mu^{\sharp k}} \Omega_\mu^{\sharp k} \left( \mu^* E_Z \right)$$

et son image directe par  $\nu$  donne le diagramme commutatif suivant

$$\mathcal{O}_{\Lambda^{k}V^{-}} + \nabla_{\odot^{k}V_{+}} + \nabla_{E} \qquad \mathcal{O}_{C} \left( V^{-} \otimes \Lambda^{k}V^{-} \otimes V_{+} \otimes \odot^{k}V_{+} \otimes E_{C} \right)$$

$$\downarrow 1 \otimes \odot \otimes 1_{E}$$

$$\downarrow C \left( \Lambda^{k}V^{-} \otimes \odot^{k}V_{+} \otimes E_{C} \right) \qquad \downarrow C \left( \Lambda^{k}V^{-} \otimes V^{-} \otimes \odot^{k+1}V_{+} \otimes E_{C} \right)$$

$$\downarrow C \qquad \qquad \downarrow \Lambda \otimes 1 \otimes 1_{E}$$

$$\downarrow V_{*}\Omega_{\mu}^{k}(E_{C}) \qquad \mathcal{O}_{C} \left( \Lambda^{k+1}V^{-} \otimes \odot^{k+1}V_{+} \otimes E_{C} \right)$$

οὰ 
$$\nabla_{\Lambda^k V^-}: \mathcal{O}(\Lambda^k V^-) \to \Omega_C(\Lambda^k V^-) \simeq \mathcal{O}(V^- \otimes V_+ \otimes \Lambda^k V^-)$$

et  $\nabla_{\odot^k V_+}: \mathcal{O}(\odot^k V_+) \to \Omega_C(\odot^k V_+) \simeq \mathcal{O}(V^- \otimes V_+ \otimes \odot^k V_+)$ 

sont naturellement définis par règle de Leibniz à partir de respectivement  $\nabla_{V^-}$  et  $\nabla_{V_+}$ .

En conclusion, les opérateurs

$$D_E^k: \mathcal{O}_C\left(\Lambda^k V^- \otimes \odot^k V_+ \otimes E_C\right) \to \mathcal{O}_C\left(\Lambda^{k+1} V^- \otimes \odot^{k+1} V_+ \otimes E_C\right)$$

sont obtenus de la façon la plus naturelle possible : par application simultanée de  $\nabla_{V^-}$ ,  $\nabla_{V_+}$  et  $\nabla_{E_C}$  puis anti-symétrisation par rapport aux éléments de  $V^-$  et symétrisation par rapport aux éléments de  $V_+$ .

Un travail similaire permet de montrer que l'opérateur

$$\mathcal{R}^1 \nu_* \mathbf{d}_{\mu} : \underbrace{\mathcal{R}^1 \nu_* \Omega_{\mu}^k(-p)}_{\Lambda^k V^- \otimes \odot^{p-2-k}V^+[-1]} \longrightarrow \underbrace{\mathcal{R}^1 \nu_* \Omega_{\mu}^{k+1}(-p)}_{\Lambda^{k+1}V^- \otimes \odot^{p-3-k}V^+[-1]}$$

pour k < p-1 est donné par application de  $\nabla_{V^-}$  et  $\nabla_{V^+}$ 

$$\mathcal{O}_C\left(\Lambda^k V^- \otimes \odot^{p-2-k} V^+[-1]\right) \to \mathcal{O}_C\left(\left(V^- \otimes V_+\right) \otimes \Lambda^k V^- \otimes \odot^{p-2-k} V^+[-1]\right)$$

puis par anti-symétrisation suivant les composantes de  $V^-$  et produit de dualité  $V_+ \otimes V^+$  puis symétrisation suivant les composantes restantes de  $V^+$ .

# 7.3 Applications

#### 7.3.1 Restriction des formes différentielles aux fibres de $\mu$

Avant de pouvoir calculer les espaces de cohomologie de fibrés L-triviaux sur Z on a besoin d'un résultat préliminaire sur formes différentielles sur W, provenant de C, qui s'annulent en restriction aux fibres de  $\mu$ .

On a la suite exacte (3.3.5) sur W associée à la différentielle de  $\mu$  relativement à  $\mathbb{P}^1$ 

$$0 \to \mu^* \Omega_f \to \Omega_g \to \Omega_\mu \to 0.$$

L'application surjective  $\Omega_g \to \Omega_\mu$  donne une application surjective sur les puissances extérieures

$$\Omega_q^k \to \Omega_\mu^k \to 0$$

On notera  $R^k_\mu$  son noyau en suivant la notation de [Buc85]. On a donc la suite exacte

$$0 \rightarrow R^k_\mu \rightarrow \Omega^k_g \rightarrow \Omega^k_\mu \rightarrow 0 \eqno(7.3.1)$$

Le faisceau ainsi défini est alors automatiquement localement libre, on notera également  $R^k_\mu$  le fibré vectoriel associé.

L'étude de  $R^k_\mu$  sera utile dans 8.2.4 pour classifier les épaississements mais aussi dans 7.3.2 pour le calcul de la cohomologie du faisceau  $\mathcal{O}_Z$ .

#### Foncteur de Schur

On veut pouvoir exprimer  $R^k_\mu$  restreint à une fibre  $P_s = \nu^{-1}(s)$  comme somme de fibrés en droites  $\mathcal{O}(a_i)$ . Cela nous permet de déterminer  $\nu_* R^k_\mu$  et  $\mathcal{R}^1 \nu_* R^k_\mu$ 

# Lemme 7.3.1

Soit k > 0, alors

$$\mathcal{R}^1 \,\nu_* R^k_\mu = 0 \tag{7.3.2}$$

$$\operatorname{rg}\left(\nu_* R_\mu^k\right) = \binom{2n}{k} \tag{7.3.3}$$

**Preuve** On va dans un premier temps montrer le résultat suivant

#### Lemme 7.3.2

Pour  $k \geq 0$ , la suite

$$\mu^*\Omega_f\otimes\Omega_g^k\to\Omega_g^{k+1}\to\Omega_\mu^{k+1}\to0$$

est exacte.

C'est un résultat général qui n'utilise pas la géométrie du problème.

Il est clair que les morphismes du lemme 7.3.2 forment un complexe. Reste à montrer que le noyau de  $\Omega_q^{k+1} \to \Omega_\mu^{k+1}$  est contenu dans l'image de  $\mu^* \Omega_f \otimes \Omega_q^k$ .

On considère une base locale  $e_1, \dots, e_{2n}, e_{2n+1}, \dots, e_{4n}$  de  $\Omega_q$  telle que

- $e_1, \dots e_{2n}$  proviennent respectivement de  $f_1, \dots f_{2n}$  une base locale de  $\mu^*\Omega_f$
- $e_{2n+1}, \cdots e_{4n}$  soient envoyés respectivement sur  $m_1, \cdots m_{2n}$  dans  $\Omega_{\mu}$ Soit

$$a = \sum_{|I|=k+1} a_I e_I$$

un élément de  $\Omega_q^{k+1}$ , avec les notation usuelles :

$$e_I = e_{i_1} \wedge e_{i_2} \wedge \cdots \wedge e_{i_{k+1}}$$

quand  $I=\{i_1,\cdots,i_{k+1}\}$  avec  $i_1<\cdots< i_{k+1}.$  On suppose que l'image de a dans  $\Omega^{k+1}_\mu$  est nulle. Ainsi

$$\sum_{\substack{|I|=k+1\\I\subseteq\{2n+1,\cdots 4n\}}}a_Im_I=0$$

donc comme les  $m_I$  forment une base, pour tout

$$I \subseteq \{2n+1, 2n+2, \cdots, 4n\}$$
 tel que  $|I| = k+1$ 

on a  $a_I = 0$ . Ainsi notons E l'ensemble des  $I \subseteq \{1, 2, \dots, 4n\}$  de cardinal k+1 tels que  $a_I \neq 0$ . On a donc montré que  $\forall I \in E, \exists i \in I \text{ tel que } i < 2n+1, \text{ choisissons } i(I)$  un tel indice pour chaque  $I \in E$ . On notera  $I = I \setminus \{i(I)\}$  et t(I) le rang de cet indice dans I (ainsi i(I) est le t(I)-ième élément de I pour l'ordre usuel). Alors

$$a = \sum_{I \in E} a_I e_I = \sum_{I \in E} a_I (-1)^{t(I)+1} e_{i(I)} \wedge e_{\check{I}}$$

c'est donc l'image de

$$\sum_{I \in E} (-1)^{t(I)+1} a_I f_{i(I)} \otimes e_{\check{I}} \in \mu^* \Omega_f \otimes \Omega_g^k$$

dans  $\Omega_q^{k+1}$  ce qui achève la démonstration.

En conséquence du lemme 7.3.2 et de sa définition,  $R^k_\mu$  s'exprime à la fois comme

- Noyau de la flèche  $\Omega_g^k \to \Omega_\mu^k \to 0$  Image de la flèche  $\mu^*\Omega_f \otimes \Omega_g^{k-1} \to \Omega_g^k$ .

Ou plus simplement, puisque  $\Omega_g = \nu^* \Omega_C$ ,

$$\begin{split} 0 &\to R_\mu^k \to \nu^* \Omega_C^k \\ \mu^* \Omega_f \otimes \nu^* \Omega_C^{k-1} &\to R_\mu^k \to 0. \end{split}$$

Soit  $s \in C$  et  $P_s$  la fibre de  $\nu$  au dessus de s. On décompose le fibré  $R^k_\mu$  restreint à  $P_s$  sous la forme

$$\bigoplus_{1 \le i \le r} \mathcal{O}(a_i)$$

en utilisant le théorème de Birkhoff-Grothendieck. Or d'autre part

•  $\nu^* \Omega_C^k$  est trivial sur les fibres. Donc pour tout  $i, a_i \leq 0$ 

- $\mu^*\Omega_f \simeq \nu^*V^- \otimes \mathcal{O}(-1)$ , donc  $R^k_\mu$  est le quotient d'un fibré de la forme  $\nu^*F(-1)$ . Ainsi,  $\forall i, a_i > -1$
- Enfin la suite exacte (7.3.1) permet de montrer que le rang de  $R^k_\mu$  est

$$r = \binom{4n}{k} - \binom{2n}{k}$$

et que son degré

$$d = -\binom{4n}{k} + 2\binom{2n}{k}$$

Finalement, en restriction à  $P_s$ ,  $R^k$  est de la forme

$$\mathcal{O}(-1)^{\oplus |d|} \oplus \mathcal{O}^{\oplus r-|d|}$$

Comme cette décomposition ne dépend pas de s, on en déduit que les  $H^p(P_s, R_\mu^k)$  sont constants par rapport à s. Et donc que les  $\mathcal{R}^p \nu_* R_\mu^k$  sont des fibrés vectoriels. De plus on a le résultat du lemme 7.3.1.

Le cas particulier de l'image directe de  $R^2_{\mu}$  On a la suite exacte (7.3.1) qui définit  $R^k_{\mu}$  dans le cas k=2

$$0 \to R_\mu^2 \to \Omega_g^2 \to \Omega_\mu^2 \to 0$$

que l'on peut pousser en avant par  $\nu$ . D'après (7.3.2), on trouve la suite exacte courte

$$0 \to \nu_* R_\mu^2 \to \nu_* \Omega_a^2 \to \nu_* \Omega_\mu^2 \to 0$$

or  $\Omega_g = \nu^* \Omega_C$  donc par la formule de la projection, l'image directe de  $\Omega_g^2$  n'est autre que  $\Omega_C^2$ . D'autre part, on a vu en (5.3.1) que l'image directe de  $\Omega_\mu^2$  est le faisceau  $\Omega_-^2$ . En conclusion, la suite exacte ci-dessus est scindée, et on a un isomorphisme

$$\nu_* R_\mu^2 \simeq \Omega_+^2 \simeq \mathcal{O}_C \left( \Lambda^2 V_+ \otimes \odot^2 V^- \right) \tag{7.3.4}$$

# 7.3.2 Le cas du fibré trivial

Le morphisme (6.2.2) passe à la cohomologie (des sections globales) pour donner un morphisme

$$H^{k}\left(\Gamma\left(C,\Omega_{C}^{\bullet}\right),\mathrm{d}_{C}\right)\to H^{k}\left(\Gamma\left(C,\nu_{*}\Omega_{\mu}^{\bullet}\right),D^{\bullet}\right)$$

or le premier espace n'est autre que le  $H^k_{dR}(C,\mathbb{C})$  et d'après le théorème 2 le deuxième espace peut s'identifier à  $H^k(Z,\mathcal{O}_Z)$ . On a donc construit une application

$$H^k(C,\mathbb{C}) \to H^k(Z,\mathcal{O}_Z)$$

qui relie la topologie de C à la structure holomorphe de Z. Pour étudier ses propriétés, on considère le noyau de l'application  $\Omega_g^k \to \Omega_\mu^k$  (défini dans la section 7.3.1) que l'on note  $R_\mu^k$ . Comme l'opérateur  $d_g$  passe au quotient en l'opérateur  $d_\mu$ ;  $R_\mu^k$  est naturellement préservé par  $d_g$ 

$$d_g\left(R_{\mu}^k\right) \subseteq R_{\mu}^{k+1} \subseteq \Omega_g^{k+1}$$

On notera d'l'opérateur ainsi induit s'il n'y a pas d'ambiguïté.

En résumé, on a une suite exacte de complexes différentiels

$$0 \to R_{\mu}^{\bullet} \to \Omega_{q}^{\bullet} \to \Omega_{\mu}^{\bullet} \to 0$$

En particulier, en passant à la cohomologie, on trouve la suite exacte suivante

$$0 \to \Gamma(R_u^k) \to \Gamma(\Omega_a^k) \to \Gamma(\Omega_u^k) \to H^1(R_u^k).$$

or d'après le paragraphe Suite spectrale de Leray,  $H^1(R_u^k) \simeq \Gamma(\mathcal{R}^1 \nu_* R_u^k)$  car C est de Stein.

Enfin on a vu 7.3.2, que  $\mathcal{R}^1 \nu_* R_\mu^k = 0$  et donc  $H^1(R_\mu^k) = 0$  et en conclusion, on a la suite exacte

$$0 \to \Gamma(R^k_\mu) \to \Gamma(\Omega^k_q) \to \Gamma(\Omega^k_\mu) \to 0$$

sur C qui respecte les différentielles. C'est-à-dire, on a la suite exacte de complexes

$$0 \to \Gamma(R_{\mu}^{\bullet}) \to \Gamma(\Omega_{q}^{\bullet}) \to \Gamma(\Omega_{\mu}^{\bullet}) \to 0. \tag{7.3.5}$$

La suite exacte longue de cohomologie associée à (7.3.5) s'écrit pour tout k

$$H^{k}\left(\Gamma\left(R_{\mu}^{\bullet}\right)\right) \to H^{k}\left(\Gamma\left(\Omega_{q}^{\bullet}\right)\right) \to H^{k}\left(\Gamma\left(\Omega_{\mu}^{\bullet}\right)\right) \to H^{k+1}\left(\Gamma\left(R_{\mu}^{\bullet}\right)\right).$$

De plus (7.3.1) pour k = 0 et k = 1 donne

$$0 \to R_{\mu}^{0} \to \mathcal{O}_{W} \stackrel{\sim}{\to} \mathcal{O}_{W} \to 0$$
$$R_{\mu}^{1} \simeq \mu^{*} \Omega_{f}$$

Donc  $R^0_{\mu} = 0$  et  $\nu_* R^1_{\mu} = 0$ . En conséquence  $H^k\left(\Gamma\left(R^{\bullet}_{\mu}\right)\right) = 0$  pour k < 2. En conclusion,

#### Proposition 7.3.3

Pour tout k, on a une application naturelle

$$H^k(C,\mathbb{C}) \to H^k(Z,\mathcal{O}_Z)$$

qui est un isomorphisme pour k=0 et qui est injective pour k=1.

Cette proposition relie la topologie de C à la géométrie complexe de Z.

# 7.3.3 Le cas trivial sur les droites

Soit  $E_Z$  un fibré L-trivial,  $(E_C, \nabla_{E_C})$  le fibré à connexion associé sur C. En tensorisant la suite (7.3.1) par  $E = \mu^* E_Z$  on trouve la suite exacte

$$0 \to R^k_u \otimes E \to \Omega^k_a(E) \to \Omega^k_u(E) \to 0$$

et en passant aux sections globales comme précédemment, on trouve la suite exacte suivante

$$0 \to \Gamma(R_{\mu}^k \otimes E) \to \Gamma(\Omega_q^k(E)) \to \Gamma(\Omega_{\mu}^k(E)) \to H^1(R_{\mu}^k \otimes E)$$

or  $E = \nu^* E_C$  et donc par la formule de la projection, cette suite exacte s'écrit

$$0 \to \Gamma\left(C, \nu_* R^k_\mu \otimes E_C\right) \to \Gamma\left(C, \Omega^k_C(E_C)\right) \to \Gamma\left(C, (\nu_* \Omega^k_\mu)(E_C)\right) \to \Gamma\left(C, \mathcal{R}^1 \, \nu_* R^k_\mu \otimes E_C\right)$$

où l'on a utilisé à nouveau la dégénérescence de la suite spectrale de Leray. Ainsi on a la suite exacte courte

$$0 \to \Gamma\left(C, \nu_* R^k_\mu \otimes E_C\right) \to \Gamma\left(C, \Omega^k_C(E_C)\right) \to \Gamma\left(C, (\nu_* \Omega^k_\mu)(E_C)\right) \to 0.$$

Cependant arrivé à ce point, l'argumentation diffère du paragraphe 7.3.2 : L'espace  $\Gamma\left(C, \Omega_C^k(E_C)\right)$  est naturellement muni d'un opérateur différentiel :  $\nabla_E^k$ , cependant contrairement au cas  $E_Z = \mathcal{O}_Z$ , ces espaces pour  $k \geq 0$  ne forment pas nécessairement un complexe. En effet la composée

$$\Gamma\left(C, \mathcal{O}_C(E_C)\right) \to \Gamma\left(C, \Omega_C^1(E_C)\right) \to \Gamma\left(C, \Omega_C^2(E_C)\right)$$

n'est autre que la courbure de la connexion  $\nabla_{E_C}$ .

On suppose désormais que le fibré  $E_Z$  est trivial à l'ordre 2 sur les voisinages de droites de Z, alors d'après le théorème 4, le fibré  $(E_C, \nabla_{E_C})$  est plat et donc les espaces  $\Gamma\left(C, \Omega_C^k(E_C)\right)$  muni de  $\nabla_E^k$  forment un complexe. On a donc comme dans le paragraphe précédent la suite exacte courte de complexes sur C

$$0 \to \Gamma\left(C, \nu_* R_{\mu}^{\bullet} \otimes E_C\right) \to \Gamma\left(C, \Omega_C^{\bullet}(E_C)\right) \to \Gamma\left(C, (\nu_* \Omega_{\mu}^{\bullet})(E_C)\right) \to 0. \tag{7.3.6}$$

Calculons leurs cohomologies.

• Par la correspondance de Riemann-Hilbert [Del70], notons  $V_E$  le système local sur C noyau de la connexion  $\nabla_{E_C}$ , alors

$$H^k\left(\Gamma\left(C,\Omega_C^{\bullet}(E_C)\right),\nabla_{E_C}\right)\simeq H^k(C,V_E)$$

• D'autre part, toujours par le théorème 2,

$$H^k\left(\Gamma\left(C,(\nu_*\Omega^{\bullet}_{\mu})(E_C)\right)\right) \simeq H^k(Z,\mathcal{O}_Z(E_Z))$$

Finalement, la suite exacte longue de cohomologie associée à (7.3.6) nous donne une famille d'applications

$$H^k(C, V_E) \to H^k(Z, E_Z)$$

qui pour les même raisons qu'au paragraphe précédent est bijective pour k=0 et est injective pour k=1.

# 7.4 Le cas des fibrés *L*-négatifs

Le théorème 2 permet de calculer les espaces de cohomologie d'un fibré L-constant sur Z satisfaisant l'hypothèse minimale pour l'acyclicité de la résolution relative (7.1.1). Cependant de nombreux fibrés sur Z ne satisfont pas cette hypothèse; c'est le cas de  $\mathcal{O}(-p)$  pour p > 1. Dans cette section, on veut calculer l'espace  $H^k(Z, \mathcal{O}(-p))$ .

Par la théorie usuelle il s'agit de l'espace

$$H^{k}(W, \mu^{-1} \mathcal{O}(-p)).$$

Considérons la résolution de De Rham holomorphe du faisceau  $\mu^{-1}\mathcal{O}(-p)$  que l'on découpe comme suit

$$\underbrace{\mathcal{O}(-p) \to \Omega_{\mu}(-p) \to \Omega_{\mu}^{2}(-p) \to \cdots \to \Omega_{\mu}^{p-1}(-p)}_{B^{\bullet}} \to \underbrace{\Omega_{\mu}^{p}(-p) \to \cdots}_{B^{\bullet}}$$

Le complexe A est à support en degré  $1, \dots, p$  tandis que le complexe B est à support en degré  $p, \dots, 2n$ , et il y a un morphisme de complexes

$$A^{\bullet} \rightarrow B^{\bullet}$$

qui consiste en l'unique application  $d_{\mu}$  en degré p donnée par

$$A^p=\Omega^{p-1}_{\mu}(-p)\to\Omega^p_{\mu}(-p)=B^p$$

On a le triangle exact suivant

$$A \to B \to \underbrace{A[1] \oplus B}_C \to A[1].$$

Le complexe C est alors la résolution de De Rham relative toute entière. L'application  $B \to C$  est simplement l'inclusion du sous-complexe B et de même l'application  $C \to A[1]$  correspond simplement à la troncature en degré 0 à p-1.

$$\cdots \longrightarrow C^{p-1} \longrightarrow C^p \longrightarrow C^{p+1} \longrightarrow \cdots$$

$$\uparrow \qquad \qquad \uparrow$$

$$\cdots \longrightarrow 0 \longrightarrow B^p \longrightarrow B^{p+1} \longrightarrow \cdots$$

$$\uparrow \qquad \qquad \uparrow$$

$$\cdots \longrightarrow A^{p-1} \longrightarrow A^p \longrightarrow 0 \longrightarrow \cdots$$

Ce qui est important c'est qu'on a une suite exacte longue d(hyper)cohomologie

$$\mathbb{H}^i(A^{\bullet}) \to \mathbb{H}^i(B^{\bullet}) \to \mathbb{H}^i(C^{\bullet}) \to \mathbb{H}^{i+1}(A^{\bullet}).$$

Or  $\mathbb{H}^i(C^{\bullet})$  est précisément  $H^i(W, \mu^{-1} \mathcal{O}(-p)) = H^i(Z, \mathcal{O}(-p))$ . Dès lors il faut remarquer plusieurs choses

• Les  $B^i$  sont tous acycliques. En effet  $\Omega_{\mu} \simeq \nu^* V^- \otimes \mathcal{O}(1)$  et donc  $\Omega^i_{\mu}(-p) \simeq \nu^* \Lambda^i V^- \otimes \mathcal{O}(i-p)$  avec i-p>-1. Ainsi par la dégénérescence de la suite spectrale de Leray et le caractère Stein de C,

$$\begin{split} H^k(W,B^i) &= H^k(W,\Omega^i_\mu(-p)) \\ &= H^0(C,R^k\nu_*\Omega^i_\mu(-p)) \\ &= 0 \text{ si } k \geq 1 \end{split}$$

En conséquence

$$\mathbb{H}^k(W, B^{\bullet}) = H^k(\Gamma(C, \nu_* B^{\bullet}))$$

• Les  $A^i$  sont tous négatifs en restriction aux fibres de  $\nu$ . Ainsi

$$H^k(W, A^i) = H^0(C, R^k \nu_* \Omega_{\mu}^{i-1}(-p))$$
  
= 0 si  $k > 1$  ou  $k = 0$ 

En conséquence

$$\mathbb{H}^k(W, A^{\bullet}) = H^{k-1}(C, \mathcal{R}^1 \nu_* A^{\bullet})$$

# 7.4.1 Les cas généraux

On a le complexe  $\mathcal{R}^1 \nu_* A^{\bullet}$  sur C

$$0 \to \mathcal{R}^1 \nu_* \mathcal{O}(-p) \to \mathcal{R}^1 \nu_* \Omega_{\mu}(-p) \to \mathcal{R}^1 \nu_* \Omega_{\mu}^2(-p) \to \cdots \to \mathcal{R}^1 \nu_* \Omega_{p}^{p-1}(-p) \to 0$$

à support en degré  $1, \dots p$ . En particulier ses espaces de cohomologie des sections globales  $H^k(\Gamma(\mathcal{R}^1 \nu_* A^{\bullet}))$  sont nuls pour  $k \leq 0$  et pour k > p. En conséquence

$$\forall k > p+1, \qquad \mathbb{H}^k(W, A^{\bullet}) = 0$$

On peut également vérifier que

$$\mathbb{H}^1(W, A^{\bullet}) = H^0(C, \mathcal{R}^1 \, \nu_* A^{\bullet}) = 0$$

Pour le complexe  $\nu_* B^{\bullet}$  c'est encore plus simple (pas de décalage)

$$\forall k < p, \qquad \mathbb{H}^k(W, B^{\bullet}) = 0.$$

Dès lors, en insérant ces résultats dans la suite exacte d'hypercohomologie, on a

• Pour k ,

$$0 \to \mathbb{H}^k(C) \to \mathbb{H}^{k+1}(A) \to 0$$

• Pour k > p + 1,

$$0 \to \mathbb{H}^k(B) \to \mathbb{H}^k(C) \to 0$$

#### 7.4.2 Les cas critiques

Restent les cas k = p - 1, p et p + 1 qui vivent dans la suite exacte

$$0 \to \mathbb{H}^{p-1}(C) \to \mathbb{H}^{p}(A) \to \mathbb{H}^{p}(B) \to$$
$$\to \mathbb{H}^{p}(C) \to \mathbb{H}^{p+1}(A) \to \mathbb{H}^{p+1}(B) \to$$
$$\to \mathbb{H}^{p+1}(C) \to 0$$

Ce qui se réécrit

$$\begin{array}{cccc} 0 & \to H^{p-1}(Z,\mathcal{O}(-p)) & \to H^{p-1}(\mathcal{R}^1 \, \nu_* A^{\bullet}) & \to H^p(\nu_* B^{\bullet}) & \to \\ & \to H^p(Z,\mathcal{O}(-p)) & \to H^p(\mathcal{R}^1 \, \nu_* A^{\bullet}) & \to H^{p+1}(\nu_* B^{\bullet}) & \to \\ & \to H^{p+1}(Z,\mathcal{O}(-p)) & \to 0 & \end{array}$$

#### 7.4.3 Calculs de A

On a vu

$$A^{i} = \Omega_{\mu}^{i-1}(-p) \simeq \nu^{*} \Lambda^{i-1} V^{-} \otimes \mathcal{O}(i-1-p)$$

Ainsi

$$\mathcal{R}^1 \nu_* A^i \simeq \Lambda^{i-1} V^- \otimes \mathcal{R}^1 \nu_* \mathcal{O}(i-1-p)$$

Or par règle de Bott 1.2.2

$$\mathcal{R}^1 \nu_* \mathcal{O}(i-1-p) \simeq \Lambda^2 V_+ \oplus \odot^{p-i-1} V^+$$

que l'on note

$$\odot^{p-i-1}V^+[-1]$$

Le [-1] représente le poid conforme, ie il dépend linéairement du choix de la forme symplectique  $\theta: \Lambda^2 V_+ \to \mathbb{C}$ 

Finalement

$$\forall i < p, \quad \mathcal{R}^1 \, \nu_* A^i \simeq \Lambda^{i-1} V^- \otimes \odot^{p-i-1} V^+ [-1]$$

et

$$\mathcal{R}^1 \nu_* A^p = 0.$$

#### 7.4.4 Calcul de B

On a

$$B^{i} = \Omega_{\mu}^{i}(-p) \simeq \nu^{*} \Lambda^{i} V^{-} \otimes \mathcal{O}(i-p)$$

d'où

$$\nu_* B^i \simeq \Lambda^i V^- \otimes \nu_* \mathcal{O}(i-p).$$

Ainsi

$$\forall i \geq p, \qquad \nu_* B^i \simeq \Lambda^i V^- \otimes \odot^{i-p} V_+.$$

# 7.4.5 Conséquence

Comme

$$\mathcal{R}^1 \nu_* A^p = 0$$

en particulier  $H^p(\Gamma(\mathcal{R}^1 \nu_* A^{\bullet})) = 0$  dès lors on a deux suites exactes

$$0 \to H^{p-1}(Z, \mathcal{O}(-p)) \to H^{p-1}(\mathcal{R}^1 \nu_* A^{\bullet}) \to H^p(\nu_* B^{\bullet}) \to H^p(Z, \mathcal{O}(-p)) \to 0$$

 $\operatorname{et}$ 

$$0 \to H^{p+1}(\nu_* B^{\bullet}) \to H^{p+1}(Z, \mathcal{O}(-p)) \to 0.$$

On peut énoncer ces résultats sous forme de théorème

#### Théorème 3

Soit p > 0, Alors l'espace  $H^k(Z, \mathcal{O}(-p))$ 

• pour k < p-1, est  $H^k(\Lambda^{\bullet-1}V^- \otimes \odot^{p-1-\bullet}V^+[-1])$  c'est-à-dire la cohomologie au milieu du complexe

$$\Lambda^{k-2}V^-\otimes\odot^{p-k}V^+[-1]\to\Lambda^{k-1}V^-\otimes\odot^{p-1-k}V^+[-1]\to\Lambda^kV^-\otimes\odot^{p-2-k}V^+[-1]$$

• pour k > p, est  $H^k(\Lambda^{\bullet}V^- \otimes \odot^{\bullet-p}V_+)$  c'est-à-dire la cohomologie au milieu du complexe

$$\Lambda^{k-1}V^- \otimes \odot^{k-1-p}V_{\perp} \to \Lambda^kV^- \otimes \odot^{k-p}V_{\perp} \to \Lambda^{k+1}V^- \otimes \odot^{k+1-p}V_{\perp}$$

• Et on a la suite exacte

$$0 \to H^{p-1}(Z, \mathcal{O}(-p))$$

$$\to \operatorname{coker} \left[ \Lambda^{p-3} V^{-} \otimes V^{+}[-1] \to \Lambda^{p-2} V^{-}[-1] \right]$$

$$\to \ker \left[ \Lambda^{p} V^{-} \to \Lambda^{p+1} V^{-} \otimes V_{+} \right]$$

$$\to H^{p}(Z, \mathcal{O}(-p)) \to 0$$

On a juste remplacé dans les premiers points les calculs de A et B. Pour le troisième point, la suite exacte

$$0 \to H^{p-1}(Z, \mathcal{O}(-p)) \to H^{p-1}(\mathcal{R}^1 \nu_* A^{\bullet}) \to H^p(\nu_* B^{\bullet}) \to H^p(Z, \mathcal{O}(-p)) \to 0$$

fait intervenir deux espaces.

L'espace  $H^{p-1}(\mathbb{R}^1 \nu_* A^{\bullet})$  est la cohomologie au milieu du complexe

$$\Lambda^{p-3}V^- \otimes V^+[-1] \to \Lambda^{p-2}V^-[-1] \to 0.$$

Et de même l'espace  $H^p(\nu_*B^{\bullet})$  est la cohomologie au milieu du complexe

$$0 \to \Lambda^p V^- \to \Lambda^{p+1} V^- \otimes V_+$$

D'où finalement la suite exacte annoncée.

# 7.4.6 Application

Dans le cas (très intéressant voir [Pen67] ou [EPW81, sec. 6] ) p=2, on trouve par le premier point du théorème 3

$$H^0(Z, \mathcal{O}(-2)) = 0$$

ainsi que, par le troisième point, la suite exacte

$$\begin{split} 0 &\to H^1(Z, \mathcal{O}(-2)) \\ &\to \Gamma(C, \mathcal{O}[-1]) \\ &\to \ker \left[ \Lambda^2 V^- \to \Lambda^3 V^- \otimes V_+ \right] \\ &\to H^2(Z, \mathcal{O}(-2)) \to 0 \end{split}$$

car coker  $[0 \to \Lambda^0 V^-[-1]] = \Gamma(\mathcal{O}[-1]).$ 

De plus la forme symplectique fibre à fibre  $\hat{\sigma}$  définie en (4.4.1) donne une section globale plate du fibré  $\Lambda^2 V^-$ . En conséquence, d'après 7.2,  $D\hat{\sigma}=0$  et donc elle définit bien un élément de

$$\ker \left[\Lambda^2 V^- \to \Lambda^3 V^- \otimes V_+\right].$$

De même dans le cas p = 1, on trouve

$$H^0(Z, \mathcal{O}(-1)) = 0$$

et

$$H^1(Z, \mathcal{O}(-1)) \simeq \ker \left[ V^- \to \Lambda^2 V^- \otimes V_+ \right]$$

# Chapitre 8

# Épaississements

Moro: Les sangliers sont en marche, la forêt dévastée pleure à leur passage mais tu ne peux pas entendre le sanglot des arbres. Moi, je demeure ici à écouter leur lente agonie, ces cris réveillent en moi la blessure de la balle et je rêve du jour où je pourrais enfin broyer de mes crocs la tête de la femme qui me tue.

Ashitaka: Moro, cette guerre a trop duré. Pourquoi n'y mets-tu pas un terme? Vous pourriez vivre en paix avec les humains.

Moro: Les humains se rassemblent pour une dernière bataille. Leur feu, bientôt viendra nous brûler.

Ashitaka : Mais que va-t-il arriver à San ? Comptes-tu la laisser mourir avec toi ?

Moro: Tu es bien un humain, Ashitaka. Égoïste. Tu raisonnes comme un humain. San est ma fille, ma tribu est la sienne. Si la forêt meurt, elle mourra avec elle.

> —Princesse Mononoke, Hayao Miyazaki

Dans ce chapitre, on améliore l'équivalence de catégories 1 du chapitre 6 : Un fibré à connexion  $(E_C, \nabla_{E_C})$  sur C provenant d'un fibré L-trivial  $E_Z$  possède une restriction sur la courbure. On va donner une interprétation de cette courbure à l'aide des épaississements du fibré  $E_Z$ .

À l'instar de la correspondance cohomologique du chapitre 7, on va établir un lien entre la géométrie complexe de Z et la géométrie différentielle et riemannienne de C. Cependant, au lieu de s'attaquer à des propriétés globales de Z et C (comme les espaces de cohomologie  $H^k(Z, E_Z)$ ), on va s'intéresser à des propriétés locales, voire infinitésimales, sur C (courbure en un point) et à leurs analogues semi-infinitésimaux sur Z (voisinages infinitésimaux de droites).

Ce résultat peut-être mis en parallèle avec la correspondance twistorielle dans le cas des variétés riemanniennes anti-auto-duales de dimension 4. Dans ce cas la correspondance associe aux voisinages conformes d'un point dans la variété riemannienne, les voinages holomorphes d'une droite projective complexe dans l'espace des twisteurs. Cette construction remonte à Penrose [Pen76], on pourra consulter aussi [EL92].

En s'inspirant fortement du travail de Buchdahl [Buc85], on montre que la courbure de la connexion peut être interprétée comme une obstruction à la trivialité du fibré  $E_Z$  sur les voisinages des droites à l'ordre 2. Plus précisément, la courbure  $F(\nabla_{E_C})$  en un point  $s \in C$  de la connexion  $\nabla_{E_C}$  sur  $E_C$  vit dans l'espace

$$\operatorname{End}(E_C) \otimes (\Lambda_+^2)$$

or cet espace s'identifie à l'espace de cohomologie

$$H^1\left(L_s,\operatorname{End}(E_Z)\otimes \odot^2 N_{L_s/Z}^*\right)$$

qui lui classifie les extensions du fibré  $E_Z$  sur  $L_s''$  le voisinage à l'ordre 2 de  $L_s$  dans Z. Modulo cet isomorphisme naturel, la classe de  $F(\nabla)_s$  correspond à la différence entre les différents épaississements naturels de  $E_Z|_{L_s}$  aux voisinages à l'ordre 2 de  $L_s$ .

On démontre le résultat suivant :

#### Théorème 4 (version infinitésimale)

Soit  $E_Z$  un fibré L-trivial sur Z. Soit  $(E_C, \nabla_{E_C})$  le fibré à connexion holomorphe sur C associé et  $F(E_C) \in \Gamma(C, \Omega^2_+(\operatorname{End}(E)))$  sa courbure.

Alors pour tout  $s \in C$ ,

- Le fibré  $E_Z|_{L_s}$  admet un épaississement au voisinage à l'ordre 1 de  $L_s$ ; il est unique à unique isomorphisme près.
- Les classes d'épaississements de  $E_Z$  au voisinage d'ordre 2 de  $L_s$  forme un espace homogène sous l'action de  $H^1(L_s,\operatorname{End}(E_Z)\otimes \odot^2 N_{L_s/Z}^*)$ . Il y a deux épaississements naturels de  $E_Z|_{L_s}$ :
  - ► Celui obtenu par épaississement trivial,
  - $\blacktriangleright$  Celui obtenu par restriction de  $E_Z$ .

La différence de deux donne une classe notée  $\delta^{\prime\prime}$ 

- La courbure de la connexion  $\nabla_{E_C}$  en s est un élément de  $\operatorname{End}(E_C)_s \otimes (\Lambda^2_+)_s$
- Il y a un isomorphisme

$$H^1(L_s, End(E_Z) \otimes \odot^2 N_{L_s/Z}^*) \simeq End(E_C)_s \otimes (\Lambda_+^2)_s$$
 (8.0.1)

et associe à  $\delta''$ , la courbure de la connexion au point s.

La morale de ce résultat est la suivante : la courbure du fibré à connexion associé correspond à un défault de trivialité du fibré L-trivial.

Pour démontrer ce résultat, il est important de pouvoir travailler d'une part avec tout le tenseur de courbure sur C (et pas seulement en un point) et d'autre part, tous les épaississements de  $E_Z$  au voisinage des différentes droites. C'est pourquoi on va non plus considérer les épaississements d'une droite de Z fixée, mais plutôt ceux de W dans  $C \times Z$ . On pourra alors établir 8.2.1. Enfin les propriétés de la projection  $W \to C$  issues de la structure produit de W permettront de conclure.

# 8.1 Épaississements de W

On a par définition  $W \subseteq C \times Z$  qui est le graphe de la correspondance twistorielle. Dans ce paragraphe, on se propose d'étudier les propriétés de W en tant que sous-variété complexe de  $C \times Z$ , en particulier son fibré normal et ses épaississements au sens de [EL92].

On a la suite exacte suivante de fibrés vectoriels sur W qui définit le fibré normal à W dans  $C \times Z$ ,

$$0 \to \nu^* T_C \oplus g^* T_{\mathbb{P}^1} \to \nu^* T_C \oplus \mu^* T_Z \to N_W \to 0 \tag{8.1.1}$$

où  $N_W$  est le fibré normal de l'inclusion  $W \subseteq C \times Z$ . En effet par définition  $T_{C \times Z}|_W \simeq \nu^* T_C \oplus \mu^* T_Z$  et d'autre part, par structure produit de W (prop. 3.2.1),  $T_W \simeq \nu^* T_C \oplus g^* T_{\mathbb{P}^1}$ . L'inclusion est donnée au point (s,z) de  $C \times Z$  par  $(v,h) \mapsto (v,s_*h)$  pour v tangent à C au point s et h tangent à  $\mathbb{P}^1$  au point s(f(z)).

D'autre part la suite exacte relative à f sur Z (2.4.2) se tire en arrière sur W pour donner

$$0 \to \mu^* T_f \to \mu^* T_Z \to g^* T_{\mathbb{P}^1} \to 0$$

En combinant ces deux on a un morphisme de fibrés sur W

$$\mu^* T_f \hookrightarrow \mu^* T_Z \hookrightarrow T_{C \times Z}|_W \twoheadrightarrow N_W$$

On peut remarquer que sur la fibre au point  $(s,\zeta) \in C \times \mathbb{P}^1 \simeq W$ , un vecteur v de  $(T_f)_{s(\zeta)}$  est envoyé sur le couple (0,v) dans  $T_{C\times Z}$ ; son image dans  $N_W$  n'est nulle que si  $(0,v) \in T_W$ , c'est-à-dire que v dans  $T_f$  est la valeur en  $\zeta$  de 0 vu comme section de  $T_f$  sur  $L_s$ . Donc l'application est injective. Pour des raisons de dimension c'est un isomorphisme.

En résumé

#### Proposition 8.1.1

On a alors l'isomorphisme suivant de fibrés vectoriels sur W

$$N_W \simeq \mu^* T_f \tag{8.1.2}$$

Il met en famille (2.4.3) pour  $s \in C$ .

Il est donné comme suit : Soit  $(s,z) \in W$ , en particulier, il existe  $\zeta = f(z) \in \mathbb{P}^1$  tel que  $s(\zeta) = z$ . Soit u un vecteur normal à W en (s,z). On peut relever u en  $v + w \in \nu^* T_C \oplus \mu^* T_Z$ . La condition  $s(\zeta) = z$  impose alors après différentiation :  $s_* f_* \mu_* w = \mu_* w$  donc  $\mu_* w \in T_{L_s,z}$ . Or le relèvement de u en v + w se fait modulo un vecteur tangent à W, en particulier un tel vecteur à un composante sur  $T_{\mathbb{P}^1,z}$ . Ainsi quitte à choisir le bon relevé, on peut supposer  $\mu_* w = 0$ .

D'autre part, comme v provient de  $T_{C,s}$ ,  $\mu_* v$  est un vecteur normal à  $L_s$  en z. On peut alors conclure par (2.4.3).

# 8.2 Preuve de Buchdahl

On va montrer dans un premier temps la version "globale" du théorème 4. Un fibré L-trivial  $E_Z$  se tire en arrière en un fibré  $E=\mu^*E_Z$  sur W trivial sur les fibres de  $\nu$ . La propriété suivante relie les extensions de E aux épaississements de W dans  $C\times Z$  et la courbure de  $\nabla_{E_G}$ .

#### Proposition 8.2.1 (version globale)

Soit  $E_Z$  un fibré L-trivial sur Z. Soit  $(E_C, \nabla_{E_C})$  le fibré à connexion holomorphe sur C associé et  $F(E_C) \in \Gamma(C, \Omega^2_+(\operatorname{End}(E_C)))$  sa courbure.

Alors

- Le fibré  $\mu^*E_Z$  admet un épaississement au voisinage à l'ordre 1 de W; il est unique à unique isomorphisme près.
- Les classes d'épaississements de  $\mu^*E_Z$  au voisinage d'ordre 2 de W forme un espace homogène sous l'action de  $H^1(W,\operatorname{End}(E_Z)\otimes \odot^2 N_W^*)$ . Il y a deux épaississements naturels de  $\mu^*E_Z$ :
  - ► Celui obtenu par épaississement trivial,
  - $\blacktriangleright$  Celui obtenu par restriction de  $\mu^*E_Z$ .

La différence de deux donne une classe notée  $\delta_E^{\prime\prime}$ 

• Il y a un isomorphisme

$$H^1\left(W, End(E_Z) \otimes \odot^2 N_{W/C \times Z}^*\right) \simeq \Gamma\left(C, End(E_C) \otimes \Lambda_+^2\right)$$
 (8.2.1)

qui associe à  $\delta_E''$ , la courbure de la connexion.

Le reste de cette section est consacré à la preuve de la proposition 8.2.1. On introduit d'abord quelques notations, puis on étudie les extensions du fibré  $E=\mu^*E_Z$  au voisinage de W à l'ordre 1. Une fois l'unicité d'une telle extension établie, on regarde les connexions sur ce fibré épaissi. Comme expliqué au paragraphe 1.3.2, chaque connexion génère un épaississement du fibré; or on dispose de deux connexions épaissies sur le fibré épaissi : l'une provenant de C (épaississement de  $\nabla$ ), l'autre provenant de la L-trivialité (épaississement de  $d_{\mu}$ ). Elles coïncident à l'ordre 0, mais à l'ordre 1 fournissent deux épaississements à l'ordre 2 de E.

L'outil principal de cette démonstration est la proposition 1.3.4.

Une fois le résultat établi, à la section 8.3, on démontrera qu'il entraîne le théorème 4.

#### 8.2.1 Notations

Pour des raisons pratiques, on introduit quelques notations

$$C \stackrel{\longleftarrow}{\longleftarrow} W \stackrel{\longrightarrow}{\longrightarrow} Z$$

- L'inclusion  $\nu \times \mu : W \hookrightarrow C \times Z$  sera notée i.
- L'idéal de  $\mathcal{O}_{C\times Z}$  correspondant à i sera noté K.
- Les projections de  $C \times Z$  sur C et Z seront respectivement notées q et p. On a  $p \circ i = \mu$  et  $q \circ i = \nu$ .
- Enfin on notera N le fibré normal de W dans  $C \times Z$ . On a alors  $\mathcal{O}_W(N^*) = K/K^2|_W$ . Soit  $E_Z$  un fibré L-trivial sur Z, on notera
- $E_W = \mu^* E_Z$  le fibré associé sur W,
- $E_C$  le fibré sur C tel que  $\nu^* E_C = E_W$ , il vient avec une connexion  $\nabla$  telle que  $\nabla = \nu_* \mathbf{d}_{\mu}$ .
- $E = p^* E_Z$  le fibré associé sur  $C \times Z$ . On a alors  $E_W = i^* E$ , on fera souvent l'abus d'oublier le i et on notera E également pour le fibré sur W.

On notera  $\mathcal{O}$  le faisceau structurel de  $C \times Z$ ,  $\mathcal{O}_W$  celui de W et  $\mathcal{O}_W^{(k)} = i^{-1} \mathcal{O} / K^{k+1}$  celui de  $W^{(k)} \subseteq C \times Z$ .

Pour les épaississements à l'ordre k=0,1,2 ou 3 (on n'ira pas plus loin), on notera avec k "primes". Par exemple E'' est le fibré  $E^{(2)}$  sur  $W^{(2)}$  (ie W''). On a par exemple la suite exacte suivante (cf (1.3.3))

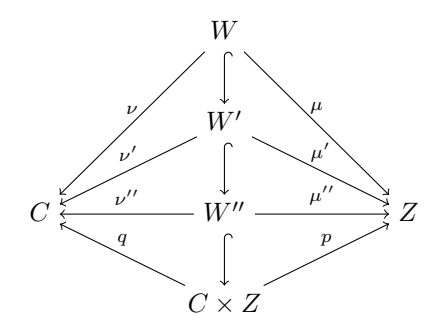
$$0 \to \mathcal{O}_W(E \otimes \odot^{k+1} N^*) \to \mathcal{O}_W^{(k+1)}(E^{(k+1)}) \to \mathcal{O}_W^{(k)}(E^{(k)}) \to 0$$

qui pour k=1 donne

$$0 \to \mathcal{O}_W(E \otimes \odot^2 N^*) \to \mathcal{O}_W''(E'') \to \mathcal{O}_W'(E') \to 0.$$

On notera également  $\mu'$ ,  $\mu''$ ,  $\mu^{(k)}$ ,  $\nu'$ ,  $\nu''$ ,  $\nu^{(k)}$  les morphismes de W' (resp. W'',  $W^{(k)}$ ) vers Z et C induits par restriction de p et q.

En résumé



# 8.2.2 Extension à l'ordre 1 dans le voisinage de l'espace tautologique

Soit  $E_Z$  un fibré L-trivial et  $E = \mu^* E_Z$  sur W.

Considérons une extension  $E'_{\varphi}$  de E sur W. Elle donne d'après (1.3.3) une suite exacte

$$0 \to \mathcal{O}_W(E \otimes N^*) \to \mathcal{O}'_W(E'_{\omega}) \to \mathcal{O}_W(E) \to 0$$
(8.2.2)

or les extensions de  $\mathcal{O}_W(E)$  par  $\mathcal{O}_W(E \otimes N^*)$  sont classifiées à isomorphisme près par  $H^1(W, \operatorname{End}(E) \otimes N^*)$  sous réserve que la classe d'obstruction à l'extension de E dans  $H^2(W, \operatorname{End}(E) \otimes N^*)$  s'annule (voir par exemple [Buc85, I.5]). Or d'après (8.1.1)

$$N^* \simeq \mu^* T_f^* \simeq \nu^* V^-(-1)$$

ainsi pour F L-trivial,

$$\mathcal{R}^k \nu_* \mathcal{O}_W(\nu^* F_C \otimes N^*) \simeq \mathcal{O}_C(F_C \otimes V^-) \otimes \mathcal{R}^k \nu_* \mathcal{O}(-1)$$

est nul pour tout k.

Ainsi en appliquant la remarque précédente à  $F=\operatorname{End}(E)$  (qui est toujours L-trivial), on en déduit

$$H^2(W, \operatorname{End}(E) \otimes N^*) = 0$$

$$H^1(W, \operatorname{End}(E) \otimes N^*) = 0$$

Donc l'extension de (8.2.2) existe, est unique (et scindée). On la notera E'.

Dès lors les deux fibré  $(\mu')^*E_Z$  et  $(\nu')^*E_C$  satisfont tous deux cette propriété d'étendre E, ils sont donc isomorphes (et cet isomorphisme est unique).

# 8.2.3 Fibrés à connexion sur le voisinage à l'ordre 1 de l'espace tautologique

Dans toute la suite de la démonstration, on entendra par connexion, véritablement connexion  $\mu$ -relative.

On a l'isomorphisme de fibrés à connexions

$$(\mu^* E_Z, \mathbf{d}_\mu) \simeq (\nu^* E_C, \nu^* \nabla)$$

On notera (E, D) ce fibré. D'après la proposition 1.3.4 (a), D détermine une unique extension  $(E', \tilde{D})$  de (E, D). Or  $(\mu')^*E_Z$  et  $(\nu')^*E_C$  sont aussi des extensions de E. Par unicité d'une telle extension E' de E (cf., paragraphe précédent) on a un isomorphisme sur W'

$$\left( (\mu')^* E_Z, \tilde{\mathbf{d}}_{\mu} \right) \simeq \left( (\nu')^* E_C, \widetilde{\nu^* \nabla} \right) =: (E', \tilde{D})$$

On note donc  $(E', \tilde{D})$  ce fibré épaissi muni de sa pseudo-connexion où

$$\tilde{D}: \mathcal{O}'(E') \to \Omega_{C \times Z} \otimes_{\mathcal{O}} \mathcal{O}(E)$$

# Extension D' et extensions des fibrés à l'ordre 2

Maintenant comme  $(\nu')^*\nabla$  et  $d'_{\mu}$  sont deux connexions qui relèvent la pseudo connexion  $\tilde{D}$  à E', elles déterminent, par la proposition 1.3.4, deux extensions  $E''_{\nu}$  et  $E''_{\mu}$  de E'.

#### Extensions de fibrés à l'ordre 2

Concentrons-nous sur  $E''_{\mu}$  (le cas de  $E''_{\nu}$  est identique).

Le fibré à pseudo-connexion  $((\mu'')^*E_Z, \tilde{d}'_u)$  étend  $((\mu')^*E_Z, d'_u) = (E', d'_u)$  mais c'est également le cas de  $(E''_{\mu}, \tilde{d}'_{\mu})$  donc par unicité dans la proposition 1.3.4 (a), on a un unique isomorphisme de fibrés  $E''_{\mu} \simeq (\mu'')^* E_Z$ . De même  $E''_{\nu} \simeq (\nu'')^* E_C$ .

On a donc montré que les fibrés induits par chaque connexion épaissie sont en fait les épais-

sissements provenant de  $E_C$  sur C et  $E_Z$  sur Z.

#### Différence de connexions

On a les deux connexions sur E' qui étendent  $\tilde{D}$ 

$$(\nu')^* \nabla, \mathbf{d}'_{u} : \mathcal{O}'_{W}(E') \longrightarrow \Omega^1_{W'}(E').$$

De plus la différence  $\delta' = (\nu')^* \nabla - d'_{\mu}$  est une application  $\mathcal{O}'_W$  linéaire.

La proposition 1.3.4 (c) pour n=0 nous dit que  $\delta' \in H^0(W, R^2_\mu(\text{End}(E)))$  et que ses images...

• ...dans  $H^0(W, \Omega^2_n(\text{End}(E)))$  issue de la suite exacte

$$0 \to R_u^2 \to \Omega_n^2 \otimes \mathcal{O}_W \to \Omega_u^2 \to 0$$

est

$$(F((\nu')^*\nabla) - F(\mathbf{d}'_{\mu}))|_{W^{(0)}} = F((\nu')^*\nabla)|_{W^{(0)}} = \nu^*F(\nabla)$$

en effet  $d'_{\mu} \circ d'_{\mu} = 0$  donc  $F(d'_{\mu}) = 0$ 

• ...dans  $\overset{r}{H^1}(\overset{r}{W}, \operatorname{End}(E) \otimes \overset{\circ}{O^2}\overset{r}{N^*})$  issue de la suite exacte

$$0 \to \mathcal{O}_W(\odot^2 N^*) \to \Omega^1_p(N^*) \to R^2_\mu \to 0$$

est

$$\delta_E'' = [E_\mu''] - [E_\nu'']$$

Isomorphismes entre les espaces classifiant Enfin on peut étudier plus en avant les trois espaces:

- $$\begin{split} \bullet & \ H^0(R^2_\mu(\operatorname{End}(E)))\ni \delta', \\ \bullet & \ H^0(W,\Omega^2_p(\operatorname{End}(E)))\ni \nu^*F(\delta_\nabla), \\ \bullet & \ H^1(W,\operatorname{End}(E)\otimes \odot^2N^*)\ni \delta''_E. \end{split}$$

Dans un premier temps, l'étude de  $R^2_{\mu}$  (cf. (7.3.4)) a montré que  $\nu_* R^2_{\mu} \simeq \Omega^2_+$ . Ainsi

$$H^0(W, R^2_\mu(\operatorname{End}(E))) \simeq H^0(C, \Omega^2_+(\operatorname{End}(E_C))).$$

Mais d'autre part, il s'identifie à l'espace  $H^0(W, \Omega_p^2(\operatorname{End}(E))) = H^0(C, \nu_* \Omega_p^2 \otimes \operatorname{End}(E_C))$  car  $\nu_* \Omega_p^2 = q_* \Omega_p^2 = \Omega_+^2.$ 

Enfin le fibré  $\operatorname{End}(E) \otimes \odot^2 N^*$  sur W peut s'écrire  $\nu^* \operatorname{End}(E_C) \otimes \odot^2 \mu^* (T_f^*(-1))$  ou encore

$$\nu^* \left( \operatorname{End}(E_C) \otimes \odot^2 V^- \right) \otimes \mathcal{O}(-2)$$

mais par la dégénérescence de la suites spectrale de Leray pour  $\nu$  ( cf Suite spectrale de Leray du paragraphe 7.1.2): le  $H^1$  que l'on veut calculer n'est autre que

$$H^0\left(C, \mathcal{R}^1 \nu_* \left[\nu^* \left(\operatorname{End}(E_C) \otimes \odot^2 V^-\right) \otimes \mathcal{O}(-2)\right]\right)$$

et par formule de la projection (cf. 2 page 17) et la règle de Bott (cf 1.2.2), c'est l'espace des sections globales de

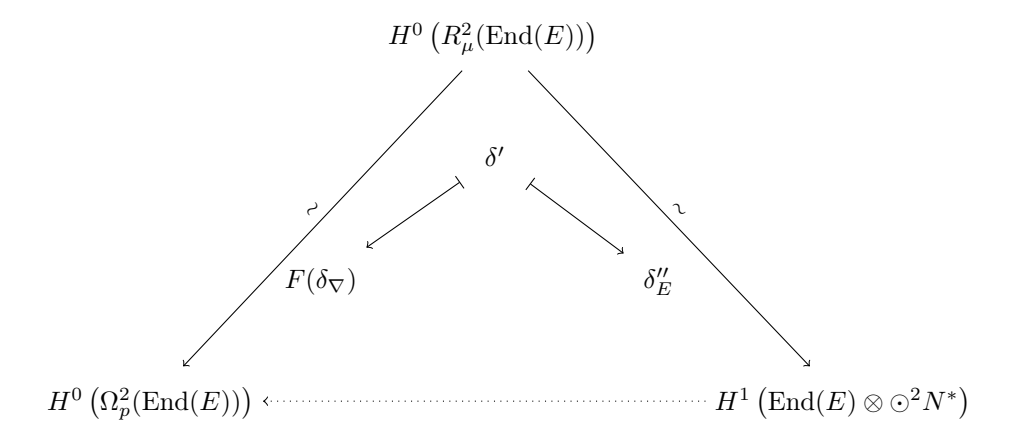
$$\operatorname{End}(E_C) \otimes \odot^2 V^- \otimes \Lambda^2 V_+ \simeq \Lambda_+^2 \otimes \operatorname{End}(E_C)$$

Enfin il reste à vérifier que les applications construites  $\delta' \mapsto F(\delta_{\nabla})$  et  $\delta' \mapsto \delta''_E$  réalisent bien des isomorphismes; pour des raisons de dimension, on se contentera de vérifier l'injectivité. Mais la première est invective, par exactitude à gauche du foncteur sections globales. La seconde a pour noyau

$$H^0\left(W, \Omega^1_{C\times Z}(\operatorname{End}(E')\otimes \odot^2 N^*)\right)$$

Mais le fibré  $\mu^*\Omega_Z\otimes \odot^2 N^*$  est négatif en restriction à une fibre de  $\nu$  (les autres sont triviaux) donc son image directe par  $\nu$  est nulle. D'où l'injectivité.

Bilan On résume les notations introduites précédemment dans le diagramme ci-dessous



Donc on peut voir cette correspondance comme associant à la différence  $\delta_E''$  des deux épaississements, la courbure de la connexion  $\nabla$ . Ce qui démontre la proposition 8.2.1.

# 8.3 Extensions de fibrés sur le voisinage d'une droite et dans W

Le but de ce paragraphe est de déduire le théorème 4 de la proposition 8.2.1. Il faut pour cela considérer pour  $s \in C$  la courbure  $F(\nabla)$  au point s d'une part, et restreindre à  $L_s$  la classe  $\delta_E''$  d'autre part.

On va donc devoir établir un lien entre la restriction à une droite L de cette classe et les épaississements à l'ordre 2 de  $E_Z$  à L''.

On a les résultats suivants :

- La restriction de  $E_Z$  à L'' correspond à la restriction de E à  $P'' \subseteq W''$  et donc à  $(\mu'')^*E_Z$  (cf. 8.3.2)
- L'extension triviale de  $E_Z|L$  à L'' correspond à l'extension triviale de  $E_W$  dans W'' et donc à la restriction de  $q^*E_C$  à  $P'' \subseteq W''$  c'est-à-dire  $(\nu'')^*E_C$ . (cf. 8.3.1)

#### 8.3.1 Extension triviale

#### Théorie

L'extension triviale  $E^{(k+1)}$  d'un fibré  $E^{(k)}$  sur  $X^{(k)}$  est l'unique fibré sur  $X^{(k+1)}$  tel que la suite exacte

$$0 \to \odot^{k+1} N^* \to E^{(k+1)} \to E^{(k)} \to 0$$

de faisceaux de  $\mathcal{O}^{(k+1)}$  -modules soit scindée.

En particulier, la flèche  $E^{(k)} \to E^{(k+1)}$  étend de façon naturelle toute section locale à l'ordre k de E en une section locale à l'ordre k+1.

#### Pratique

En posant  $r = \operatorname{Id} \times f : C \times Z \to C \times \mathbb{P}^1 = W$ , on a la relation de commutation suivante

$$q = \nu \circ r$$
.

Le fait que q se factorise par  $\nu$  entraı̂ne en particulier que tous les  $\nu^{(k)}$  se factorisent par  $\nu$ . Donc moralement il ne devrait pas y avoir d'information supplémentaire apportés par les épaississements. Autrement dit, en restreignant la relation précédente à  $W^{(k)} \to W \to C$ , on trouve

$$\nu^{(k)} = \nu \circ r^{(k)}.$$

Comment on construit l'extension de section à tout ordre On a le morphisme  $r^{(k)}$  que l'on notera toujours r par abus

$$r: W^{(k)} \to W$$

qui est un homeomorphisme. Et de plus en tant que morphisme de variétés analytiques, elle induit un morphisme d'anneaux

$$r^{\flat}: \mathcal{O}_W \simeq r^{-1} \mathcal{O}_W \longrightarrow \mathcal{O}_W^{(k)}$$
.

On suppose que  $E_W^{(k)} = r^* E_W$ . Ainsi

$$\mathcal{O}_{W}(E_{W}) \simeq r^{-1} \mathcal{O}_{W}(E_{W})$$

$$\simeq r^{-1} \mathcal{O}_{W}(E_{W}) \otimes_{r^{-1} \mathcal{O}_{W}} r^{-1} \mathcal{O}_{W}$$

$$\stackrel{1 \otimes r^{\flat}}{\longrightarrow} r^{-1} \mathcal{O}_{W}(E_{W}) \otimes_{r^{-1} \mathcal{O}_{W}} \mathcal{O}_{W}^{(k)}$$

$$\simeq r^{*} \mathcal{O}_{W}(E_{W})$$

$$\simeq \mathcal{O}_{W}^{(k)}(r^{*}E_{W})$$

$$\simeq \mathcal{O}_{W}^{(k)}(E_{W}^{(k)})$$

De plus l'image réciproque de l'idéal  $K/K^{(k+1)}$  de  $\mathcal{O}_W^{(k)}$  par  $r^\flat$  est l'idéal nul, donc en  $r^\flat$  est bien une section du quotient  $\mathcal{O}_W^{(k)} \to \mathcal{O}_W$  et donc la flèche construite ci-dessus est bien une section du quotient  $\mathcal{O}_W^{(k)}(E_W^{(k)}) \to \mathcal{O}_W(E_W)$ . C'est une façon canonique d'étendre les section locales de  $E_W$  à l'ordre k et donc une trivialisation de l'épaississement.

On a montré qu'un fibré  $E_W$  sur W admet un épaississement trivial à tout ordre, qui est donnée par  $r^*E_W$ . Mais de plus la relation de commutation entre  $\nu$  et r entraîne

$$\left(\nu^{(k)}\right)^* E_C = r^* \nu^* E_C$$

on a donc le lemme suivant

#### Lemme 8.3.1

Pour tout  $E_C \to C$ ,

$$\left(\nu^{(k)}\right)^* E_C$$

est l'extension triviale de  $\nu^* E_C$  à  $W^{(k)}$ .

# 8.3.2 Restriction aux voisinage de toutes les droites

On note  $P = W \cap p^{-1}L = W \cap q^{-1}(x)$  et i, j les inclusions respectives  $P \subseteq C \times Z$  et  $L \subseteq Z$ . On a le diagramme suivant

$$P^{(k)} \xrightarrow{\quad i \quad} C \times Z$$
 
$$\downarrow^{\mu} \quad \downarrow^{p}$$
 
$$L^{(k)} \xrightarrow{\quad j \quad} Z$$

Alors

$$\mathcal{O}_{P}^{(k)}(p^*E_Z) = \mathcal{O}_{P}^{(k)} \otimes_{\mathcal{O}} p^* \mathcal{O}_{Z}(E_Z)$$

$$= i^*p^* \mathcal{O}_{Z}(E_Z)$$

$$= \mu^* j^* \mathcal{O}_{Z}(E_Z)$$

$$= \mu^* \mathcal{O}_{L}^{(k)}(E_Z)$$

Donc  $p^*E_Z$  restreint à  $W^{(k)}$  se restreint à chaque préimage d'une droite L de Z en  $\mu^*\mathcal{O}_L^{(k)}(E_Z)$ .

#### 8.3.3 Bilan

On sait que la classe  $\delta_E$  représente la différence  $[E''_{\nu}] - [E''_{\mu}]$ . Or

$$E''_{\nu} = (\nu'')^* E_C$$
= extension triviale de  $E_W$  à  $W''$ 

$$E''_{\mu} = (\mu'')^* E_Z$$

qui vérifie

$$\mathcal{O}_P''(E_\mu'') = (\mu'')^* \, \mathcal{O}_L''(E_Z)$$

Finalement la classe  $\delta_E$  représente en restriction à P la différence

$$[(\mu'')^* \mathcal{O}''_L(E_Z)] - [(\nu'')^* E_C]$$

c'est-à-dire la différence entre l'épaississement trivial de  $E_Z|_L$  à L'' et la restriction de  $E_Z$  à L''.

# 8.4 Conclusion et correspondance de Riemann-Hilbert

On a un corollaire immédiat du théorème 4 dans le cas des connexions plates :

#### Théorème 5

L'équivalence de catégories construite en 1 se restreint en une équivalence de catégorie entre

- La catégorie des fibrés L-triviaux à l'ordre 2 sur Z,
  - ▶ avec les morphismes de fibrés holomorphes;
- La catégorie des fibrés à connexion holomorphe **plate** sur C,
  - ▶ avec les morphismes parallèles de fibrés à connexion holomorphe.

Cette dernière catégorie peut s'étudier à travers la correspondance de Riemann-Hilbert 1.3.1: Elle s'identifie à la catégorie des systèmes locaux sur C.

#### 8.4.1 Rétraction sur la variété

Une hypothèse supplémentaire peut être faite : On va supposer que M est un rétracte par déformation de C.

En effet on a déjà une injection  $M \hookrightarrow C$ , reste à voir que l'on peut redresser continûment toute droite de Z en une droite twistorielle.

On peut pour cela se baser sur l'article [DLDM13]. En effet il existe une application volume  $Vol: C \to \mathbb{R}$  donnée par

$$\operatorname{Vol}(s) = \int_{L_s} \omega_Z = \int_{\mathbb{P}^1} s^* \omega_Z.$$

Le caractère non-kählérien de Z entraı̂ne que la forme fondamentale  $\omega_Z$  n'est pas fermée et donc l'application volume n'est pas constante sur C. En fait ses points critiques coı̈ncident avec les droites twistorielles et elle est de plus continue et pluri-sous-harmonique  $^1$  sur C (voir [DLDM13, Theorem D]).

<sup>1.</sup> on peut remarquer que ce raisonnement donne des arguments en faveur d'une autre hypothèse que l'on a faite : le caractère Stein de  ${\cal C}$  (7.1.2).

Soit  $\omega_C = i \partial \bar{\partial} \mathcal{V}$ ol qui définit une métrique kählérienne sur C. Il y a donc une direction canonique de déformation de  $L_s$  (pour  $s \notin M$ ) dans  $UT_s(C, \omega_C)$  qui maximise la différentielle de  $\mathcal{V}$ ol(s). On fait donc l'hypothèse que ce champs de directions s'intègre pour donner un chemin de s à un point de i(M), encore une fois quitte à restreindre C.

On en déduit que C est connexe et simplement connexe dès lors que M l'est. C'est ce qu'on va supposer.

# 8.4.2 Trivialité globale des fibrés triviaux à l'ordre 2

Soit  $E_Z$  un fibré  $L^{(2)}$ -trivial sur Z et  $(E_C, \nabla)$  le fibré associé par la correspondance. Alors par le théorème 5,  $\nabla$  est plate. Soit donc  $E_C^{\circ}$  le système local associé

$$0 \to E_C^{\circ} \to \mathcal{O}_C(E_C) \xrightarrow{\nabla} \Omega_C(E_C).$$

Ainsi, sous l'hypothèse précédente C est connexe est simplement connexe et par correspondance de Riemann-Hilbert, le système local  $E_C^{\circ}$  est globalement un faisceau constant. Il est donc isomorphe à  $\underline{\mathbb{C}}^r$  avec r le rang de  $E_C$  (et donc aussi de  $E_Z$ ).

Mais d'autre part,  $\mathcal{O}_Z^{\oplus r}$  est un fibré L-trivial, et il est clairement associé au fibré  $\mathcal{O}_C(\mathbb{C}^r)$  munit de la connexion  $\mathrm{d}_C$  sur chaque composante. Ce fibré est plat et le système local associé est évidemment  $\underline{\mathbb{C}}^r$ .

En remontant les équivalences de catégories :  $E_C^{\circ}$  et  $\underline{\mathbb{C}}^r$  sont isomorphes en tant que système locaux, donc par correspondance de Riemann-Hilbert, ils induisent des fibrés à connexion isomorphes :  $(E_C, \nabla)$  et  $(\mathcal{O}_C(\mathbb{C}^r), d_C)$ . Enfin par correspondance de Buchdahl (théorème 1), les fibrés L-triviaux correspondants sur Z sont isomorphes. C'est-à-dire

$$\mathcal{O}_Z(E_C) \simeq \mathcal{O}_Z^{\oplus r}$$

Ainsi les fibrés  $L^{(2)}$ -triviaux sont globalement triviaux sur Z.

# 8.4.3 Bilan

En conclusion, l'information holomorphe d'un fibré L-trivial sur Z est contenue dans la résolution de De Rham relative

$$0 \to \mu^{-1} \, \mathcal{O}_Z(E_Z) \to \mathcal{O}_W(E) \to \Omega^1_\mu(E) \to \Omega^2_\mu(E) \to \cdots$$

qui est découpée en 2 données complémentaires en arrivant sur  ${\cal C}$  :

- La courbure de  $E_C \to \Omega^1_C(E_C) \to \Omega^2_+(E_C)$  qui reflète le degré de trivialité de ce fibré aux voisinages d'une droite.
- La cohomologie du complexe de sections globales de  $(\nu_*\Omega^{\bullet}_{\mu}(E_C), D_E^{\bullet})$  qui reflètent la cohomologie du faisceau  $\mathcal{O}_Z(E_Z)$ .

# Bibliographie

- [AHS78] M. F. Atiyah, N. J. Hitchin, and I. M. Singer, Self-duality in four-dimensional riemannian geometry, Proceedings of the Royal Society of London A: Mathematical, Physical and Engineering Sciences 362 (1978), no. 1711, 425–461.
- [AV16] Ekaterina Amerik and Misha Verbitsky, Construction of automorphisms of hyper-kähler manifolds, arXiv:1604.03079 [math] (2016), arXiv:1604.03079.
- [AW77] M. F. Atiyah and R. S. Ward, *Instantons and algebraic geometry*, Communications in Mathematical Physics **55** (1977), 117–124.
- [Bar75] Daniel Barlet, Espace analytique réduit des cycles analytiques complexes compacts d'un espace analytique complexe de dimension finie, Fonctions de plusieurs variables complexes, II (Sém. François Norguet, 1974–1975), Springer, Berlin, 1975, pp. 1–158. Lecture Notes in Math., Vol. 482. MR 0399503 (53 #3347)
- [Bar99] \_\_\_\_\_, How to use the cycle space in complex geometry, Several complex variables (Berkeley, CA, 1995–1996), Math. Sci. Res. Inst. Publ., vol. 37, Cambridge Univ. Press, Cambridge, 1999, pp. 25–42. MR 1748599 (2001b :32020)
- [Bea83] Arnaud Beauville, Variétés Kähleriennes dont la première classe de Chern est nulle, J. Differential Geom. 18 (1983), no. 4, 755–782 (1984). MR 730926
- [Bes87] Arthur L. Besse, Einstein manifolds, Springer, 1987.
- [Buc83] N. Buchdahl, On the relative de Rham sequence, Proc. Amer. Math. Soc. 87 (1983), no. 2, 363–366. MR 681850 (85f:58003)
- [Buc85] N. P. Buchdahl, Analysis on analytic spaces and non-self-dual Yang-Mills fields, Trans. Amer. Math. Soc. 288 (1985), no. 2, 431–469. MR 776387 (86k:32030)
- [Cal79] E. Calabi, *Métriques kählériennes et fibrés holomorphes*, Annales scientifiques de l'École Normale Supérieure **12** (1979), no. 2, 269–294 (fre).
- [Cam91] F. Campana, On twistor spaces of the class c, J. Differential Geom.  $\bf 33$  (1991), no. 2, 541-549. MR 1094468
- [Cam92] \_\_\_\_\_, An application of twistor theory to the non-hyperbolicity of certain compact symplectic kähler manifolds., Journal für die reine und angewandte Mathematik **425** (1992), 1–8.
- [CP94] F. Campana and Th. Peternell, *Cycle spaces*, Several complex variables, VII, Encyclopaedia Math. Sci., vol. 74, Springer, Berlin, 1994, pp. 319–349. MR 1326625
- [Del70] Pierre Deligne, Équations différentielles à points singuliers réguliers, Lecture Notes in Mathematics, Vol. 163, Springer-Verlag, Berlin-New York, 1970. MR 0417174
- [Dem02] Jean-Pierre Demailly, Complex analytic and differential geometry, 2002.
- [Des05] Guillaume Deschamps, Espaces twistoriels et structures complexes exotiques, Ph.D. thesis, 2005.
- [DLDM13] Guillaume Deschamps, Noël Le Du, and Christophe Mourougane, Hessian of the natural hermitian form on twistor spaces, Oct 2013.
- [EGW95] Michael G. Eastwood, Simon G. Gindikin, and Hon-Wai Wong, *Holomorphic realization of*  $\bar{\partial}$ -cohomology and constructions of representations, J. Geom. Phys. **17** (1995), no. 3, 231−244. MR 1358737
- [EH79] Tohru Eguchi and Andrew J Hanson, Self-dual solutions to euclidean gravity, Annals of Physics 120 (1979), no. 1, 82–106.

- [EL86] Michael Eastwood and Claude LeBrun, *Thickening and supersymmetric extensions* of complex manifolds, Amer. J. Math. **108** (1986), no. 5, 1177–1192. MR 859775
- [EL92] \_\_\_\_\_\_, Fattening complex manifolds: curvature and Kodaira-Spencer maps, J. Geom. Phys. 8 (1992), no. 1-4, 123–146. MR 1165875 (93d :32048)
- [EPW81] Michael G. Eastwood, Roger Penrose, and R. O. Wells, Jr., Cohomology and massless fields, Comm. Math. Phys. 78 (1980/81), no. 3, 305–351. MR 603497
- [Fuj83] Akira Fujiki, On primitively symplectic compact Kähler V-manifolds of dimension four, Classification of algebraic and analytic manifolds (Katata, 1982), Progr. Math., vol. 39, Birkhäuser Boston, Boston, MA, 1983, pp. 71–250. MR 728609
- [GG13] Mark Green and Phillip Griffiths, Correspondence and cycle spaces: a result comparing their cohomologies, A celebration of algebraic geometry, Clay Math. Proc., vol. 18, Amer. Math. Soc., Providence, RI, 2013, pp. 329–360. MR 3114947
- [GGK14] Mark Green, Phillip Griffiths, and Matt Kerr, Special values of automorphic cohomology classes (memoirs of the american mathematical society), American Mathematical Society, 2014.
- [GHJ03] M. Gross, D. Huybrechts, and D. Joyce, Calabi-yau manifolds and related geometries: Lectures at a summer school in nordfjordeid, norway, june, 2001, Universitext (1979), Springer Berlin Heidelberg, 2003.
- [Har97] Robin Hartshorne, Algebraic Geometry (Graduate Texts in Mathematics), Springer, April 1997.
- [Hit81] N. J. Hitchin, *Kählerian twistor spaces*, Proc. London Math. Soc. (3) **43** (1981), no. 1, 133–150. MR 623721
- [Hit87] \_\_\_\_\_, The self-duality equations on a riemann surface, Proceedings of the London Mathematical Society s3-55 (1987), no. 1, 59–126.
- [HKLR87] N. J. Hitchin, A. Karlhede, U. Lindström, and M. Roček, Hyperkahler metrics and supersymmetry, Comm. Math. Phys. 108 (1987), no. 4, 535–589. MR 877637 (88g:53048)
- [Huy97] Daniel Huybrechts, Birational symplectic manifolds and their deformations, J. Differential Geom. 45 (1997), no. 3, 488–513.
- [Kal98] D. Kaledin, Integrability of the twistor space for a hypercomplex manifold, Selecta Math. (N.S.) 4 (1998), no. 2, 271–278. MR 1669960
- [Kod62] K. Kodaira, A theorem of completeness of characteristic systems for analytic families of compact submanifolds of complex manifolds, Ann. of Math. (2) 75 (1962), 146–162. MR 0133841
- [Laz04] R.K. Lazarsfeld, *Positivity in algebraic geometry 2*, Ergebnisse der Mathematik und ihrer Grenzgebiete: a series of modern surveys in mathematics. Folge 3, Springer Berlin Heidelberg, 2004.
- [LM16] H.B. Lawson and M.L. Michelsohn, *Spin geometry (pms-38)*, Princeton Mathematical Series, Princeton University Press, 2016.
- [Mum12] David Mumford, Abelian varieties (tata institute of fundamental research), Amer Mathematical Society, 2012.
- [Nak98] Hiraku Nakajima, Quiver varieties and kac-moody algebras, Duke Mathematical Journal **91** (1998), no. 3, 515–560.
- [O'G99] Kieran G. O'Grady, Desingularized moduli spaces of sheaves on a K 3, ResearchGate 1999 (1999), no. 512, 49–117.
- [O'G03] Kieran O'Grady, A new six-dimensional irreducible symplectic variety, Journal of Algebraic Geometry 12 (2003), no. 3, 435–505.
- [Ogu09] Keiji Oguiso, A remark on dynamical degrees of automorphisms of hyperkähler manifolds, manuscripta mathematica **130** (2009), no. 1, 101–111.
- [Pen67] R. Penrose, Twistor Algebra, Journal of Mathematical Physics 8 (1967), no. 2, 345–366.

- [Pen76] Roger Penrose, Nonlinear gravitons and curved twistor theory, General Relativity and Gravitation 7 (1976), no. 1, 31–52, The riddle of gravitation—on the occasion of the 60th birthday of Peter G. Bergmann (Proc. Conf., Syracuse Univ., Syracuse, N. Y., 1975). MR 0439004
- [Sal83] Simon Salamon, Topics in four-dimensional Riemannian geometry, Geometry seminar "Luigi Bianchi" (Pisa, 1982), Lecture Notes in Math., vol. 1022, Springer, Berlin, 1983, pp. 33–124. MR 728393 (85i:53002)
- [Sch08] Olivier Schiffmann, Variétés carquois de nakajima, Astérisque **317** (2008), no. 976, 295–344.
- [Ver13] Misha Verbitsky, Mapping class group and a global Torelli theorem for hyperkähler manifolds, Duke Math. J. 162 (2013), no. 15, 2929–2986, Appendix A by Eyal Markman. MR 3161308
- [Ver14] \_\_\_\_\_, Rational curves and special metrics on twistor spaces, Geom. Topol. 18 (2014), no. 2, 897–909. MR 3190604
- [VK99] M. Verbitsky and D. Kaledin, *Hyperkahler manifolds*, International Press mathematical physics series, International Press, 1999.
- [Voi99] C. Voisin, *Mirror symmetry*, Panoramas et synthèses, American Mathematical Society, 1999.
- [War77] R. S. Ward, On self-dual gauge fields, Physics Letters A 61 (1977), 81–82.
- [WW91] R.S. Ward and R.O. Wells, *Twistor geometry and field theory*, Cambridge Monographs on Mathematical Physics, Cambridge University Press, 1991.